

ΠΑΡΑΣΚΕΥΗΣ Κ. ΕΥΘΥΜΙΟΥ

ΕΡΕΥΝΑ ΤΗΣ ΧΑΡΑΚΤΗΡΙΣΤΙΚΗΣ ΘΕΡΜΟΚΡΑΣΙΑΣ
ΤΟΥ ΛΕΥΚΟΧΡΥΣΟΥ ΔΙ' ΑΚΤΙΝΩΝ ROENTGEN

ΔΙΑΤΡΙΒΗ ΕΠΙ ΔΙΔΑΚΤΟΡΙΑ,

ΕΓΚΡΙΘΕΙΣΑ ΥΠΟ ΤΗΣ ΦΥΣΙΚΟΜΑΘΗΜΑΤΙΚΗΣ ΣΧΟΛΗΣ
ΤΟΥ ΠΑΝΕΠΙΣΤΗΜΙΟΥ ΑΘΗΝΩΝ

ΑΘΗΝΑΙ
1952

ΕΙΣΑΓΩΓΗ

§ 1. Ἀπὸ ἑκατονταετίας καὶ πλέον, ἦτο γνωστόν, ὅτι ἡ ἀτομικὴ θερμότης C_v ὄλων τῶν στοιχείων, εἰς στερεάν κατάστασιν, εἶχε τὴν αὐτὴν περιόπου τιμὴν $6 \text{ cal} \cdot \text{Mol}^{-1} \cdot \text{grad}^{-1}$, ἔφ' ὅσον ἡ θερμοκρασία T ἦτο σχετικῶς ὑψηλὴ, (νόμος *Dulong-Petit*), ἐνῶ εἰς χαμηλὰς θερμοκρασίας ἡ τιμὴ τῆς ἡλαττοῦτο, τείνουσα πρὸς τὸ μηδέν, ἡλαττουμένης τῆς θερμοκρασίας. Ἐὰν συγκρίνωμεν τὰς καμπύλας τῆς πορείας τῆς C_v συναρτήσῃ τῆς T διὰ τὰ διάφορα στοιχεῖα, εὐρίσκομεν ὅτι αὐταὶ ὁμοιάζουν μὲν μεταξύ των, πλην ὁμως δὲν συμπίπτουν. Παρατηρήθη ἐν τούτοις ὅτι εἶναι δυνατόν νὰ ἐπέλθῃ σύμπτωσις, ἐὰν ἀντὶ τῆς θερμοκρασίας T ληφθῆ τὸ πηλίκον T/Θ_D , ἔνθα Θ_D εἶναι μία σταθερὰ, ἔχουσα ἰδιαιτέραν τιμὴν δι' ἕκαστον στοιχεῖον. Ἡ σταθερὰ αὕτη ἀπεκλήθη **χαρακτηριστικὴ θερμοκρασία**. Ἀνάλογον φαινόμενον παρουσιάζεται καὶ εἰς ἄλλας ἰδιότητας τῶν στοιχείων. Οὕτω καὶ αἱ καμπύλαι αἱ παρέχουσαι πειραματικῶς τὴν ἡλεκτρικὴν ἀντίστασιν τῶν στοιχείων, συναρτήσῃ τῆς θερμοκρασίας συμπίπτουν, ἐὰν ἡ θερμοκρασία ἀναχθῆ κατὰ τὸν ὡς ἄνω τρόπον. Ἡ ἐκ τῆς ἡλεκτρικῆς ἀντιστάσεως προερχομένη χαρακτηριστικὴ θερμοκρασία συμβολίζεται διὰ τοῦ Θ_r . Αἱ κατὰ τοὺς δύο ἄνω τρόπους προσδιοριζόμεναι χαρακτηριστικαὶ θερμοκρασίαι Θ_D καὶ Θ_r ἑκάστου στοιχείου εὐρίσκεται πειραματικῶς ὅτι εἶναι περίπου ἴσαι, ἥτοι $\Theta_D \approx \Theta_r$.

Ἐκ τῶν ἀνωτέρω, εἶναι προφανές, ὅτι ἡ ἀτομικὴ θερμότης θὰ ἔχῃ ἄμεσον σχέσιν μὲ τὴν θερμοκίνη ταλάντωσιν τῶν ἀτόμων κλπ. τῶν ἀπαρτιζόντων τὸ κρυσταλλικὸν πλέγμα, θὰ πρέπη δὲ ἡ σύμπτωσις τῶν καμπυλῶν $C_v = f(T/\Theta)$ νὰ δύναται νὰ ἔχῃ θεωρητικὴν ἐρμηνείαν, μὲ βάσιν τὴν ἰσχύουσαν εἰκόνα περὶ τῆς δομῆς τοῦ πλέγματος καὶ τῶν δυνάμεων τῶν ἀσκουμένων μεταξύ τῶν ἀτόμων.

Ἐπὶ τῶν αὐτῶν θεωρητικῶν βάσεων θὰ πρέπη νὰ ἐδράζεται καὶ ἡ ἐξήγησις τῆς μεταβολῆς τῆς ἡλεκτρικῆς ἀντιστάσεως.

Ἡ ἡλεκτρικὴ ἀγωγιμότης ὀφείλεται, ὡς γνωστόν, εἰς τὴν δυνατότητα τὴν ὁποίαν ἔχουν τὰ ἐλεύθερα ἡλεκτρόνια τῶν στερεῶν ἀγωγῶν νὰ κινῶνται ὑπὸ τὴν ἐπίδρασιν ἐξωτερικοῦ ἡλεκτρικοῦ πεδίου καὶ οὕτω νὰ δημιουργοῦν ἡλεκ-

τρικόν ρεῦμα. Ἡ ἐκάστοτε ἀντίστασις ἐξαρτᾶται ἀπὸ τὰς ἀνωμαλίας εἰς τὴν κανονικὴν διάταξιν τῶν ἀτόμων, εἶναι δὲ προφανές, ὅτι αὐταὶ θὰ ἀυξάνονται μὲ τὴν ὑψωσιν τῆς θερμοκρασίας, ἐφ' ὅσον αὐξάνεται καὶ τὸ πλάτος τῆς θερμοκτικῆς δονήσεως. Ἐκ τῶν ἀνωτέρω προκύπτει, ὅτι πᾶσα θεωρία περὶ τῆς ἠλεκτρικῆς ἀντιστάσεως θὰ εἶναι καὶ αὕτη στενωῶς συνδεδεμένη μὲ τὰς θεωρίας τῆς θερμοκτικῆς κινήσεως τοῦ πλέγματος.

Διὰ τὴν θεωρητικὴν ἐξηγησίαν τῶν πειραματικῶν αὐτῶν διαπιστώσεων καὶ κυρίως ἐκείνων, αἵτινες ἀφοροῦν τὰς εἰδικὰς θερμότητας, ἐδημιουργήθησαν πολλαὶ θεωρίαι, ὡς αἱ τῶν *Einstein*¹, *Nerst - Lindemann*², *Debye*³, *Born - Karmann*⁴ καὶ *Blackman*⁵. Ἀπασαὶ αἱ θεωρίαι αὐταὶ βασίζονται ἐπὶ τῆς ὑπάρξεως ἐλαστικῶν κυμάτων, ὀδονύτων μέσῳ τῶν κρυστάλλων καὶ δημιουργουμένων ἐκ τῶν ἀρμονικῶν δονήσεων περὶ τὴν μέσην θέσιν τῶν ἀτόμων τοῦ πλέγματος. Μεταβολὴ τῆς θερμοκρασίας τοῦ κρυστάλλου συνεπάγεται μεταβολὴν τῆς συχνότητος τῶν δονήσεων καὶ τοῦ πλάτους αὐτῶν καὶ συνεπῶς τοῦ ἐνεργειακοῦ περιεχομένου τοῦ κρυστάλλου. Τοῦτο ὅμως ἔχει ὡς ἀποτέλεσμα τὴν μεταβολὴν τῆς εἰδικῆς θερμότητος αὐτοῦ.

Ἐκάστη τῶν ἀνωτέρω θεωριῶν συμπληροῖ τὴν προηγουμένην διὰ νέων παραδοχῶν καὶ τελικῶς ἢ τοῦ *Blackman* καταλήγει εἰς τὰ περισσότερον συμφωνοῦντα πρὸς τὰ πειραματικὰ δεδομένα συμπεράσματα. Συμφώνως ὅμως πρὸς τὰς θεωρίας αὐτὰς⁶ δὲν εἶναι ἀναγκαῖον ὅπως $\Theta_r = \Theta_D$, ἢ δὲ ἰσότης αὕτη θεωρεῖται σήμερον ἐν μέρει καὶ ὡς σύμπτωσις. Αἱ θεωρίαι αὐταὶ ἀναπτύσσονται ἐκτενέστερον εἰς τὰς § 2, 3, 4 καὶ 5.

Ἐνίοτε ὅμως παρουσιάζονται ἀνωμαλίαι εἰς τὰς πειραματικὰς καμπύλας τῶν εἰδικῶν θερμοτήτων συναρτήσῃ τῆς T , διὰ τὰς ὁποίας αἱ ἀνωτέρω θεωρίαι δὲν δίδουν οὐδεμίαν ἐξηγησίαν. Αἱ ἀνωμαλίαι αὐταὶ ἀναμένονται ἀφ' ἐνός μὲν λόγῳ **ἀναρμονικότητος**⁷ τῶν δονήσεων τοῦ κρυστάλλου, ἐμφανιζομένης εἰς ὑψηλὰς θερμοκρασίας, ἀφ' ἑτέρου δέ, προκειμένου περὶ μετάλλων, λόγῳ θερμοκτικῆς διεγέρσεως τῶν **ἐλευθέρων ἠλεκτρονίων**^{8, 9, 10, 11}. Ταῦτα περιγράφονται λεπτομερέστερον εἰς τὰς § 6 καὶ 7. Ἀμφότεραι αἱ ἀνωτέρω ἀνωμαλίαι συνεπάγονται κυρίως μεταβολὰς τοῦ θερμοκτικῶν περιεχομένου καὶ ἐπομένως τῶν εἰδικῶν θερμοτήτων ἔναντι τῶν ἀπλουστερῶν θεωριῶν. Εἰς τὰ περισσότερα μέταλλα, ὡς εἶναι γνωστὸν ἐκ τῆς θεωρίας καὶ τοῦ πειράματος, ἢ δευτέρα ἐπίδρασις εἶναι ἀμελητέα, διότι ἡ **θερμοκρασία ἐκφυλισμοῦ** τοῦ **ἠλεκτρονικοῦ ἀερίου**, τὸ ὁποῖον φανταζόμεθα, ὅτι δημιουργοῦν τὰ ἐλεύθερα ἠλεκτρόνια ἐντὸς τοῦ μετάλλου, εἶναι πολὺ ὑψηλὴ. Τοῦτο σημαίνει, ὅτι μόνον εἰς πολὺ ὑψηλὰς θερμοκρασίας τὰ ἐλεύθερα ἠλεκτρόνια αὐτοῦ ἀλλάσσουν ἐνεργειακὰς καταστάσεις κατὰ τὰς μεταβολὰς τῆς θερμοκρασίας, ἥτοι συνεισφέρουν εἰς τὴν εἰδικὴν θερμότητα τοῦ μετάλλου. Εἰς τὰ **μεταβατικὰ** ὅμως μέταλλα, εἶναι γνωστὸν, ὅτι ἡ θερμοκρασία ἐκφυλισμοῦ εἶναι σχετικῶς χαμηλὴ¹² καὶ συνεπῶς ἡ ἐπίδρασις ἐπὶ τῆς εἰδικῆς θερμότητος τῶν ἐλευθέρων ἠλεκτρονίων θὰ εἶναι αἰσθητή. Ἡ ἐκ θερμοκτικῶν μετρήσεων συνεπῶς ὑπολογιζομένη τιμὴ τῆς Θ δὲν ἔχει οὐσιαστικὴν σημασίαν διὰ τὰ μέταλλα ταῦτα.

Κατά τ' άνωτέρω, ή έρευνα τών θερμοκών ταλαντώσεων τών μεταβατικών στοιχείων θά είναι ιδιαίτέρως δυσχερής, καθ' όσον πάσα μέτρησης τής ειδικής θερμότητας θά περιπλέκεται ως έκ τής παρουσίας προσθετέου, όφειλομένου εις τά έλεύθερα ήλεκτρόνια. Επιβάλλεται ούτω ή άναζήτησης έτέρας μεθόδου, μη ένεχύσης τήν ως άνω περιπλοκήν. Τοιαύτην μέθοδον άποτελεί ή παρακολούθησις τής έλαττώσεως τής ανακλαστικής ικανότητας ένός κρυστάλλου δι' άκτίνας *Röntgen*, όταν άνέρχεται ή θερμοκρασία, ως δείκνυται έν § 10. Η μείωσις αύτη έξαρτάται μόνον από τας θερμοκάς ταλαντώσεις τών άτόμων, έπιτρέπει δέ τόν προσδιορισμόν τής χαρακτηριστικής θερμοκρασίας Θ_D άνεξαρτήτως τής ύπάρξεως παντός έτέρου φαινομένου έπηρεάζοντος τήν ειδικήν θερμότητα. Η μέθοδος αύτη έχει χρησιμοποιηθῆ ήδη έπιτυχώς εις πολλούς ίοντικούς κρυστάλλους άλλα και εις στοιχεία ^{13, 14, 15}.

Έν τῇ παρούση έργασία προσδιορίζεται δια τοιούτων μετρήσεων ή χαρακτηριστική θερμοκρασία Θ_D του λευκοχρόσου. Αύτη είχε προσδιορισθῆ ¹⁶ δια μετρήσεων ειδικής θερμότητας, εύρεθείσα $\Theta_D = 225^\circ K$. Τήν αύτην περίπου τιμήν ¹⁷ είχε εύρεθῆ έχουσα και ή Θ_r . Επειδή ό λευκόχρυσος, ως **μεταβατικόν** στοιχείον, θά έμφανίξη ειδικήν θερμότητα, όφειλομένην κατά σημαντικήν ποσότητα και εις τά έλεύθερα ήλεκτρόνια του, είναι πιθανόν ή άνω τιμή τής χαρακτηριστικής θερμοκρασίας νά είναι εικονική. Εις τήν § 17 αναλύεται, ότι εάν ύπήρχε τρόπος άφαιρέσεως από τήν πειραματικώς προσδιοριζομένην ειδικήν θερμότητα ένός προσθετέου άποδιδομένου εις τά έλεύθερα ήλεκτρόνια, θά προέκυπτε διαδρομή τής ειδικής θερμότητας του πλέγματος συναρτήσει τής θερμοκρασίας T δια τήν όποιαν ή τιμή τής Θ θά ήτο πάντως μεγαλύτερα τών $225^\circ K$.

Από πειραματικής πλευράς ή μέθοδος συνίσταται εις τήν παρακολούθησιν τής έντάσεως τών γραμμών τών άκτινογραφημάτων *Debye - Scherrer* κατά τήν θέρμανσιν από τής θερμοκρασίας εργαστηρίου εις διαφόρους θερμοκρασίας μέχρι $600^\circ C$. Έκ τής έμφανιζομένης έξασθενήσεως μιās έκάστης τών γραμμών είναι δυνατή ή εύρεσις τής Θ_D . Επειδή τά ληφθέντα άκτινογραφήματα ένεφάνιζον πολλές καταλλήλους γραμμάς προσδιωρίσθησαν πολλάί άνεξάρτητοι τιμαί τής Θ_D έξ όν έλήφθη ή τελική μέση τιμή.

Η εφαρμοσθείσα μέθοδος διαφέρει τής μέχρι τούδε ακολουθουμένης, καθ' ήν δι' έκάστην προσδιοριζομένην τιμήν τής Θ έχρησιμοποιεϊτο τδ σύνολον τών γραμμών ένός άκτινογραφήματος *Debye - Scherrer*.

Η νέα μέθοδος θά έχη ιδιαίτεραν σημασίαν δι' άνιστρόπους κρυστάλλους εις τούς όποιους αί θερμοκάς ταλαντώσεις κατά διαφόρους κρυσταλλογραφικάς διευθύνσεις πιθανόν νά διαφέρουν και οι όποιοι ούτω θά ένεφάνιζον διαφοράς εις τήν τιμήν τής Θ_D αναλόγως τής θεωρουμένης γραμμής.

ΘΕΩΡΗΤΙΚΟΝ ΜΕΡΟΣ

ΚΕΦΑΛΑΙΟΝ Α΄

ΕΙΔΙΚΑΙ ΘΕΡΜΟΤΗΤΕΣ ΣΤΕΡΕΩΝ

§ 2.—Γενικά. Ὡς γνωστόν, εἰς τὰ στερεά, τὰ ἄτομα ἐκτελοῦν ταλαντώσεις περὶ τὰς μέσας θέσεις των, λόγῳ τῆς θερμοκῆς των καταστάσεως. Ἡ εἰδικὴ θερμότης τούτων εἶναι, ἕξ ὀρισμοῦ, ἡ ἀνά βαθμὸν θερμοκρασίας αὔξησης τῆς ἐνεργείας ταλαντώσεως. Εἰς τὰ μέταλλα αὕτη ὀφείλεται ἐπιπροσθέτως καὶ εἰς τὴν αὔξησιν τοῦ ἐνεργειακοῦ περιεχομένου τῶν ἐλευθέρων ἠλεκτρονίων αὐτῶν. Ἐπειδὴ ὅμως, ὡς κατωτέρω ἐκτίθεται, τοῦτο ἐπηρεάζει τὴν εἰδικὴν θερμότητα μόνον τῶν μεταβατικῶν μετάλλων, ἐνταῦθα θ' ἀσχοληθῶμεν^{8, 9, 10, 11} ἀποκλειστικῶς μὲ τὴν θερμοκῆν ταλάντωσιν τῶν ἀτόμων, ἐπιφυλασσόμενοι νὰ ἐπανέλθωμεν ἐπὶ τῆς ἐπιδράσεως τῶν ἐλευθέρων ἠλεκτρονίων εἰς τὴν § 8.

Κατὰ τὴν *κλασσικὴν θεωρίαν*, ἕκαστον στερεὸν συνιστάμενον ἀπὸ N ὅμοια ἄτομα, συνδεδεμένα μεταξὺ των δι' ἐλαστικῶν δυνάμεων, κατέχει $6N$ βαθμοὺς ἐλευθερίας. Ἐπειδὴ δὲ κατὰ τὸ θεώρημα ἰσοκατανομῆς τῆς ἐνεργείας, εἰς ἕκαστον δονούμενον ἄτομον ἀποδίδεται ὀλικὴ θερμοκῆ ἐνέργεια $3kT$ (ἐνθα k σταθερὰ *Boltzmann* καὶ T ἀπόλυτος θερμοκρασία) ἔπεται, ὅτι τὰ N ἄτομα ἔχουν ἐνέργειαν $U = 3kTN$, ὑπὸ τὴν προϋπόθεσιν, ὅτι τὰ πλάτη τῶν ταλαντώσεων εἶναι μικρὰ ἐν συγκρίσει μὲ τὰς ἀποστάσεις μεταξὺ τῶν ἀτόμων, ὥστε αἱ ἐλαστικαὶ δυνάμεις ἐπαναφορᾶς νὰ εἶναι ἀνάλογοι τῶν ἀπομακρύνσεων καὶ συνεπῶς αἱ ταλαντώσεις ἁρμονικαί.

Ἐκ τῆς ἄνω σχέσεως $U = 3kTN$ προκύπτει ἡ τιμὴ τῆς ἀτομικῆς θερμότητος τοῦ στερεοῦ ὑπὸ σταθερὸν ὄγκον $C_v = \frac{dU}{dT} = 3R$ (ἐνθα $R =$ παγκόσμιος σταθερὰ τῶν ἀερίων $= kN$) ἥτοι, εἶναι ἀνεξάρτητος τῆς θερμοκρασίας. Ἡ ἀνωτέρω σχέσις εἶναι γνωστὴ ὡς νόμος *Dulong-Petit* πειραματικῶς εὑρεθεῖσα ἤδη ἀπὸ τοῦ ἔτους 1818.

Μεταγενέστεραι πειραματικαὶ ἔρευναι ἔδειξαν, ὅτι εἰς χαμηλὰς θερμοκρασίας ὁ νόμος οὗτος δὲν ἰσχύει ἀπολύτως καὶ τὸ C_v τείνει πρὸς τὸ μηδὲν ἐλαττωμένης τῆς θερμοκρασίας. Τὸ φαινόμενον τοῦτο δὲν εἶναι δυνατὸν νὰ ἐξηγηθῇ κατὰ τὴν κλασσικὴν θεωρίαν.

Διὰ τὴν ἐρμηνείαν τῶν πειραματικῶν δεδομένων ἐφηρμόσθη ἡ *θεωρία*

των *quanta* εἰς τὴν ἔρευναν τῶν εἰδικῶν θερμοτήτων τῶν στερεῶν. Κατ' αὐτὴν οἱ δονηταὶ τῆς ἰδιοσυχνότητος ν κατέχουν ἐνεργείας, αἵτινες εἶναι ἀκέραια πολλαπλάσια τοῦ στοιχειώδους ποσοῦ $h\nu$, ἡ δὲ μέση ἐνέργεια ἐκάστου δονητοῦ τοῦ κρυστάλλου μὲ συχνότητα ν εἶναι :

$$E_{(\nu)} = \frac{1}{2} h\nu + \frac{h\nu}{e^{\frac{h\nu}{kT}} - 1}$$

Ὁ ὅρος $\frac{1}{2} h\nu$ δεικνύει τὴν ἐνέργειαν, τὴν ὁποίαν ὁ δονητὴς θὰ ἔχη εἰς τὴν θερμοκρασίαν τοῦ ἀπολύτου μηδενός. Εἶναι προφανές, ὅτι ἡ ἀνωτέρω τιμὴ τῆς ἐνεργείας $E_{(\nu)}$ τείνει πρὸς τὴν κλασσικὴν τιμὴν kT εἰς ὑψηλὰς θερμοκρασίας $E_{(\nu)} \approx kT \left[1 + \frac{1}{12} \left(\frac{h\nu}{kT} \right)^2 \right]$.

Ἡ ἐντροπία τοῦ στερεοῦ ἀνὰ δονητὴν εἶναι :

$$S_{(\nu)} = \int_0^T \frac{dE_{(\nu)}}{dT} \frac{dT}{T} = \frac{E_{(\nu)}}{T} - k \log (1 - e^{-\frac{h\nu}{kT}}). \quad (1)$$

Ἡ ἐλευθέρω ἐνέργεια ἀνὰ δονητὴν εἶναι :

$$F_{(\nu)} = E_{(\nu)} - TS_{(\nu)} \quad (2)$$

Ἀντικατάστασις τοῦ $S_{(\nu)}$ διὰ τῆς τιμῆς του ἐκ τῆς ἐξισώσεως (1) δίδει :

$$F_{(\nu)} = kT \log (1 - e^{-\frac{h\nu}{kT}}) \quad (3)$$

Διὰ $kT \gg h\nu$ προκύπτει :

$$F_{(\nu)} = kT \log \left(\frac{h\nu}{kT} \right) \quad (4)$$

Πρὸς ὑπολογισμὸν τῆς ἐσωτερικῆς ἐνεργείας καὶ ἀκολουθῶς τῆς εἰδικῆς θερμότητος κρυστάλλου, περιέχοντος N ἄτομα δρῶντα ὡς ἀρμονικοὶ δονηταί, πρέπει νὰ εἶναι γνωστὸς ὁ ἀριθμὸς τῶν ἐλαστικῶν δονήσεων τοῦ κρυστάλλου μὲ συχνότητα μεταξὺ ν καὶ $\nu + d\nu$. Ἐστω αὐτὸς ὁ ἀριθμὸς $f_{(\nu)} d\nu$. Ἐφ' ὅσον ὁ ὁλικὸς ἀριθμὸς τῶν ἐλαστικῶν δονήσεων εἶναι $3N$, ἡ συνάρτησις $f(\nu)$ ὀφείλει νὰ ἐκπληρῇ τὴν ἐξίσωσιν :

$$\int f(\nu) d\nu = 3N \quad (5)$$

τῆς ὁλοκληρώσεως ἐκτεινομένης ἐφ' ὅλων τῶν συχνοτήτων δονήσεως τοῦ κρυστάλλου. Ἡ ἐσωτερικὴ ἐνέργεια τοῦ κρυστάλλου δίδεται ἀπὸ τὴν σχέσιν :

$$U = \int f_{(\nu)} E_{(\nu)} d\nu \quad (6)$$

Ὁ ὑπολογισμὸς αὐτῆς καὶ κατὰ συνέπειαν τῆς εἰδικῆς θερμότητος, προϋποθέτει, ὡς ἀναγκαίαν τὴν γνώσιν τοῦ φάσματος συχνοτήτων τοῦ κρυστάλλου.

λου. Τὴν ἀπλουστάτην δυνατὴν παροδοχὴν περὶ τοῦ φάσματος ἔχει ὡς βάσιν ἡ *θεωρία τοῦ Einstein* (1907).¹

Κατ' αὐτὴν τὰ σωματίδια τοῦ κρυστάλλου δονοῦνται ἀνεξαρτήτως ἀλλήλων μὲ μίαν καὶ μόνην συχνότητα ν_E . Εἰς τὴν περίπτωσιν αὐτὴν ἡ ἐσωτερικὴ ἐνέργεια U εἶναι :

$$U = 3N \frac{h\nu_E}{e^{\frac{h\nu}{kT}} - 1} \quad (7)$$

καὶ ἡ εἰδικὴ θερμότης :

$$c_v = \frac{dU}{dT} = 3Nkx^2 e^x (e^x - 1)^{-2} \quad (8)$$

Ἐὰν καλέσωμεν τὴν ἔκφρασιν $\frac{h\nu_E}{k} = \Theta_E$ χαρακτηριστικὴν θερμοκρασίαν *Einstein* δυνάμεθα νὰ περιγράψωμεν ἐπὶ τὸ συντομώτερον τὴν σχέσιν (8) διὰ μιᾶς *συναρτήσεως Einstein* F_E ὡς ἑξῆς :

$$c_v = 3Nk F_E \left(\frac{\Theta_E}{T} \right) \quad (9)$$

Ἡ σχέσις *Einstein* διὰ τὴν εἰδικὴν θερμότητα συμφωνεῖ μὲ τὰ πειραματικὰ δεδομένα διὰ $T \propto \Theta_E$. Διὰ χαμηλοτέρας θερμοκρασίας δὲν παρατηρεῖται τοιαύτη συμφωνία, ἐν τούτοις ἡ θεωρία αὕτη, λόγῳ τῆς ἀπλότητός της, χρησιμοποιεῖται συνήθως διὰ τὴν ἔρευναν ἄλλων φαινομένων, ὡς τῆς θερμοκῆς διαστολῆς.

Ἡ ἀσυμφωνία αὕτη αἴρεται μερικῶς ἀπὸ τὴν ἐμπειρικὴν *θεωρίαν τῶν Nerst καὶ Lindemann* (1911)², ἥτις ὑποστηρίζει, ὅπως ἀποδοθῆ εἰς τὸ ἥμισυ τῶν δονητῶν ἡ χαρακτηριστικὴ συχνότης ν_E καὶ εἰς τὸ ἕτερον ἥμισυ μία συχνότης δύο φορὰς μικροτέρα, ἥτοι $\frac{\nu_E}{2}$, ὅποτε ἡ ἀτομικὴ θερμότης θὰ δίδεται ὑπὸ τῆς σχέσεως :

$$C_v = 3R \left[\frac{1}{2} F_E \left(\frac{\Theta_E}{T} \right) + \frac{1}{2} F_E \left(\frac{\Theta_E}{2T} \right) \right]$$

Διὰ πολλὰς περιπτώσεις ἡ σχέσις αὕτη συμφωνεῖ πρὸς τὰ πειραματικὰ δεδομένα· πλὴν ὅμως δὲν εἶναι ἱκανοποιητικὴ, διότι δὲν ἔχει οὐδεμίαν θεωρητικὴν βάσιν. Ἡ εἰς πολλὰς περιπτώσεις ἱκανοποιητικὴ ἐφαρμογὴ τῆς ἐξηγεῖται σήμερον μετὰ τὴν ἀνάπτυξιν τῆς θεωρίας τοῦ *Blackman* (πρὸς κ. α. τωτέρω). Ἡ πρώτη ἐπὶ θετικῶν βάσεων στηριζομένη θεωρία, εἶναι ἡ ἐν συνεχεῖα περιγραφομένη θεωρία τοῦ *Debye*.

§ 3.—*Θεωρία τοῦ Debye*³ (1912).— Κατάλληλοι παραδοχαὶ ὠδήγησαν τὸν *Debye* εἰς τὴν εὑρεσιν μαθηματικῆς σχέσεως προσεγγιζούσης τὰ πειραματικὰ δεδομένα πολὺ καλύτερον τῶν προηγουμένων θεωριῶν. Ἡ θεωρία

του βασίζεται ἐπὶ μιᾷ πρώτης παραδοχῆς, κατὰ τὴν ὁποίαν ὁ κρύσταλλος θεωρεῖται ὡς ἓν συνεχὲς ἐλαστικὸν μέσον, τοῦ ὁποίου αἱ ἐλαστικαὶ σταθεραὶ εἶναι ἀνεξάρτητοι τῆς συχνότητος. Αἱ δονήσεις τῶν μεμονωμένων ἀτόμων τοῦ κρυσταλλικοῦ πλέγματος ἐμφανίζονται ὡς ἐλαστικαὶ δονήσεις τοῦ ὅλου κρυστάλλου· εἶναι ὅθεν προφανές, ὅτι δημιουργοῦνται μόνον κύματα, τῶν ὁποίων τὰ μήκη εἶναι πολὺ μεγαλύτερα τῶν ἀτομικῶν διαστάσεων. Κῦμα μὲ μήκος ἴσον πρὸς τὴν ἀπόστασιν δύο ἀτόμων δὲν θὰ εἶχε νόημα, καθ' ὅσον τὰ διαδοχικὰ ἄτομα θὰ ἦσαν εἰς τὴν αὐτὴν φάσιν δονήσεως καὶ δὲν θὰ ὑπῆρχεν εἰς τὴν πραγματικότητα μία ταλάντωσις ἑνὸς ἀτόμου ἐν σχέσει πρὸς τὸ ἄλλο.

Ἐμφανίζεται ἐπομένως τὸ πρόβλημα τοῦ καθορισμοῦ τῶν ἐλαστικῶν δονήσεων ἑνὸς σώματος.

Διὰ τὴν ἀπλὴν περίπτωσιν σώματος εἰς σχῆμα κύβου πλευρᾶς A ὁ σχηματισμὸς στασίμων κυμάτων ἐντὸς αὐτοῦ ἀπαιτεῖ, ὅπως μεταξὺ 2 πλευρῶν τοῦ κύβου περιλαμβάνεται ἀκέραιος ἀριθμὸς ἡμικυμάτων. Ἦτοι δι' ἐπίπεδον κῦμα, ὁδεῦον κατὰ διεύθυνσιν καθοριζομένην ἀπὸ τὰ διευθύνοντα συνημιτόνα α , β , γ , πρέπει νὰ ἰσχύουν αἱ σχέσεις :

$$K_1 \frac{\lambda}{2} = A\alpha, \quad K_2 \frac{\lambda}{2} = A\beta, \quad K_3 \frac{\lambda}{2} = A\gamma.$$

Ἐνθα λ τὸ μήκος τοῦ κύματος καὶ K_1, K_2, K_3 ἀκέραιοι. Ἐκ τῶν ἀνωτέρω ἐξισώσεων, δεδομένου ὅτι : $\alpha^2 + \beta^2 + \gamma^2 = 1$ λαμβάνομεν $K_1^2 + K_2^2 + K_3^2 = \frac{4A^2}{\lambda^2}$ οὕτως ὥστε ἕκαστον λ καθορίζεται ἀπὸ τοὺς 3 ἀκεραίους ἀριθμοὺς K_1, K_2, K_3 . Εἰς χῶρον συντεταγμένων τῶν K_1, K_2, K_3 , θεωρουμένων ὡς μεταβλητῶν, ὁ ἀριθμὸς δονήσεων μὲ μήκος κύματος μεγαλύτερον τοῦ λ εἶναι ἀκριβῶς ὁ ἀριθμὸς τῶν σημείων τῶν κειμένων ἐντὸς σφαιράς μὲ κέντρον τὴν ἀρχὴν τῶν ἀξόνων καὶ ἀκτῖνα $\frac{2A}{\lambda}$ καὶ εἰς τὸ πρῶτον ὄγδοον αὐτῆς (ἔφ' ὅσον K_1, K_2, K_3 ἀκέραιοι θετικοί).

Ὁ ζητούμενος ἀριθμὸς σημείων, ἥτοι δονήσεων μὲ μήκος κύματος μεγαλύτερον τοῦ λ , εἶναι κατὰ προσέγγισιν ἴσος πρὸς τὴν ἀριθμητικὴν τιμὴν τοῦ ὄγκου τοῦ σφαιρικοῦ ὄγδου, ἥτοι :

$$Z = \frac{1}{8} \frac{\pi}{3} \left(\frac{2A}{\lambda} \right)^3 = \frac{4\pi}{3} \frac{V}{c^3} v^3: \quad (10)$$

Ἐνθα c δηλοῖ τὴν ταχύτητα τῶν ἐλαστικῶν κυμάτων.

Ἐκ τῆς σχέσεως (10) λαμβάνομεν, διὰ διαφορίσεως ὡς πρὸς v , τὸν ἀριθμὸν τῶν ἰδίων δονήσεων εἰς περιοχὴν συχνότητος μεταξὺ v καὶ $v+dv$:

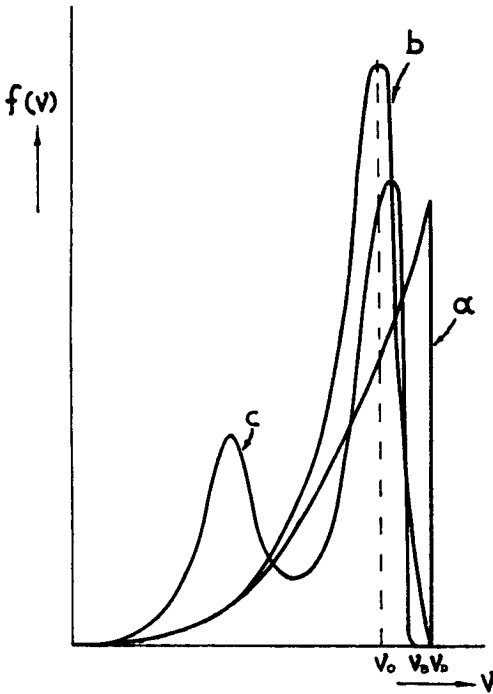
$$dZ = 4\pi V v^2 dv / c^3 \quad (11)$$

Ἐπειδὴ δὲ εἰς τὰ στερεὰ δύνανται v ἀναπτυχθοῦν 2 εἰδῶν ἐλαστικὰ κύ-

ματα, ήτοι επιμήκη και εγκάρσια, ο όλικός αριθμός dZ αυτών θα είναι :

$$dZ = 4\pi V \left(\frac{1}{c_{\varepsilon\pi}^3} + \frac{2}{c_{\varepsilon\gamma\kappa}^3} \right) v^2 dv \quad (12)$$

Ο παράγων 2 έτέθη διότι τα διαφόρων επιπέδων πολώσεως εγκάρσια κύματα δύνανται ν' αναχθούν εις δύο κύματα επί δύο καθέτων έπ' άλληλα επιπέδων πολώσεως ($c_{\varepsilon\pi}$ και $c_{\varepsilon\gamma\kappa}$ είναι αί ταχύτητες άντιστοιχώς επιμήκων και εγκαρσίων κυμάτων έντος του στερεού).



Σχ. 1. Φασματικά καμπύλαι κατά Debye (a), κατά Born-Karman (b) και Blackman (c).

Τò μέγεθος $4\pi V \left(\frac{1}{c_{\varepsilon\pi}^3} + \frac{2}{c_{\varepsilon\gamma\kappa}^3} \right) v^2$ αποτελεί άκριβώς τήν

συνάρτησιν κατανομής $f(v)$ τής συχνότητος. Η πρώτη παραδοχή του Debye ίσοδυναμεί κατά ταύτα με τήν εφαρμογήν τών εξισώσεων συνεχοῦς έλαστικοῦ μέσου εις ένα κρυσταλλον. Συμφώνως πρὸς τήν δευτέραν παραδοχήν ή καμπύλη φασματικής κατανομής διακόπτεται άποτόμως εις μίαν όρικην συχνοτητα ν_D (σχ. 1) τοιαύτην, ώστε ο όλικός αριθμός συχνοτήτων νά είναι ίσος πρὸς $3N$ ήτοι :

$$f(v) = 4\pi \left(\frac{1}{c_{\varepsilon\pi}^3} + \frac{2}{c_{\varepsilon\gamma\kappa}^3} \right) V v^2 \quad (13)$$

διὰ ($v < \nu_D$) και $f(v) = 0$ διὰ ($v > \nu_D$) ένθα ν_D καθορίζεται άπό τήν εξίσωσιν:

$$\int_0^{\nu_D} f(v) dv = \frac{4\pi}{3} V \left(\frac{1}{c_{\varepsilon\pi}^3} + \frac{2}{c_{\varepsilon\gamma\kappa}^3} \right) \nu_D^3 = 3N \quad (14)$$

Έκ τής ν_D καθορίζεται μία χαρακτηριστική θερμοκρασία Debye Θ_D συμφώνως τή σχέσει : $\Theta_D = \frac{h\nu_D}{k}$.

Η έσωτερική ένέργεια του στερεού είναι τή βοηθεία τών (13) και (14) :

$$U = 4\pi \left(\frac{1}{c_{\varepsilon\pi}^3} + \frac{2}{c_{\varepsilon\gamma\kappa}^3} \right) V \int_0^{\nu_D} v^2 E(v) dv = \\ = 4\pi \left(\frac{1}{c_{\varepsilon\pi}^3} + \frac{2}{c_{\varepsilon\gamma\kappa}^3} \right) V \int_0^{\nu_D} \frac{h\nu^3}{e^{h\nu/kT} - 1} dv = \frac{9Nh}{\nu_D^3} \int_0^{\nu_D} \frac{v^3 dv}{e^{h\nu/kT} - 1} \quad (15)$$

$$\theta \epsilon \tau \nu \tau \epsilon \varsigma \quad h\nu/kT = x \quad \epsilon \acute{\upsilon} \rho \iota \sigma \kappa \omicron \mu \epsilon \nu \quad U = 9R \left(T/\Theta_D \right)^3 T \int_0^{\Theta_D} \frac{x^3 dx}{e^x - 1} \quad (16)$$

$$\delta \tau \epsilon \quad C_v = \frac{dU}{dT} = 9R \left(\frac{T}{\Theta_D} \right)^3 \int_0^{\frac{\Theta_D}{T}} \frac{e^x \cdot x^4 dx}{(e^x - 1)^2}$$

$$\eta \acute{\epsilon} \pi \iota \tau \acute{o} \acute{\alpha} \pi \lambda \omicron \upsilon \sigma \tau \epsilon \rho \omicron \nu \quad C_v = 9R F_D \left(T/\Theta_D \right). \quad (17)$$

Ἡ γραφικὴ παράστασις τῆς συναρτήσεως *Debye* ἀποδίδεται εἰς τὸ σχ. 1.

Δι' ὑψηλᾶς θερμοκρασίας τὸ ὀλοκλήρωμα τείνει πρὸς τὴν τιμὴν $\frac{1}{3} \left(\frac{\Theta_D}{T} \right)^3$ καὶ ἐπομένως $C_v \rightarrow 3R$. Ἡ ὀρικὴ αὕτη τιμὴ λαμβάνεται πρακτικῶς ὅταν $T/\Theta_D > 1$. Ἐπανευρίσκωμεν οὕτω τὸν νόμον *Dulong Petit*.

Εἰς πολὺ χαμηλᾶς θερμοκρασίας ($T/\Theta_D \ll 1$) ἡ ἀτομικὴ ἐνέργεια :

$$U = 9R \left(\frac{T}{\Theta_D} \right)^3 T \int_0^{\Theta_D} \frac{x^3 dx}{e^x - 1} = \frac{3\pi^4}{15} RT \left(\frac{T}{\Theta_D} \right)^3$$

$$\text{καὶ } C_v = \frac{dU}{dT} = 464,5 \left(\frac{T}{\Theta_D} \right)^3 \frac{\text{cal}}{\text{at. gr. grad}} \quad (18)$$

Ἡ ἐξίσωσις αὕτη δεικνύει ὅτι ἡ εἰδικὴ θερμότης εἶναι ἀνεξάρτητος τοῦ Z (ἀτομικοῦ ἀριθμοῦ τοῦ μετάλλου) καὶ συνεπῶς ἡ αὕτη διὰ τὰ διάφορα μέταλλα, ἐὰν συγκριθοῦν εἰς θερμοκρασίας, αἰτινες ἀποτελοῦν τὸ αὐτὸ κλάσμα τῆς χαρακτηριστικῆς των. Τοῦτο εὐρέθῃ ἰσχύον διὰ τούς κυβικούς κρυστάλλους. Δι' ἄλλους εἶναι ἀναγκαῖον νὰ εἰσαχθοῦν περισσότεραι τῆς μιᾶς χαρακτηριστικαὶ θερμοκρασίαι, διότι αἱ ἐλαστικαὶ ιδιότητες ποικίλλουν κατὰ διαφόρους διευθύνσεις.

Ἡ ἀνωτέρω σχέσις (18) χαρακτηρίζεται καὶ ἐκ τοῦ ὅτι εἶναι ἀνεξάρτητος τῆς συναρτήσεως κατανομῆς, τῆς χρησιμοποιηθείσης ἀπὸ τὸν *Debye* καὶ ἐπομένως τῆς ταχύτητος τῶν κυμάτων, διότι εἰς χαμηλᾶς θερμοκρασίας μόνον ἠχητικὰ κύματα μεγάλου μήκους διεγείρονται καὶ δι' αὐτὰ ἡ ἀτομικὴ κατασκευὴ τοῦ ὕλικου δὲν παῖζει ρόλον.

§ 4.—*Θεωρία Born - Karmann*⁴. Ἡ θεωρία *Debye* ἐπαληθεύεται ἀπὸ τὰ πειραματικὰ δεδομένα ἱκανοποιητικῶς μόνον εἰς περιοχὴν χαμηλῶν θερμοκρασιῶν. Διὰ μέσας καὶ ὑψηλᾶς θερμοκρασίας διεγείρονται ὀλονὲν καὶ ὑψηλότεραι συχνότητες καὶ ἡ ἐπίδρασις τοῦ κρυσταλλικοῦ πλέγματος καθίσταται περισσότερον αἰσθητῆ. Κατέστη συνεπῶς ἀναγκαῖα ἡ ἀναζήτησις, διὰ τὴν πικνότητα τῶν δονήσεων $f(\nu)$, ἐνὸς νόμου πλέον ἀκριβοῦς ἢ τοῦ παραβολικοῦ κατὰ *Debye* ὅστις ἐβασίζετο ἐπὶ ἀπλοποιημένων ὑποθέσεων. Οἱ *Born* καὶ *Karmann* (1912) ἐξήτησαν νὰ ἐρευνήσουν τὸ ἐλαστικὸν αὐτὸ φάσμα συχνοτήτων ἐνὸς κρυστάλλου θεωρήσαντες αὐτόν, οὐχὶ ὡς συνεχῆς ἐλαστικὸν μέσον, ἀλλ' ὡς σύμπλεγμα σωματίων.

Διὰ τὴν ἀπλῆν περίπτωσιν σειρᾶς ὁμοίων ἀτόμων, ἀπεχόντων κατὰ a καὶ τοποθετημένων ἐπὶ ἄξονος εὐρίσκουν, ὅτι ἡ ταχύτης τοῦ κύματος κατ' ἀντίθεσιν πρὸς τὴν παραδοχὴν *Debye* ἐξαρτᾶται ἐκ τῆς συχνότητος ἴση πρὸς

C_{∞} διὰ τὰς μικρὰς συχνότητας, ἔλαττωται κατ' ἀρχὰς βραδέως, κατόπιν ταχύτερον, ἔφ' ὅσον ἡ συχνότης αὐξάνει, ἵνα φθάσῃ τὴν τιμὴν $c_m = 2c_{\infty} / \pi$ ἀντιστοιχοῦσαν εἰς τὴν μεγίστην συχνότητα, τὴν ὁποίαν δύναται νὰ δημιουργήσῃ τὸ πλέγμα.

Ἐλαττωμένης ὁμως τῆς ταχύτητος c αὐξάνεται ἡ συνάρτησις κατατομῆς $f(\nu)$ συμφώνως τῇ σχέσει (12), τὸ δὲ νέον φάσμα συχνότητων παριστᾶται ὑπὸ τῆς καμπύλης β (σχ. 1). Παρατηροῦμεν ὅτι αἱ δύο φασματικαὶ καμπύλαι α καὶ β συμπίπτουν εἰς χαμηλὰς θερμοκρασίας (ἀκολουθεῖται ὁ νόμος ωT^3) διότι τότε αἱ ταλαντώσεις ὑψηλῆς συχνότητος δὲν ἔχουν εἰσέτι πρακτικῶς διεγερωθῆ. Αἱ δονήσεις χαμηλῆς συχνότητος, συνεπῶς δύναται νὰ περιγραφῶν διὰ τῆς παραβολικῆς συναρτήσεως τοῦ *Debye*.

Τὸ μέγιστον τῆς συναρτήσεως κατανομῆς ἀντιστοιχεῖ εἰς μίαν συχνότητα ν_0 . Ὁ λόγος αὐτῆς πρὸς τὴν ὀρικὴν κατὰ *Debye* συχνότητα ν_D ἔστω γ . Ἡ συχνότης ν_0 καθορίζει μίαν χαρακτηριστικὴν θερμοκρασίαν *Born-Karmann* $\Theta_0 = h\nu_0 / k$ παρεχομένην ὑπὸ τῆς σχέσεως $\Theta_0 = \gamma \Theta_D$ ἔνθα Θ_D χαρακτηριστικὴ θερμοκρασία *Debye* ἀντιστοιχοῦσα εἰς τὴν συχνότητα ν_D . Ἐξ ὑπολογισμοῦ, πραγματοποιηθέντος διὰ μίαν σειρὰν ἀτόμων, ἡ τιμὴ τοῦ γ θὰ ἔπρεπε νὰ εἶναι περίπου 0,6, γενικῶς ὁμως τὸ πείραμα ὀδηγεῖ εἰς τὸ νὰ ἐκλέξωμεν μεγαλυτέρας τιμὰς τοῦ γ .

Πρὸς εὐρεσιν τῆς ἀτομικῆς θερμότητος ἀποδίδουν $3N/2$ βαθμοὺς ἐλευθερίας εἰς δονήσεις γενομένας μὲ τὴν συχνότητα ν_0 καὶ $3N/2$ βαθμοὺς ἐλευθερίας (ἀντὶ τῶν $3N$) εἰς δονήσεις ἀκολουθούσας τὴν καμπύλην κατανομῆς συχνότητων κατὰ *Debye* (σχ. 1, α).

Αἱ πρῶται δονήσεις $3N/2$ κατ' ἀριθμὸν δημιουργοῦν προσθετόν τῆς εἰδικῆς θερμότητος ὅστις θὰ ἀκολουθῆ συναρτήσῃ τῆς θερμοκρασίας T μίαν συνάρτησιν *Einstein*. Αἱ δευτέραι δονήσεις, ἐπίσης $3N/2$ κατ' ἀριθμὸν, δημιουργοῦν προσθετόν τῆς εἰδικῆς θερμότητος, ὅστις θ' ἀκολουθῆ συναρτήσῃ τῆς θερμοκρασίας T μίαν συνάρτησιν *Debye*, τῆς ὁποίας ἡ χαρακτηριστικὴ θερμοκρασία θὰ ἴσούται μὲ $\frac{\Theta_D}{\sqrt{2}} = 0,8\Theta_D$ συμφώνως τῇ σχέσει (13). Ἡ ἀτομικὴ θερμότης συνεπῶς δίδεται ὑπὸ τῆς σχέσεως :

$$C_{\nu} = 3R \left[\frac{1}{2} F_E \left(\frac{\gamma \Theta_D}{T} \right) + \frac{1}{2} F_D \left(\frac{0,8\Theta_D}{T} \right) \right] \quad (19)$$

Ἄν καὶ ἡ θεωρία *Born-Karmann* εἶναι γενικωτέρα τῆς τοῦ *Debye* ἡ νέα ἔκφρασις τῆς ἀτομικῆς θερμότητος δὲν δίδει σημαντικῶς καλλίτερα ἀποτελέσματα τῆς τοῦ *Debye*.

§ 5. — Ἔργασίαι *Blackman* (1937)⁵. Ὁ *Blackman* κατῶρθωσε νὰ προσδιορίσῃ τὴν συνάρτησιν κατανομῆς τῶν συχνότητων διὰ πραγματικούς κρυστάλλους ἀπλοῦ κυβικοῦ πλέγματος, περιέχοντος ἓν εἶδος ἀτόμων μόνον. Βασικὴ προϋπόθεσις τῆς θεωρίας του εἶναι ὅτι αἱ δυνάμεις, αἱ ἑξασκούμεναι μεταξὺ τῶν ἀτόμων, δὲν ἐξαρτῶνται εἰ μὴ μόνον ἐκ τῆς ἀποστά-

σεως και είναι ἀμελητέα διὰ τὰ μὴ γειτονικά σωματία τοῦ πλέγματος. Ἡ συνάρτησις κατανομῆς τῶν συχνότητων διαφέρει αἰσθητῶς ἀπὸ αὐτὴν τῶν *Born-Karmann* καὶ *Debye* εἰς τὰ ἐξῆς σημεῖα (σχ. 1).

α') Ἡ μεγίστη κατὰ *Debye* συχνότης εἶναι γενικῶς μεγαλυτέρα τῆς ἀληθοῦς μεγίστης συχνότητος ν_B τοῦ πλέγματος.

β') Παρουσιάζει δύο μέγιστα, ἐξ ὧν τὸ ἓν κείται εἰς τὴν γειτονίαν τῆς δρι- κῆς συχνότητος κατὰ *Debye*, τὸ δ' ἕτερον εἰς χαμηλοτέραν συχνότητα. Αἱ τιμαὶ τῶν συχνότητων, εἰς τὰς ὁποίας παρατηροῦνται τὰ δύο μέγιστα δίδονται ὑπὸ τῶν σχέσεων:

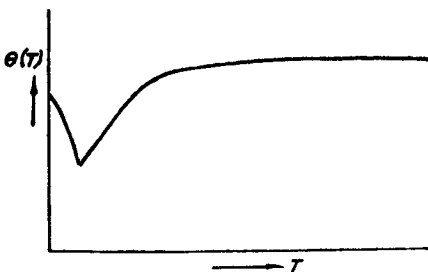
$$\nu_B = \frac{1}{2\pi} \left(\frac{4a}{M} \right)^{\frac{1}{2}} \quad \text{καὶ} \quad \nu_i = \frac{1}{2\pi} \left(\frac{8\gamma}{M} \right)^{\frac{1}{2}}$$

ἐνθα M ἡ μᾶζα τοῦ ἀτόμου τοῦ οικοδομοῦντος τὸ πλέγμα καὶ a, γ σταθεραὶ καθοριζόμεναι ἀπὸ τὰς ἐλαστικὰς σταθερὰς τοῦ κρυστάλλου.

γ') Ἡ συνάρτησις κατανομῆς κατὰ *Blackman* ἀξιάνει πολὺ ταχύτερον μετὰ τῆς συχνότητος ν ἀπὸ αὐτὴν ποὺ παρεδέχθη ὁ *Debye*. Ἡ νέα αὐτῆ φασματικὴ κατανομὴ κατὰ *Blackman* προκαλεῖ τὰς ἐξῆς μεταβολὰς τῆς εἰδικῆς θερμότητος συναρτήσῃ τῆς θερμοκρασίας. Εἰς πολὺ ταπεινὰς θερμοκρασίας, ἐνθα αἱ διηγερμένοι συχνότητες ἀνήκουν εἰς τὸ παραβολικὸν τμήμα τὸ πλησιέστερον τῆς ἀρχῆς, ἀκολουθεῖται ὁ νόμος T^3 · εἶναι ἡ περιοχὴ, εἰς τὴν ὁποίαν ὁ κρυστάλλος συμπεριφέρεται ὡς ἐν συνεχὲς μέσον. Ὄταν ἡ θερμοκρασία ἀνέρχεται, ἡ ὑπαρξίς τοῦ πρώτου μεγίστου δεικνύει αὔξησιν τοῦ ἀριθμοῦ τῶν διηγερμένων δονήσεων ταχύτεραν ἀπὸ ἐκείνην τοῦ νόμου *Debye*. Ἡ εἰδικὴ θερμότης συνεπῶς ἀξιάνει ταχύτερον κατὰ *Blackman* ἢ κατὰ *Debye*. Εἰς ὀλίγον ὑψηλοτέρας θερμοκρασίας συμβαίνει τὸ ἀντίθετον ἕνεκα τῆς κοιλότητος, τὴν ὁποίαν παρουσιάζει ἡ καμπύλη μεταξὺ τῶν δύο μεγίστων.

Καταφανέστερον καταδείκνυνται αἱ διαφοραὶ μεταξὺ τῶν τιμῶν εἰδικῶν θερμοτήτων, αἱ ὁποῖαι προκύπτουν ἀπὸ τὰς συναρτήσεις κατανομῆς κατὰ *Debye* καὶ *Blackman*, ἐὰν χαραχθῇ ἡ καμπύλη $\Theta_D = f(T)$ ἐνθα Θ_D χαρακτηριστικὴ θερμοκρασία *Debye*. Αἱ τιμαὶ τῆς Θ_D διὰ διαφο- ρους τιμὰς τῆς θερμοκρασίας T προ- κύπτουν ἐὰν ἐξιπώσωμεν τὰς ἐκ τῆς θεωρίας *Blackman* προκλυπούσας τι- μὰς τῆς C_v πρὸς ἐκεῖνας, αἵτινες προκύ- πτουν ἐκ τῆς θεωρίας *Debye* ἐκλέγον- τες ἐκάστοτε κατάλληλον τιμὴν τῆς Θ_D .

Τὸ χαρακτηριστικότερον τῆς καμ- πύλης αὐτῆς εἶναι ἡ ὑπαρξίς ἐνὸς ἐλαχί- στου εἰς χαμηλὰς σχετικῶς θερμοκρα- σίας. Εἰς τὴν γειτονίαν αὐτοῦ ἡ τιμὴ τῆς Θ_D παραμένει αἰσθητῶς σταθερὰ καὶ ἐπαληθεύεται οὕτω ὁ νόμος T^3 εἰς περιοχὴν τινα θερμοκρασίας καίτοι ὁ κρύ- σταλλος δὲν συμπεριφέρεται ὡς συνεχὲς ἐλαστικὸν μέσον εἰς τὴν περιοχὴν



Σχ. 2. Κύμανσις τῆς χαρακτηριστικῆς θερμοκρασίας κατὰ *Blackman*.

ταύτην. Ὁ *Blackman* ἐκάλεσε τὴν περιοχὴν αὐτὴν «ψευδῆ περιοχὴν T^3 » καὶ ὑποθέτει, ὅτι κατὰ τὰς χαμηλωτέρας πραγματοποιηθείσας θερμοκρασίας ἔφθασαν τὴν «ψευδῆ περιοχὴν», οὐδέποτε ὅμως τὴν πραγματικὴν περιοχὴν τῶν T^3 , ἔνθα ὁ κρυστάλλος συμπεριφέρεται ὡς συνεχῆς ἔλαστικὸν μέσον. Κατ' αὐτὸν ἢ ἔξομοίωσιν τοῦ κρυστάλλου πρὸς ἓν συνεχῆς μέσον, δὲν δύναται νὰ γίνῃ παρὰ διὰ τὰς τιμὰς τοῦ T/Θ κατωτέρας τοῦ $1/50$ καὶ οὐχὶ ἀπὸ T/Θ_D ἴσας πρὸς $1/10$ ὡς ἐδέχθη ὁ *Debye*.

§ 6.—Ἐπίδρασις τῆς ἀναρμονικότητος τῶν δονήσεων. Αἱ ἀνωτέρω ἀναφερθεῖσαι θεωρίαι ἐπὶ τῶν εἰδικῶν θερμοτήτων βασιζονται ἐπὶ τῆς παραδοχῆς, ὅτι αἱ ἐνδοατομικαὶ δυνάμεις ὑπακούουν εἰς τὸν νόμον τοῦ *Hooke*. Τινὲς ὅμως τῶν ἀποκλίσεων τῶν τιμῶν εἰδικῶν θερμοτήτων ἀπὸ τὸν νόμον *Dulong-Petit* παρουσιαζόμεναι εἰς ὑψηλὰς θερμοκρασίας, ὡς ἐπίσης καὶ αἱ ἀνώμαλοι αἰχμαί, αἵτινες παρουσιάζουν αἱ καμπύλαι $C_v = f(T)$ μοριακῶν κρυστάλλων, δεικνύουν, ὅτι δὲν ἀκολουθεῖται πλήρως ὁ νόμος τοῦ *Hooke*, ἀλλὰ προστίθενται ἀναρμονικοὶ ὄροι εἰς τὴν ἔξισωσιν τῆς ταλαντώσεως. Οἱ *Born-Brody*⁷ θεωροῦν ἓν σύστημα δονητῶν μὲ δυναμικὴν ἐνέργειαν τῆς μορφῆς :

$$U(x) = \frac{1}{2} m^2 \omega^2 x^2 + gx^3 + fx^4$$

ἔνθα m = μάζα τοῦ δονητοῦ, ω = κυκλικὴ συχνότης καὶ g καὶ f σταθεραί, καὶ εὐρίσκουν διὰ τὴν εἰδικὴν θερμοότητα :

$$C_v = 3R(1 + CT) \quad \text{ἔνθα } C = k \left(\frac{15g^2}{m^3 \omega^6} - \frac{6f}{m^2 \omega^4} \right)$$

ὅπου k σταθερὰ *Boltzmann*.

Ἡ σταθερὰ C δυνατὸν νὰ εἶναι θετικὴ ἢ ἀρνητικὴ καὶ ἔχει γενικῶς τιμὴν κατωτέραν τοῦ $0,0001 \text{ grad}^{-1}$.

Παρατηροῦμεν ἐκ τῆς ἀνωτέρω ἔξισώσεως, ὅτι ἡ μεταβολὴ τῆς εἰδικῆς θερμοότητος ὑπὸ σταθερόν ὄγκον λόγῳ ἀναρμονικότητος τῶν δονήσεων εἶναι ἀμελητέα εἰς συνήθεις θερμοκρασίας καθισταμένη ἐμφανῆς εἰς ὑψηλὰς.

§ 7.—Εἰδικὴ θερμοότης τῶν ἐλευθέρων ἠλεκτρονίων^{8, 9, 10, 11}.

Ἔτεροι τινὲς ἀνωμαλίαι παρουσιαζόμεναι εἰς τὰς καμπύλας $C_v = f(T)$ **μετάλλων** καὶ μὴ ἐξηγούμεναι διὰ τῆς ἀναρμονικότητος τῶν ταλαντώσεων εἶναι αἱ ἑξῆς :

α) Εἰς χαμηλὰς θερμοκρασίας πλησίον τοῦ ἀπολύτου μηδενὸς ἢ εἰδικὴ θερμοότης μετάλλων παρουσιάζει πλὴν τοῦ προσθετέου κατὰ *Debye*, ὅστις εἶναι ἀνάλογος πρὸς T^3 καὶ τινα προσθετέον εὐθυγράμμως μεταβαλλόμενον μετὰ τῆς θερμοκρασίας.

β) Εἰς τὰς καμπύλας $C_v = f(T)$ τῶν σιδηρομαγνητικῶν μετάλλων καὶ παραμαγνητικῶν ἀλάτων παρουσιάζονται ἀνώμαλοι αἰχμαί καὶ :

γ) Ἀποκλίσεις τινές τῆς τιμῆς C_v ἀπὸ τοὺς νόμους *Dulong-Petit* εἰς ὑψηλὰ θερμοκρασίας καὶ εἰδικῶς αὐταὶ τῶν μεταβατικῶν μετάλλων. Αἱ ἀνωμαλῖαι αὐταὶ ἐξηγοῦνται διὰ τῆς παραδοχῆς τῆς θερμοκῆς διεγέρσεως τῶν ἐλευθέρων ἠλεκτρονίων.

Ὡς γνωστὸν εἰδικαὶ τινές ἰδιότητες τῶν μετάλλων καὶ συγκεκριμένως ἡ ὑψηλὴ των ἠλεκτρικὴ καὶ θερμοκῆ ἀγωγιμότης ὁδηγοῦν εἰς τὴν παραδοχὴν, ὅτι ταῦτα περιέχουν ἠλεκτρόνια δυνάμενα *ἐλευθέρως* κατὰ τὸ μᾶλλον καὶ ἤτιον νὰ κινοῦνται ἐντὸς αὐτῶν. Τὰ ἠλεκτρόνια ταῦτα μετατοπίζονται διὰ μέσου τοῦ πλέγματος τῶν μεταλλικῶν ἰόντων ἀκριβῶς ὅπως τὰ μόρια ἀερίου εἰσαγόμενα εἰς κενὸν χώρον, ἥτοι σχηματίζουν τὸ καλούμενον *ἠλεκτρονικὸν ἀέριον*.

Ὅπως δὲ ἐν οἰονδήποτε ἀέριον οὕτω καὶ τὸ ἠλεκτρονικὸν δύναται νὰ περιγραφῆ ἀπὸ ἀπόψεως ὁρμῆς τῶν ἀπαρτιζόντων αὐτὸ σωματίων, διὰ πλήθους σημείων κειμένων εἰς τὸ καλούμενον διάγραμμα ὁρμῶν, τοῦ ὁποίου αἱ 3 συντεταγμέναι εἶναι αἱ συνιστώσαι τῆς ὁρμῆς (p_x, p_y, p_z). Κατὰ τὴν *κλασσικὴν* στατιστικὴν *θεωρίαν* εἰς τὴν θερμοκρασίαν τοῦ ἀπολύτου μηδενὸς παύει πᾶσα κίνησις καὶ ὅλα τὰ ἠλεκτρόνια ἔχουν ὁρμὴν p ἴση πρὸς μηδέν. Τὸ σύνολον τῶν σημείων τοῦ διαγράμματος τῆς ὁρμῆς συγκεντροῦται μὲ ἄπειρον πυκνότητα εἰς τὴν ἀρχὴν τῶν ἀξόνων. Κατὰ τὴν κλασσικὴν στατιστικὴν ὅμως ἕκαστον ἐλεύθερον ἠλεκτρόνιον ἐντὸς τοῦ μετάλλου θὰ κατέχη εἰς τὴν θερμοκρασίαν T μέσην κινητικὴν ἐνέργειαν $3kT/2$. Ἐὰν ἕκαστον ἄτομον τοῦ κρυσταλλικοῦ πλέγματος μεταπίπτει εἰς ἰὸν ἀποβάλλη f ἠλεκτρόνια, ὁ ἀριθμὸς τῶν ἐλευθέρων ἠλεκτρονίων εἰς τὸ γραμμοάτομον θὰ εἶναι Nf ($N =$ ἀριθμὸς *Loschmidt*).

Ἡ ἐνέργεια συνεπῶς ἐνὸς γραμμοατόμου ἢ ὀφειλομένη εἰς τὰ ἐλεύθερα ἠλεκτρόνια θὰ εἶναι $\frac{3NfkT}{2} = \frac{3fRT}{2}$ εἰσάγουσα νέον προσθετέον c_e ἴσον πρὸς $3fR/2$ εἰς τὴν ἀτομικὴν θερμοτῆτα τοῦ μετάλλου. Πλὴν ὅμως ὁ προσθετέος οὗτος ὁ προβλεπόμενος ὑπὸ τῆς κλασσικῆς θεωρίας, ὅστις εἶναι σημαντικὸς ἐν συγκρίσει πρὸς τὴν εἰδικὴν θερμοτῆτα, τὴν ὀφειλομένην εἰς τὴν θερμοκῆ ταλάντωσιν τοῦ πλέγματος, οὐδόλως ἀνευρίσκεται πειραματικῶς, τῶν μετάλλων παρουσιαζόντων περίπου τὴν αὐτὴν εἰδικὴν θερμοτῆτα ὅπως καὶ οἱ μονωταί.

Ἡ ἐφαρμογὴ τῆς κλασσικῆς στατιστικῆς εἰς τὰ ἐλεύθερα ἠλεκτρόνια, οὐχὶ μόνον καταλήγει εἰς συμπεράσματα μὴ συμφωνοῦντα μὲ τὰ πειραματικὰ δεδομένα, ἀλλ' ἀντιβαίνει καὶ εἰς τὴν ἀρχὴν τῆς ἀβεβαιότητος, καθ' ἣν τὸ γινόμενον τῆς ἀβεβαιότητος τῆς ὁρμῆς Δp , ἐπὶ τὴν ἀβεβαιότητα τῆς θέσεως Δx εἶναι ἴσον πρὸς h . Διότι εἰς στερεὸν γνωστοῦ ὄγκου θὰ εἶναι καθωρισμένη ἡ μὲν ὁρμὴ του ἀπολύτως $p = 0$ ἢ δὲ θέσις τοῦ ἠλεκτρονίου ἐντὸς τῶν διαστάσεων τοῦ στερεοῦ καὶ τὸ γινόμενον αὐτῶν ἴσον πρὸς μηδέν, ἥτοι μικρότερον τοῦ h . Αἱ ἀντιφάσεις αὐταὶ αἴρονται, ἐὰν δεχθῶμεν ἐφαρμοζομένην ἐπὶ τῶν ἠλεκτρονίων τὴν *στατιστικὴν Fermi-Dirac*.

Κατ' αὐτὴν εἰς τὴν θερμοκρασίαν τοῦ ἀπολύτου μηδενός αἱ τιμαὶ ὁρμῶν τῶν ἐλευθέρων ἠλεκτρονίων κατανέμονται ὁμοιομόρφως ἀπὸ τοῦ μηδενός μέχρι μιᾶς μεγίστης $\rho_{\mu\epsilon\gamma}$. Ἡ κατάσταση αὕτη παριστᾶται εἰς τὸ διάγραμμα τῶν ὁρμῶν διὰ συνόλου κυψελίδων κειμένων ἐντὸς σφαίρας μὲ κέντρον τὴν ἀρχὴν τῶν ἀξόνων καὶ ἀκτῖνα ἴσην πρὸς $\rho_{\mu\epsilon\gamma}$. Ἐκάστη κυψελὶς ἔχει ὄγκον h^3/V , ἐφ' ὅσον τὸ ἠλεκτρόνιον θεωρεῖται περιοριζόμενον ἐντὸς τοῦ ὄγκου V τοῦ μετάλλου καὶ κατὰ τὴν ἀρχὴν *Heisenberg* τὸ γινόμενον τῆς ἀβεβαιότητος τῆς ὁρμῆς h^3/V ἐπὶ τὴν ἀβεβαιότητα τῆς θέσεως V ἐντὸς τοῦ μετάλλου εἶναι ἴσον πρὸς h^3 . Ἡ ἐπιφάνεια τῆς σφαίρας, ἣτις καλεῖται ἐπιφάνεια *Fermi* παρέχει τὴν μεγίστην τιμὴν ἐνεργείας τὴν ὁποίαν δύναται νὰ ἔχη ἐλεύθερον ἠλεκτρόνιον εἰς τὴν θερμοκρασίαν τοῦ ἀπολύτου μηδενός.

Προσδιορίζεται δὲ αὕτη ὑπὸ τῆς σχέσεως :

$$2 \int_0^{E_{\mu\epsilon\gamma}} N(E) dE = N \quad (20)$$

ἐνθα διὰ $N(E)dE$ δεικνύεται ὁ ἀριθμὸς τῶν κυψελίδων ἀνὰ μονάδα ὄγκου τοῦ μετάλλου, ἔχουσῶν ἐνεργείας μεταξὺ τῶν τιμῶν E καὶ $E+dE$ καὶ N ὁ ὅλικός ἀριθμὸς τῶν ἠλεκτρονίων ἀνὰ μονάδα ὄγκου. Ὁ παράγων 2 ἐτέθη διότι κατὰ τὴν ἀρχὴν τοῦ *Pauli* εἰς ἐκάστην ἐνεργειακὴν κατάστασιν ὑπάρχουν 2 ἠλεκτρόνια. Ἡ ὅλικη ἐνέργεια τῶν ἠλεκτρονίων εἰς μίαν θερμοκρασίαν T εὐρίσκεται ὑπὸ τῆς σχέσεως :

$$E_{\sigma\lambda} = 2 \int_0^{\infty} N(E) f(E) E dE \quad (21)$$

ἐνθα $f(E) = \frac{1}{E \left(\frac{E-J}{kT} \right) + 1}$ (καὶ $J = \text{σταθερὰ}$) εἶναι ἡ συνάρτησις κατανο-

μῆς κατὰ *Fermi-Dirac* δίδουσα τὴν πιθανότητα ὅπως μία κατάσταση ἐνεργείας E εἶναι κατειλημμένη.

Ὁ ὑπολογισμὸς τοῦ ὁλοκληρώματος αὐτοῦ δίδει :

$$E_{\sigma\lambda} = 2 \int_0^{E_{\mu\epsilon\gamma}} N(E) E dE + \frac{1}{3} \pi^2 N(E_{\mu\epsilon\gamma}) k^2 T^2 \quad (22)$$

Πρὸς εὐρεσιν τῆς εἰδικῆς θερμοτότητος ὑπὸ σταθερὸν ὄγκον παραγωγίζομεν τὴν σχέσιν (22) ὡς πρὸς τὴν θερμοκρασίαν T καὶ διαιροῦμεν διὰ τῆς πυκνότητος ρ :

$$c_v = \frac{2\pi^2 k^2 T N(E_{\mu\epsilon\gamma})}{3\rho} \quad (23)$$

ἐνθα $N(E_{\mu\epsilon\gamma}) / \rho$ εἶναι ὁ ἀριθμὸς καταστάσεων ἀνὰ μονάδα ἐνεργειακῆς περιοχῆς εἰς τὴν ἐπιφάνειαν *Fermi* καὶ ἀνὰ μονάδα μάζης τοῦ μετάλλου.

Παρατηροῦμεν, ὅτι ἡ εἰδικὴ θερμοτότης τῶν ἐλευθέρων ἠλεκτρονίων εἶναι ἀνάλογος τῆς ἀπολύτου θερμοκρασίας. Ἀνάλογοι συλλογισμοὶ ἀκολουθοῦνται διὰ τὴν περίπτωσιν *ζώνης* ἐνεργειακῶν καταστάσεων σχεδὸν κενῆς. Αὕτη

δημιουργείται ὡς ἑξῆς: Τὰ ἄτομα ἑνὸς μετάλλου εὐρισκομένου εἰς ἀέριον κατάστασηιν πολὺ μικρᾶς πυκνότητος χαρακτηρίζονται ὡς **ἐλευθέρα** καὶ ἔχουν διακεκριμέναν ἐνεργειακὴν στάθμην. Ἐὰν φαντασθῶμεν ὅτι τοιαῦτα **ἐλευθέρα** ἄτομα μετάλλου συμπίεζονται διαρκῶς πρὸς σχηματισμὸν ἑνὸς πυκνοτέρου ἀερίου, ὑγροῦ ἢ στερεοῦ, ἑκάστη διακεκριμένη στάθμη ἐνεργείας τοῦ ἐλευθέρου ἀτόμου διαπλατύνεται εἰς μίαν ζώνην ἢ περιοχὴν ἐνεργειακῶν καταστάσεων. Ἡ διαπλάτυνσις αὕτη ἐνῶ διὰ τὰς κατωτέρας στάθμης ἐνεργείας (ἐσώτερα ἠλεκτρόνια) εἶναι ἀμελητέα, παρουσιάζεται εὐρεῖα διὰ τὰς ἀνωτέρας στάθμης (ἑξώτερα ἠλεκτρόνια σθένους), λόγῳ ἐπιδράσεως τῶν ἐξωτέρων ἠλεκτρονίων γεινιαζόντων ἀτόμων. Διὰ τὴν περίπτωσιν ἐλευθέρων ἠλεκτρονίων ἢ ζώνης ἐνεργειακῶν καταστάσεων σχεδὸν κενῆς ἰσχύει ὅτι:

$$N(E) = K \sqrt{E} \quad (24)$$

ἔνθα K σταθερά. Τὴν τιμὴν αὐτῆς προσδιορίζομεν δι' ὀλοκληρώσεως τῆς (24):

$$\int_0^{E_{\mu\epsilon\gamma}} N(E) dE = K \int_0^{E_{\mu\epsilon\gamma}} \sqrt{E} dE = \frac{2}{3} K E_{\mu\epsilon\gamma}^{\frac{3}{2}} \quad (25)$$

ὅτε ὁ ἀριθμὸς τῶν ἠλεκτρονίων μὲ ἐνεργείας ἀπὸ 0 ἕως $E_{\mu\epsilon\gamma}$ εὐρίσκεται:

$$N = \frac{4}{3} K E_{\mu\epsilon\gamma}^{\frac{3}{2}} \quad (26)$$

καθ' ὅσον εἰς ἑκάστην ἐνεργειακὴν κατάστασηιν εὐρίσκονται δύο ἠλεκτρόνια. Δι' ἀντικατάστασιν εἰς τὴν (24) τῆς τιμῆς τῆς K εὐρισκομένης ἐκ τῆς (26) εὐρίσκομεν:

$$N(E_{\mu\epsilon\gamma}) = \frac{3}{4} N/E_{\mu\epsilon\gamma} \quad (27)$$

Θέτοντες $kT_0 = E_{\mu\epsilon\gamma}$ προσδιορίζομεν τὴν θερμοκρασίαν $T_0 = \frac{E_{\mu\epsilon\gamma}}{k}$ τὴν ὁποίαν καλοῦμεν **θερμοκρασίαν ἐκφυλισμοῦ** τοῦ ἠλεκτρονικοῦ ἀερίου.

Ὅθεν ἡ σχέσις (23) μετασχηματίζεται βάσει τῆς (27) εἰς τὴν:

$$c_v = \frac{1}{2} \pi^2 n k \frac{T}{T_0} \quad (28)$$

ἔνθα $n = \frac{N}{\varrho}$ εἶναι ὁ ἀριθμὸς τῶν ἠλεκτρονίων ἀνὰ μονάδα μάζης.

Διὰ δὲ τὴν ἀτομικὴν θερμότητα εὐρίσκομεν:

$$C_v = \frac{1}{2} \pi^2 n_0 R \frac{T}{T_0} \quad (29)$$

ἔνθα n_0 ὁ ἀριθμὸς τῶν ἐλευθέρων ἠλεκτρονίων κατ' ἄτομον καὶ R ἡ σταθερά τῶν ἀερίων. Διὰ τὴν περίπτωσιν τῶν ἐλευθέρων ἠλεκτρονίων εἰς κανονικὰ μέταλλα, ἡ θερμοκρασία ἐκφυλισμοῦ T_0 εἶναι τῆς τάξεως μεγέθους $10^4 \div 10^5$ °K οὕτως ὥστε εἰς τὰς συνήθεις θερμοκρασίας τὸ ἠλεκτρονικὸν ἀέριον εἶναι τελείως ἐκφυλισμένον καὶ ἡ εἰδικὴ ἠλεκτρονικὴ θερμότης ἀμελη-

τέα συγκρινομένη πρὸς τὴν ἀτομικὴν θερμότητα τὴν ὀφειλομένην εἰς τὰς ταλαντώσεις τῶν ἀτόμων τοῦ κρυσταλλικοῦ πλέγματος. Τοῦτο δικαιολογεῖ τὸ ἀνωτέρω ἀναφερθὲν πειραματικὸν γεγονός ὅτι εἰς τὰ μέταλλα δὲν ἐμφανίζεται πρόσθετος εἰδικὴ θερμότης ὀφειλομένη εἰς τὰ ἐλεύθερα ἠλεκτρόνια. Εἰς χαμηλὰς ὅμως θερμοκρασίας ($\approx 2^\circ \text{K}$), ἔνθα ἡ ἀτομικὴ θερμότης εἶναι μικρά, ἢ εἰδικὴ ἠλεκτρονικὴ θερμότης εἶναι σχετικῶς μεγαλυτέρα. Κατέστη οὕτω δυνατόν διὰ τινῶν μετάλλων νὰ προσδιορισθῇ αὕτη δι' ἀφαιρέσεως ἐκ τῆς παρατηρηθείσης ἀτομικῆς θερμότητος αὐτῶν τοῦ ὄρου $\frac{12\pi^4}{15} R \left(\frac{T}{\Theta_D} \right)^3$

(ἐξίσωσις 18) τοῦ ὀφειλομένου εἰς τὰς ταλαντώσεις τοῦ κρυσταλλικοῦ πλέγματος ὑπολογιζομένου ἐκ τῆς σχέσεως *Debye*.

Μεγαλύτεραι τιμαὶ εἰδικῆς ἠλεκτρονικῆς θερμότητος παρατηροῦνται εἰς τὰ καλούμενα **μεταβατικὰ** μέταλλα.

§ 8.—Ἡλεκτρονικὴ θερμότης μεταβατικῶν μετάλλων^{8, 9, 11}. Τὰ μεταβατικὰ μέταλλα χαρακτηρίζονται ἐκ τοῦ ὅτι τὰ **ἐλεύθερα** ἄτομα αὐτῶν ἔχουν ἓνα d φλοιὸν ἀσυμπλήρωτον, εἴτε εἰς τὴν θεμελιώδη κατάστασίν των, εἴτε εἰς διηγερμένες καταστάσεις μικρᾶς ἐνεργείας. Εἰς τὰ μεταβατικὰ μέταλλα καὶ δὴ εἰς τὴν τριάδα Ni, Pd, Pt δέκα ἠλεκτρόνια πρέπει νὰ κατανεμηθῶν εἰς τὰς ζώνας ἐνεργείας d καὶ s ἐξ ὧν ἡ s ὡς ἐξωτέρα εἶναι πλεον διαπεπλατυσμένη. Ἐὰν a ἠλεκτρόνια κατ' ἄτομον καταλαμβάνουν τὴν s ζώνην, θὰ ὑπάρχῃ ἴσος ἀριθμὸς μὴ κατειλημμένων θέσεων εἰς τὴν d ζώνην. Αἱ θέσεις αὗται καλοῦνται **θετικαὶ ὅπαι** τῆς d ζώνης. Εἰς αὐτὰς ὀφείλεται:

1) Ὁ σιδηρομαγνητισμὸς ἢ ὁ ἰσχυρὸς παραμαγνητισμὸς, τὸν ὁποῖον παρουσιάζουν τὰ μεταβατικὰ μέταλλα.

2) Ἡ χαμηλὴ ἠλεκτρικὴ ἀγωγιμότης, ἢ ὑψηλὴ θερμοηλεκτρικὴ τάσις ὡς καὶ ἡ ἀνώμαλος συμπεριφορὰ τῆς ἀντιστάσεως αὐτῶν εἰς ὑψηλὰς καὶ χαμηλὰς θερμοκρασίας.

3) Ὁ μικρὸς συντελεστὴς ἀνακλάσεως διὰ μακρὰ μήκη κύματος.

4) Ἡ ὑψηλὴ εἰδικὴ ἠλεκτρονικὴ θερμότης τῶν μετάλλων αὐτῶν. Ἡ εἰδικὴ ἠλεκτρονικὴ θερμότης δίδεται παρὰ τῶν σχέσεων (23) ἢ (29). Ὡς ἐλέχθη, αἱ ἀνωτέρω εὗρεθεῖσαι σχέσεις ἰσχύουν δι' ἐλεύθερα ἠλεκτρόνια ἢ δι' ἠλεκτρονικὰς καταστάσεις εἰς τὸν πυθμὲνα σχεδὸν κενῆς ζώνης.

Εἰς τὴν περίπτωσιν πλήρους ζώνης ἰσχύει διὰ τὴν ἠλεκτρονικὴν κατάστασιν εἰς τὴν κορυφὴν αὐτῆς ἡ σχέσις:

$$N(E) \approx \sqrt{E_0 - E} \quad (30)$$

ἔνθα E_0 ἡ μεγίστη ἐνέργεια εἰς τὴν κορυφὴν τῆς ζώνης. Διὰ τὰ μεταβατικὰ μέταλλα καὶ δὴ τὴν τριάδα Ni¹⁸, Pd¹⁹, Pt¹⁹ εἰς τὰ ὁποῖα ὁ ἀριθμὸς «θετικῶν ὀπῶν» ($0,55 \div 0,6$) διὰ τὸ Ni $0,6$, διὰ τὸ Pd $0,6$, διὰ τὸν Pt $0,2 \div 0,3$ κατ' ἄτομον τῆς d ζώνης εἶναι μικρὸς ἐν σχέσει μετὰ τὸν ὀλικὸν ἀριθμὸν ἐνεργειακῶν καταστάσεων (10) ἰσχύει ἄνευ αἰσθητοῦ σφάλματος ἡ ἀνωτέρω ἐξίσωσις

(30). Μέ τήν παραδοχήν αὐτήν δυνάμεθα νά ἐφαρμόσωμεν τήν σχέσιν (29) διὰ τήν εἰδικήν ἠλεκτρονικήν θερμοτότητα τῶν **θετικῶν ὀπῶν**. Ἐάν KT_0' καλέσωμεν τήν ἐνεργειακὴν διαφορὰν μεταξύ τῆς μεγίστης ἐνεργείας E_0 εἰς τήν κορυφὴν τῆς ζώνης καὶ τῆς μεγίστης κατειλημμένης ἐνεργειακῆς καταστάσεως $E_{\text{μεγ}}$ εἰς τὸ ἀπόλυτον μηδὲν τῆς θερμοκρασίας προσδιορίζομεν τὴν **θερμοκρασίαν ἐκφυλισμοῦ ὀπῶν** :

$$T_0' = \frac{E_0 - E_{\text{μεγ}}}{k}$$

ὄτε ἡ ἠλεκτρονική θερμοτότης τῶν θετικῶν ὀπῶν δίδεται παρὰ τῆς σχέσεως :

$$c_v = \frac{1}{2} \pi^2 n_0 R \frac{T}{T_0} \quad (31)$$

ἐνθα n_0 ὁ ἀριθμὸς τῶν κατ' ἄτομον θετικῶν ὀπῶν. Ἡ τιμὴ τῆς T_0' εἶναι τῆς τάξεως μεγέθους 10^3 °K. Τοῦτο ἔχει ὡς ἀποτέλεσμα ὅτι τὸ ἠλεκτρονικὸν ἀέριον (ἢ μᾶλλον τὸ ἀέριον τῶν θετικῶν ὀπῶν) δὲν εἶναι πλήρως ἐκφυλισμένον εἰς συνήθεις θερμοκρασίας καὶ συνεπῶς ἐκάστη θετικὴ ὀπὴ δύναται νά συνεισφέρει σχετικῶς μεγάλον ποσοστὸν τῆς κλασσικῆς τιμῆς $3kT/2$ εἰς τὴν εἰδικὴν θερμοτότητα.

ΚΕΦΑΛΑΙΟΝ Β'

ΥΠΟΛΟΓΙΣΜΟΣ ΤΗΣ ΧΑΡΑΚΤΗΡΙΣΤΙΚΗΣ ΘΕΡΜΟΚΡΑΣΙΑΣ ΚΡΥΣΤΑΛΛΟΥ ΕΚ ΤΩΝ ΑΚΤΙΝΟΓΡΑΦΗΜΑΤΩΝ DEBYE - SCHERRER

§ 9.—Ἐντασις γραμμῶν εἰς ἀκτινογράφημα *Debye-Scherrer*¹⁵. Ἐάν δέσμη μονοχρόου ἀκτινοβολίας *Röntgen* προσπέσῃ ἐφ' ἐνὸς κρυστάλλου, ἡ ἰσχὺς τῆς «ἀνακλωμένης» δέσμης θὰ ἐξαρθῆται ἀπὸ τὴν γωνίαν προσπτώσεως θ , τὴν ἀπόστασιν d μεταξύ τῶν «ἀνακλώντων» δικτυωτῶν ἐπιπέδων καὶ τὸ μῆκος κύματος λ , θὰ εἶναι δὲ μεγίστη διὰ τὴν περίπτωσιν καθ' ἣν τὰ ἄνω μεγέθη ἐκπληροῦν τὴν συνθήκην τοῦ *Bragg*: $n\lambda = 2d\eta\mu\theta$.

Ἐάν «φωτίσωμεν» πολυκρυσταλλικὸν παρασκεύασμα διὰ παραλλήλου δέσμης ἀκτίνων *Röntgen*, οἱ μικροὶ κρυστάλλοι παρουσιάζονται εἰς τὴν δέσμη, ὑπὸ πάντα δυνατὸν προσανατολισμὸν, οὕτως ὥστε δικτυωτὰ ἐπίπεδα ὅλων τῶν εἰδῶν νὰ ἔρχονται εἰς θέσιν «ἀνακλάσεως» κατὰ τὴν ἐξίσωσιν *Bragg*.

Αἱ περιθλώμεναι ἀκτίνες αἰ πληροῦσαι τὴν ἐξίσωσιν ταύτην, θὰ κεῖνται ἐπὶ ἐπιφανείας κυκλικοῦ κώνου. Τὸ πλῆθος τῶν ὁμοαξονικῶν κωνικῶν ἐπιφανειῶν, τὰς ὁποίας παρέχουν τὰ διάφορα δικτυωτὰ ἐπίπεδα, συναντᾷ κυλινδρικήν φωτογραφικὴν ταινίαν ὁμόκεντρον πρὸς τὸ παρασκεύασμα καὶ ἀποτυπώνει ἐπ' αὐτῆς τὰς γραμμάς τὰς γνωστὰς ὡς *Debye - Scherrer*.

Ἡ ἀμαύρωσις ἐκάστης γραμμῆς *Debye - Scherrer* ἐξαρθῆται ἀπὸ τὴν ἰσχὺν τῆς ἐπὶ τῆς ἀντιστοίχου ἕδρας ἀνακλασθείσης ἀκτινοβολίας. Αὕτη δίδεται διὰ τὴν περίπτωσιν λεπτοτάτης κόνεως ὑπὸ τῆς σχέσεως :

$$J = J_0 \frac{1e^4 \lambda^3 (1 + \sigma \nu^2 2\theta)}{16\pi r A m^2 c^4 (\eta \mu \theta . \eta \mu 2\theta)} j n^2 d V S^2$$

ἔνθα J_0 = ἰσχύς προσπιπτούσης δέσμης, l = μῆκος γραμμῆς *Debye-Scherrer* r = ἀκτίς θαλάμου, A = ἔμβαδὸν ἀμαυρωμένης γραμμῆς, j = συχνότης συναντήσεως τῆς ἔδρας μὲ δείκτας h, k, l , n = ἀριθμὸς κυψελίδων ἀνά cm^3 , δV ὁ ὄγκος ἑνὸς μικροῦ κρυστάλλου ἢ ὁ ἐνεργὸς ὄγκος τῆς κόνεως, m = μᾶζα ἠλεκτρονίου, c = ταχύτης ἠλεκτρομαγνητικοῦ κύματος καὶ S = παράγων δομῆς τοῦ κρυστάλλου. Οὗτος ὀρίζεται ὑπὸ τῆς ἐξισώσεως :

$$S = \sum_K F_K e^{2\pi i(hx_K + ky_K + lz_K)}$$

ἔνθα F_K εἶναι ὁ παράγων τῆς μορφῆς τοῦ K ἀτόμου ὑποτιθεμένου ἐν ἠρεμίᾳ. Οὗτος ἐξαρτᾶται ἀπὸ τὴν κατανομὴν τῆς πυκνότητος τοῦ ἠλεκτρικοῦ φορτίου εἰς τὸ ἄτομον, ἀπὸ τὸ μῆκος κύματος τῆς προσπιπτούσης ἐπὶ τοῦ ἀτόμου ἀκτινοβολίας καὶ ἀπὸ τὴν γωνίαν σκεδάσεως θ . Τὰ x_K, y_K, z_K , συμβολίζουν τὰς συντεταγμένας ἑνὸς ἀτόμου K ἀνηγμένας ὡς πρὸς τὰ μῆκη ἀντιστοιχῶν ἀκμῶν κυψελίδος καὶ h, k, l , τοὺς δείκτας *Miller* τοῦ «ἀνακλῶντος» συστήματος δικτυωτῶν ἐπιπέδων.

§ 10.—Ἐπίδρασις τῆς θερμικῆς κινήσεως ἐπὶ τῆς ἰσχύος τῆς σκεδαζομένης ἀκτινοβολίας. Ἡ ἀνωτέρω σχέσις ἰσχύει ἐφ' ὅσον δὲν λαμβάνεται ὑπ' ὄψιν ἡ ἐπίδρασις τῆς θερμικῆς κινήσεως τοῦ κρυστάλλου. Εἶναι ὅμως γνωστόν, ὅτι εἰς οἰανδήποτε θερμοκρασίαν, μὴ ἐξαιρουμένου καὶ τοῦ ἀπολύτου μηδενός, τὰ ἄτομα ἑνὸς κρυσταλλικοῦ πλέγματος εὐρίσκονται εἰς θερμικὴν κίνησιν, ἣ ὁποία ἔχει ὡς ἀποτέλεσμα τὴν ἐξασθένησιν τῆς ἀνακλωμένης, ἐπὶ τοῦ κρυστάλλου, δέσμης. Οἱ *Debye-Waller*^{20, 21} ὑπελόγησαν τὴν ἐξασθένησιν ταύτην διὰ κρυστάλλον ἀπλοῦ κυβικοῦ πλέγματος μετατοπίσεως καὶ διὰ θερμοκρασίας χαμηλοτέρας τοῦ σημείου τήξεως αὐτοῦ. Ἡ σχέσις εἰς τὴν ὁποίαν κατέληξαν οἱ θεωρητικοὶ τῶν ὑπολογισμοῦ, δεικνύει τὴν ἐξάρτησιν τοῦ παραγόντος μορφῆς τοῦ ἀτόμου ἀπὸ τὴν θερμοκρασίαν :

$$F_T = F_H \cdot e^{-M}$$

ἔνθα F_T = παράγων μορφῆς ἀτόμου εἰς θερμοκρασίαν T , F_H = παράγων μορφῆς ἀτόμου ἐν ἠρεμίᾳ καὶ $M = \frac{8\pi^2 \eta \mu^2 \theta \bar{u}^2}{\lambda^2}$, ἔνθα \bar{u}^2 εἶναι τὸ μέσον τετραγώνων τῆς μετατοπίσεως τοῦ ἀτόμου ἐκ τῆς μέσης θέσεώς του ἑκατέρωθεν τοῦ θεωρουμένου δικτυωτοῦ ἐπιπέδου καὶ καθέτως πρὸς αὐτό.

Ἡ θεωρία *Debye-Waller* ὑπολογίζει τὴν ποσότητα \bar{u}^2 καὶ καταλήγει εἰς τὸ συμπέρασμα ὅτι :

$$M = \frac{6h^2 \eta \mu^2 \theta}{m_a k \Theta \lambda^2} \left(\frac{\varphi(x)}{x} + \frac{1}{4} \right) \quad (34)$$

ἔνθα m_a = μᾶζα ἀτόμου, k = σταθερὰ Boltzmann, Θ χαρακτηριστικὴ θερ-

μοκρασία κρυστάλλου, $x = \frac{\Theta}{T}$ και $\varphi(x) = \frac{1}{x} \int_0^x \frac{\xi d\xi}{e^\xi - 1}$ ἢ συνάρτησις παρεχομένη ὑπὸ πινάκων²² συναρτήσῃ τοῦ x .

Ἐὰν ἀντικαταστήσωμεν εἰς τὴν ἐξίσωσιν (32) τὰς ἐξισώσεις (33) καὶ (34) προκύπτει ἡ σχέσηις :

$$J = J_0 \frac{1e^{4\lambda^3(1+\text{συν}^2\vartheta)} j n^2 dV [\sum F_K e^{2\pi i(hx_K + ky_K + lz_K)}]^2 e^{-2M}}{16\pi r A m^2 c^4 \eta \mu \vartheta \cdot \eta \mu 2\vartheta} \quad (35)$$

§ 11.—Ἐπίδρασις ἀπορροφῆσεως. Εἰς τὴν ἀνωτέρω σχέσιν (35) θεωρεῖται τὸ J_0 σταθερὸν δι' ὅλα τὰ τεμαχίδια τοῦ πολυκρυσταλλικοῦ παρασκευάσματος. Τοῦτο ὅμως δὲν συμβαίνει εἰς τὴν πραγματικότητα, διότι τὸ σκεδάζον παρασκεύασμα ἔχει ὑπολογισίμους διαστάσεις καὶ ὡς ἐκ τούτου δὲν «φωτίζονται» ὅλα τὰ τεμαχίδια τοῦ ὄγκου του ὁμοιομόρφως, λόγῳ ἀπορροφῆσεως τῆς δέσμης κατὰ τὴν διέλευσίν της μέσῳ τοῦ παρασκευάσματος. Ἡ τιμὴ τῆς νέας ἰσχύος μὲ ἀπορρόφησιν δίδεται ὑπὸ τῆς σχέσεως $J_{\text{ἀπορ}} = \Pi J_0$ ἔνθα διὰ (Π) δηλοῦται ὁ συντελεστὴς ἀπορροφῆσεως.

Ἐὰν τὸ παρασκεύασμα ἔχει κυκλικὴν ἐγκαρσίαν τομήν, ὡς τὸ χρησιμοποιηθὲν παρ' ἡμῶν σύρμα λευκοχρύσου, ἡ τιμὴ τοῦ Π καθορίζεται ἐκ τῆς ἐξισώσεως²³ :

$$\Pi = \frac{1}{\rho \cdot \mu \cdot \pi} \left\{ 1 + \frac{\text{συν}^2\vartheta}{2\eta\mu\vartheta} \ln \left[\frac{\text{συν}2\vartheta + \eta\mu\vartheta}{(1 + \eta\mu\vartheta)(1 + 2\eta\mu\vartheta)} \right] \right\} \quad (36)$$

ἔνθα ρ = ἀκτίς σύρματος, μ = γραμμικὸς συντελεστὴς ἀπορροφῆσεως ὕλικου καὶ ϑ = γωνία σκεδάσεως.

Κατὰ συνέπειαν ἡ νέα τιμὴ τῆς σκεδαζομένης ἰσχύος θὰ εἶναι :

$$J = J_0 \frac{1e^{4\lambda^3(1+\text{συν}^2\vartheta)} \cdot j n^2 dV [\sum F_K e^{2\pi i(hx_K + ky_K + lz_K)}]^2 e^{-2M} \cdot \Pi \vartheta}{16\pi r A m^2 c^4 \eta \mu \vartheta \cdot \eta \mu 2\vartheta} \quad (37)$$

§ 12 — Καθορισμὸς τῆς χαρακτηριστικῆς θερμοκρασίας ἐκ τῆς ἐπιδράσεως τῆς θερμικῆς κινήσεως ἐπὶ τῆς ἐντάσεως τῶν γραμμῶν. Θεωρήσωμεν τὸ πηλίκον τῶν ἐντάσεων δύο γραμμῶν ἑνὸς ἀκτινογραφήματος ληφθέντος εἰς τὴν θερμοκρασίαν T . Δεδομένου ὅτι αἱ δύο γραμμαὶ ϑ° ἀντιστοιχοῦν εἰς δύο διαφόρους γωνίας ἀνακλάσεως ϑ_1 καὶ ϑ_2 καὶ θὰ ἐλήφθησαν πιθανῶς ἀπὸ δύο διάφορα μήκη κύματος (π.χ. K_α καὶ K_β τῆς ἀκτινοβολίας σιδήρου) τὸ πηλίκον τοῦτο γράφεται κατόπιν ἀπλοποιήσεως τῶν μεγεθῶν e , l , n , dV , r , A , m , c :

$$\frac{J_{T,\vartheta_1,K\beta}}{J_{T,\vartheta_2,K\alpha}} = \frac{J_{0,K\beta}\Pi_{\vartheta_1} \frac{\lambda^3_{K\beta}(1+\text{συν}^22\vartheta_1)j_{\vartheta_1}}{\eta\mu\vartheta_1 \cdot \eta\mu 2\vartheta_1} \left[\sum F_{K(\vartheta_1)} e^{2\pi i(hx_K + ky_K + lz_K)} \right]^2 e^{-2M_1}}{J_{0,K\alpha}\Pi_{\vartheta_2} \frac{\lambda^3_{K\alpha}(1+\text{συν}^22\vartheta_2)j_{\vartheta_2}}{\eta\mu\vartheta_2 \cdot \eta\mu 2\vartheta_2} \left[\sum F_{K(\vartheta_2)} e^{2\pi i(h'x_K + k'y_K + l'z_K)} \right]^2 e^{-2M_2}} = C \frac{e^{-2M_1}}{e^{-2M_2}} \quad (38)$$

Ἡ ποσότης C εἶναι πρακτικῶς ἀνεξάρτητος τῆς θερμοκρασίας*. Διὰ λογαριθμίσσεως τῆς ἐξισώσεως (38) λαμβάνομεν :

$$\ln \frac{J_{T, \vartheta_1, K\beta}}{J_{T, \vartheta_1, K\alpha}} = \ln C - 2M_1 + 2M_2 \quad (39)$$

δι' ἀντικαταστάσεως τῶν M_1 καὶ M_2 διὰ τῶν τιμῶν των εὐρίσκομεν : (40)

$$\ln \frac{J_{T, \vartheta_1, K\beta}}{J_{T, \vartheta_2, K\alpha}} = \ln C - \frac{12h^2 \eta \mu^2 \vartheta_1}{m_\alpha k \Theta \lambda^2 K\beta} \left\{ \frac{\varphi(\Theta/T)}{\Theta/T} + \frac{1}{4} \right\} + \frac{12h^2 \eta \mu^2 \vartheta_2}{m_\alpha k \Theta \lambda^2 K\alpha} \left\{ \frac{\varphi(\Theta/T)}{\Theta/T} + \frac{1}{4} \right\}$$

καὶ ἐκ ταύτης :

$$\ln \frac{J_{T, \vartheta_1, K\beta}}{J_{T, \vartheta_2, K\alpha}} = \ln C + \frac{12h^2}{4m_\alpha k \Theta} \left\{ \frac{\eta \mu^2 \vartheta_1}{\lambda^2 K\beta} - \frac{\eta \mu^2 \vartheta_2}{\lambda^2 K\alpha} \right\} - \frac{12h^2}{m_\alpha k \Theta} \left\{ \frac{\eta \mu^2 \vartheta_1}{\lambda^2 K\beta} - \frac{\eta \mu^2 \vartheta_2}{\lambda^2 K\alpha} \right\} \frac{\varphi(\Theta/T)}{\Theta/T} \quad (41)$$

Ἡ ἐξίσωσις αὕτη, παριστῶσα τὸ μέγεθος $\ln \frac{J_{T, \vartheta_1, K\beta}}{J_{T, \vartheta_2, K\alpha}}$ ὡς συνάρτησιν τῆς ἀπολύτου θερμοκρασίας T διὰ σταθερὰν τιμὴν τῆς χαρακτηριστικῆς θερμοκρασίας Θ , δὲν παριστᾶται ὑπὸ εὐθείας* πλὴν ὅμως εἰς τὴν περιοχὴν θερμοκρασιῶν τοῦ πειράματος, ὡς ὁ ἀριθμητικὸς ὑπολογισμὸς εὐκόλως δεικνύει, ἀποδίδεται μετὰ μεγάλης προσεγγίσεως ὑπὸ εὐθείας γραμμῆς. Τὸν τελευταῖον ὅρον τῆς σχέσεως (41) τὸν ὁποῖον χάριν συντομίας καλοῦμεν U δυνάμεθα ν' ὑπολογίσωμεν δι' ὠρισμένην τιμὴν τῆς Θ καὶ νὰ παραστήσωμεν γραφικῶς συναρτήσῃ τῆς θερμοκρασίας T, ἐφ' ὅσον εἶναι γνωσταὶ αἱ γωνίαι σκεδάσεως ϑ_1 καὶ ϑ_2 καὶ τὰ μήκη κύματος $\lambda_{K\alpha}$ καὶ $\lambda_{K\beta}$ τῆς ἀκτινοβολίας *Röntgen*.

Ἡ προκύπτουσα καμπύλη :

$$U = f(T) \quad (42)$$

κατὰ προσέγγισιν εὐθεῖα, θὰ ἔχη τὴν αὐτὴν κλίσιν μὲ τὴν ἀποδίδουσαν τὴν σχέσιν :

$$\ln \frac{J_{T, \vartheta_1, K\beta}}{J_{T, \vartheta_2, K\alpha}} = f(T) \quad (43)$$

διὰ τὰς αὐτὰς τιμὰς τῶν ϑ_1 , ϑ_2 , λ καὶ Θ δεδομένου ὅτι οἱ δύο πρῶτοι ὅροι τῆς σχέσεως (41) εἶναι πρακτικῶς ἀνεξάρτητοι τῆς θερμοκρασίας.

Ἐὰν λοιπὸν μετρήσωμεν τὸν λόγον τῶν ἐντάσεων δύο γραμμῶν ἐνδὸς ἀκτινογραφήματος καὶ τοῦτο ἐπαναλάβωμεν διὰ διαφόρους θερμοκρασίας, εἶναι δυνατόν νὰ λάβωμεν πειραματικῶς τὴν εὐθεῖαν τῆς σχέσεως (43). Διὰ συγκρίσεως τῶν κλίσεων τῶν διὰ τῆς σχέσεως (41) ὑπολογιζομένων εὐθειῶν $U = f(T)$ τῶν ἀντιστοιχοῦσῶν εἰς διαφόρους τιμὰς τῆς χαρακτηριστικῆς θερμοκρασίας Θ , πρὸς τὰς κλίσεις τῶν πειραματικῶς εὐρισκομένων εὐθειῶν, εὐρίσκεται ἡ χαρακτηριστικὴ θερμοκρασία Θ .

Σκοπὸς τῆς ἀνὰ χεῖρας ἐργασίας εἶναι ἀκριβῶς ὁ κατὰ τ' ἀνωτέρω ὑπολογισμὸς τῆς Θ διὰ τὸν λευκόχρυσον.

* Ἡ σταθερὰ πλέγματος καὶ μετ' αὐτῆς ἡ γωνία σκεδάσεως ἐλάχιστα μεταβάλλονται μετὰ τῆς θερμοκρασίας. Ἡ μεταβολὴ αὕτη, ὡς ὑπολογίζεται, δὲν ὑπερβαίνει τὸ 1% καὶ εἶναι ἀμελητέα ἐν συγκρίσει πρὸς τὰ ἄλλα σφάλματα τοιούτων μετρήσεων.

ΠΕΙΡΑΜΑΤΙΚΟΝ ΜΕΡΟΣ

ΚΕΦΑΛΑΙΟΝ Γ'

Α'. ΠΕΙΡΑΜΑΤΙΚΗ ΔΙΑΤΑΞΙΣ

Ἡ ὅλη πειραματικὴ ἐργασία περιλαμβάνει τὰ ἑξῆς εἰδικώτερον μέρη :

1) Κατασκευὴν διατάξεως θερμάνσεως τοῦ σύρματος λευκοχρύσου καὶ μετρήσεως τῆς θερμοκρασίας του.

2) Διάταξιν λήψεως ἀκτινογραφημάτων *Debye · Scherrer* ἐπὶ φωτογραφικῶν ταινιῶν.

3) Φωτομέτρησιν τῶν φωτογραφικῶν ταινιῶν καὶ ἀναγωγὴν τῶν ἐνδείξεων τοῦ φωτομέτρου εἰς τιμὰς ἐντάσεως ἀκτινοβολίας τῇ βοηθεῖα καμπύλης κλιμακωτῆς ἀμυρῶσεως καὶ

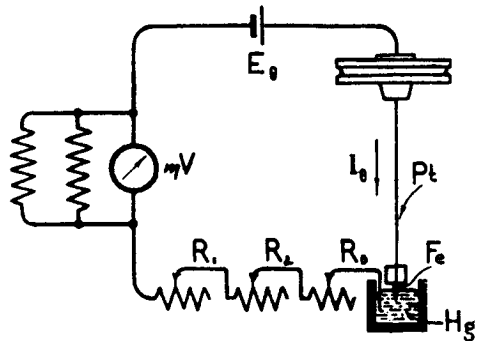
4) Ὑπολογισμὸν τῆς χαρακτηριστικῆς θερμοκρασίας καὶ ἐκτίμησιν τῶν σφαλμάτων.

§ 13.— Διάταξις θερμάνσεως τοῦ λευκοχρύσου. α) *Θέρμανσις σύρματος λευκοχρύσου.* Εἰς τὰ πειράματα ἐχρησιμοποιήθη λευκόχρυσος ὑπὸ μορφῆν σύρματος διαμέτρου 200 μ καὶ τὸ ὁποῖον ἐθερμαίνεται διὰ τῆς διοχετεύσεως ἠλεκτρικοῦ ρεύματος, ἐντάσεως I_{θ} μεταβλητῆς κατὰ βούλησιν. Ἡ συνδεσμολογία τῆς διατάξεως εἰκονίζεται εἰς τὸ σχῆμα 3.

Ἡ προσαγωγή τοῦ ρεύματος εἰς τὸ σύρμα λευκοχρύσου ἐγένετο δι' ἀκροδέκτου εὐρισκομένου ἐπὶ τῆς ὀροφῆς τοῦ θαλάμου, ἡ ὁποία ἦτο ἠλεκτρικῶς μονωμένη τοῦ ὑπολοίπου θαλάμου διὰ τεμαχίου (μ) (σχ. 7) ἐξ ἔβονίτου, ἡ δὲ ἀπαγωγή αὐτοῦ διὰ σιδηροῦ σύρματος βυθιζομένου ἐντὸς τῆς λεκάνης τοῦ ὑδραργύρου. Ἐπειδὴ ὅμως ἡ θέρμανσις τοῦ σύρματος ἄνω τῆς θερμοκρασίας τῶν 300°C ἐπέφερε καὶ θέρμανσιν τοῦ θαλάμου, ἔνεκα τῆς ὁποίας ὑφίστατο κίνδυνος ἀλλοιώσεων τῶν φωτογραφικῶν ταινιῶν, ἐλήφθη πρόνοια νὰ ψύχεται οὗτος διὰ κυκλοφοροῦντος ὕδατος. Ἡ μέτρησις τῆς ἐκάστοτε θερμοκρασίας τοῦ σύρματος λευκοχρύσου ἐγένετο τῇ βοηθεῖα θερμοστοιχείου.

β') *Ἀρχικὴ μέθοδος μετρήσεως θερμοκρασίας σύρματος λευκοχρύσου.*

Ἀρχικῶς κατεσκευάσθη θερμοστοιχεῖον ἐκ συρμάτων Constantan - Cu



Σχ. 3. Διάταξις θερμάνσεως σύρματος λευκοχρύσου.

διαμέτρων αντίστοιχως 40 μ και 80 μ, τὸ ὁποῖον τιθέμενον εἰς ἐπαφήν μετὰ τὸ σύρμα λευκοχρύσου θὰ ἐμέτρα τὴν θερμοκρασίαν του. Ἡ χρησιμοποίησις τοσοῦτων λεπτῶν συρμάτων ἐκρίθη ἀπαραίτητος ἵνα μὴ διαταράσσεται ἡ θερμικὴ κατάστασις τοῦ σύρματος λευκοχρύσου. Ἡ σύντηξις τῶν δύο μετάλλων τοῦ θερμοστοιχείου ἐγένετο τῇ βοηθείᾳ μικρᾶς ποσότητος ἀργύρου (ἀσημοκόλλησις) τιθεμένου κατὰ τὴν θέρμανσιν εἰς τὸ σημεῖον ἐπαφῆς. Ὁ ἄργυρος συνεσφαιροῦτο, τὰ δὲ ἐναπομένοντα πέραν τοῦ σφαιριδίου Ag μικρὰ τεμάχια τῶν συρμάτων Constantan καὶ Cu ἀρχικῶς ἐχρησιμοποιήθησαν διὰ τὴν ἀποκατάστασιν καλῆς ἐπαφῆς μετὰ τοῦ σύρματος λευκοχρύσου ἐνσφηνουμένου μεταξὺ τῶν προεξεχόντων τμημάτων τοῦ σύρματος.

Τὸ θερμοστοιχεῖον συνεδέθη μὲ μιλλιβολτόμετρον, τὸ ὁποῖον ἐμέτρα τὴν δημιουργουμένην θερμοηλεκτρικὴν τάσιν E_T . Διὰ τὴν βαθμολογίαν ἐχρησίσμευον ὡς πρότυποι θερμοκρασίαι αἱ τοῦ σημείου ζέσεως H_2O ($100^\circ C$) καὶ τήξεως τῶν μετάλλων Sn ($231,9^\circ C$), Pb ($327,5^\circ C$) καὶ Zn ($419,4^\circ C$). Λόγω τῆς λεπτότητος τῶν συρμάτων τοῦ θερμοστοιχείου δὲν ἐνεβαπτίζετο τοῦτο ἀμέσως ἐντὸς τῶν τετηκότων μετάλλων, ἀλλὰ προεφυλάσσετο, ἐντὸς σωληνίσκου, ἐκ δυστήκτου ὑάλου (Ofenglass) συντετηγμένου κατὰ τὸ κάτω ἄκρον καὶ βυθιζομένου ἐντὸς αὐτῶν.

Πρὸς ἐξακρίβωσιν τῆς ὁμοιογενείας τῆς διατιθεμένης ποσότητος τῶν συρμάτων, ἡ ἀνωτέρω διαδικασία τῆς βαθμολογίας ἐγένετο διαδοχικῶς διὰ τρία ὅμοια θερμοστοιχεῖα Constantan - Cu κατεσκευασμένα ἐκ τοῦ αὐτοῦ σύρματος καὶ τοῦ αὐτοῦ περιπού μήκους. Αἱ ληφθεῖσαι καμπύλαι $E_T = f(T)$ συνέπιπτον καὶ διὰ τὰ τρία θερμοστοιχεῖα συνεπῶς ἡ βαθμολογία εἶναι ἀκριβῆς δι' οἰονδήποτε θερμοστοιχεῖον ἐκ τοῦ προαναφερθέντος ὕλικου. Ἀκολουθῶν μὲ τὸ ἐν ἐκ τῶν ἀνωτέρω θερμοστοιχείων ἐπεχειρήθη μέτρησις τῆς θερμοκρασίας τοῦ εἰς τὸ πείραμα χρησιμοποιηθέντος σύρματος λευκοχρύσου. Ἐλήφθησαν οὕτω μετρήσεις μεταξὺ τῆς θερμοηλεκτρικῆς τάσεως E_T (καὶ συνεπῶς τῆς θερμοκρασίας T) καὶ τοῦ ρεύματος I_θ (σχ. 3) τοῦ διαρρέοντος τὸ σύρμα λευκοχρύσου μετρομένου δι' ἄμπερομέτρον. Αἱ μετρήσεις αὗται διεκόπησαν εἰς τὴν τιμὴν τοῦ $I_\theta = 2,7A$ λόγω καταστροφῆς τοῦ θερμοστοιχείου. Διὰ τὸ δεύτερον χρησιμοποιηθὲν θερμοστοιχεῖον Constantan - Cu τ' ἀποτελέσματα τῶν μετρήσεων ἦσαν πολὺ διαφορετικὰ τῶν προηγούμενων (μεταβολὴ κατὰ 30%). Τοῦτο ὀφείλετο, προφανῶς, εἰς τὸ ὅτι ἡ σφαῖρα δὲν ἐσχημάτιζε καλὴν ἐπαφήν μετὰ τὸν λευκόχρυσον καὶ συνεπῶς δὲν ἐλάμβανε ἀκριβῶς τὴν θερμοκρασίαν του. Τούτου ἕνεκα, ἐγκατελείφθη ἡ μέθοδος αὕτη καὶ ἀπεφασίσθη ἡ χρησιμοποίησις ὡς ζεύγους μετάλλων Pt - Constantan τοῦ ὁποῖου τὸ ἐκ λευκοχρύσου τμήμα ἦτο αὐτὸ τοῦτο τὸ ὑπὸ τοῦ ρεύματος θερμάνσεως διαρρέομενον σύρμα τοῦ παρασκευάσματος.

Ἡ κατασκευὴ τοῦ νέου θερμοστοιχείου ἐγένετο διὰ συγκολλήσεως μὲ ἄργυρον τοῦ σύρματος λευκοχρύσου περὶ τὸ μέσον του πρὸς σύρμα ἐκ Constantan διαμέτρου 40μ. Ἐλήφθη μέριμνα, ὅπως αἱ διαστάσεις τῆς προκυπτούσης κατὰ τὸ σημεῖον συγκολλήσεως διογκώσεως ἔξ Ag εἶναι,

ὅσον τὸ δυνατόν, μικρότεροι, οὕτως ὥστε νὰ μὴ μεταβάλληται αἰσθητῶς ἡ διάμετρος τοῦ σύρματος λευκοχρύσου εἰς τὸ σημεῖον τοῦτο (ἔλεγχος διὰ μικροσκοπίου).

Ἡ **βαθμολογία** ἐγένετο διὰ μετρήσεως τῆς E_T βάσει τῆς μεθόδου τῆς ἀντισταθμίσεως*.

Αἱ χρησιμοποιηθεῖσαι πρότυποι θερμοκρασίαι ἦσαν:

Σημεῖον ζέσεως	H_2O	(100°C)
»	τήξεως Sn	(231,9°C)
»	» Pb	(327,5°C)
»	» Zn	(419,5°C)
»	» Al	(658,7°C)

Ἡ ὅλη διάταξις εἰκονίζεται εἰς τὸ σχῆμα 4.

Ἡ ἐκάστοτε μετρουμένη E_T δίδεται ὑπὸ τῆς σχέσεως:

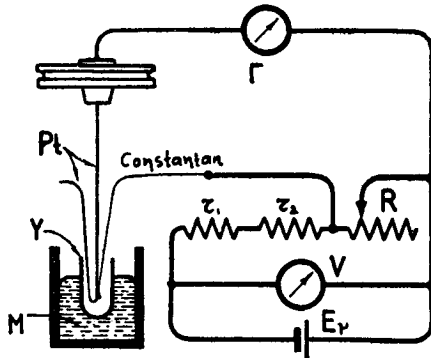
$$E_T = V_0 \cdot \frac{R}{r_1 + r_2 + R}$$

ἐνθα V_0 ἡ τάσις ἡ μετρουμένη ὑπὸ τοῦ βολτομέτρου εἰς τὰ πέρατα τῶν ἀντιστάσεων $r_1 + r_2 + R$. Τὰ ἀποτελέσματα τῶν μετρήσεων παρέχουν τὴν καμπύλην βαθμολογίας $E_T = f(T)$.

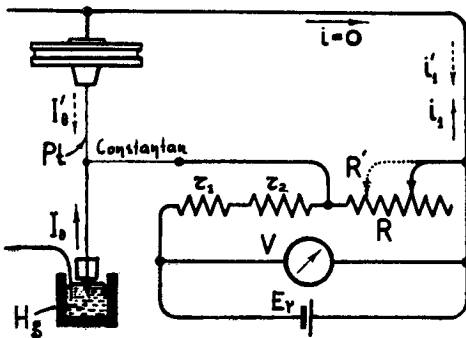
γ') *Τελικὴ μέθοδος μετρήσεως θερμοκρασίας σύρματος.*

Ἡ μέτρησις τῆς θερμοηλεκτρικῆς τάσεως κατὰ τὴν βαθμολογίαν ἦτο εὐχερής, καθ' ὅσον ἡ θέρμανσις τοῦ θερμοστοιχείου ἦτο ἐξωτερική. Κατὰ

τὴν λειτουργίαν τὸ ζήτημα περιπλέκεται λόγῳ τοῦ ὅτι τὸ σύρμα λευκοχρύσου διαρρέεται ὑπὸ τοῦ ρεύματος θερμάνσεως (σχ. 3). Πρὸς τοῦτο γίνονται δύο μετρήσεις κατὰ τὰς ὁποίας ἀναστρέφομεν τὸν φορὰν τοῦ ρεύματος θερμάνσεως ὅσον καὶ τοῦ τῆς γεφύρας ἀντισταθμίσεως. Τὰ μετρούμενα μεγέθη εἰς τὰς δύο περιπτώσεις διακρίνονται διὰ τονουμένων συμβόλων. Τὰς κατὰ ἀντιστάθμισιν ἰσχυοῦσας συνθήκας πορίζο-



Σχ. 4. Διάταξις διὰ τὴν βαθμολογίαν θερμοζεύγους (ἀρχή).
Y=ὕαλινος σωλὴν ἐξ Ofenglass
M=τήγμα μετάλλου.



Σχ. 5. Διάταξις ἀντισταθμίσεως διὰ τὴν εὔρεσιν τῆς σχέσεως $E_T = f(I_{\theta})$ (ἀρχή).

μεθὰ δι' ἐφαρμογῆς τοῦ δευτέρου κανόνος τοῦ **Kirchhoff**. Οὕτω ἔχομεν (σχ. 5):

* Πρὸς τοῦτο τὸ ἐκ λευκοχρύσου σύρμα ἐκάμπτετο καὶ εἰσήγετο ἐντὸς ὑαλίνου σωληνίσκου, ὥστε τὸ σημεῖον συγκολλήσεως νὰ εἶναι εἰς τὸ κάτω μέρος αὐτοῦ.

$$i_1 = V_0 \frac{1}{r_1 + r_2 + R}, \quad E_T = -I_\theta R_{Pt} + i_1 R \quad (44)$$

$$i'_1 = V_0 \frac{1}{r_1 + r_2 + R'}, \quad E_T = I_\theta R_{Pt} - i'_1 R'$$

ἢ διὰ τῆς ἀντικαταστάσεως τῶν i_1 καὶ i'_1 διὰ τῶν τιμῶν (ἔξ. 44):

$$E_T = -I_\theta \cdot R_{Pt} + \frac{V_0 R}{r_1 + r_2 + R}$$

$$E_T = I_\theta R_{Pt} - \frac{V_0 R'}{r_1 + r_2 + R'}$$

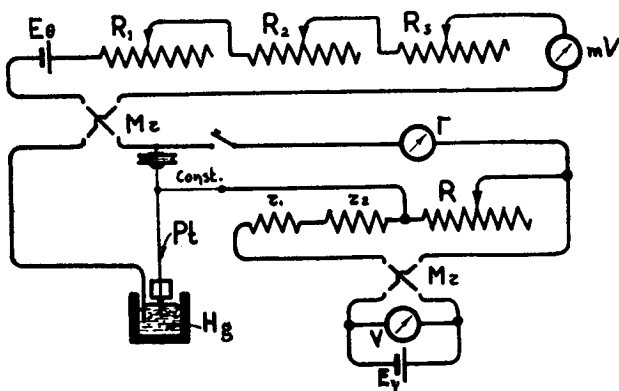
καὶ διὰ προσθέσεως αὐτῶν:

$$E_T = \frac{V_0}{2} \left[\frac{R}{r_1 + r_2 + R} - \frac{R'}{r_1 + r_2 + R'} \right] \quad (45)$$

ἔνθα V_0 , r_1 , r_2 ἔχουν σταθεράς τιμὰς καὶ τὰ R , R' μετροῦνται ἐκάστοτε. Ἡ πλήρης συνδεσμολογία τῆς διατάξεως θερμάνσεως τοῦ σώματος λευκοχρῦσου ὡς καὶ τῆς μετρήσεως τῆς τάσεως E_T εἰκονίζεται εἰς τὸ σχῆμα 6.

Αἱ τὸ πρῶτον γινόμεναι μετρήσεις $E_T = f(I_\theta)$ διέφερον κατὰ πολὺ ἀπὸ τὰς πραγματοποιουμένας μετὰ τὴν πρώτην θέρμανσιν τοῦ σώματος λευκοχρῦσου εἰς 700°C , ἐπειδὴ προφανῶς μετεβάλλετο ἡ ἀντίστασις τοῦ σώματος λόγῳ ἀνακρυσταλλώσεως. Μετὰ τὴν πρώτην ὁμως θέρμανσιν, εὐρέθη ὅτι αἱ συνθήκαι σταθεροποιοῦνται καὶ καθίσταται δυνατὴ μία μονοσήμαντος σχέσις

μεταξὺ τοῦ I_θ καὶ τῆς E_T . Διὰ συγκρίσεως τῶν καμπυλῶν $E_T = f(I_\theta)$ καὶ $E_T = f(T)$ προέκυψεν ἡ καμπύλη $T = f(I_\theta)$. Οὕτω ἐκ τῆς γνωστῆς ἐκάστοτε τιμῆς I_θ τῆς ἐντάσεως τοῦ διαρρέοντος τὸ σῆμα λευκοχρῦσου προέκυπτε καὶ ἡ θερμοκρασία αὐτοῦ. Μετὰ τὴν ἀναγωγὴν ταύτην τῆς μετρήσεως θερμοκρασίας εἰς μετρήσιν τοῦ ρεύ-



Σχ. 6. Ἡ πηγή E_0 ($=6\text{V}$) παρέχει τὸ ρεῦμα θερμάνσεως τοῦ σώματος Pt. Ἡ πηγή E_1 ($=3,5\text{V}$) τροφοδοτεῖ τὴν γέφυραν ἀντισταθμίσεως.

M_T = Μεταγωγεῖς πρὸς ἀναστροφὴν τῶν ρευμάτων τῶν δύο πηγῶν.

$$R_1 = 90\Omega, \quad R_2 = 5,2\Omega, \quad R_3 = 1\Omega$$

Γ = Γαλβανόμετρον μὲ ρυθμιστὴν εὐαισθησίας,
 $r_1 = 8000\Omega, \quad r_2 = 2000\Omega$.

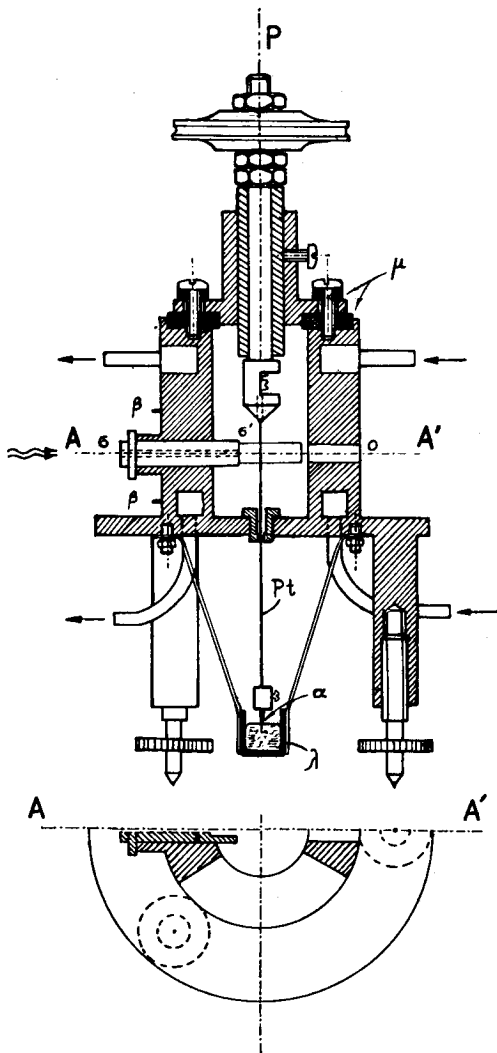
ματος, τοῦ θερμαίνοντος τὸ σῆμα λευκοχρῦσου ἀπεκόπη τὸ σῆμα Constantan ὡς ἄχρηστον πλέον.

§ 14.—Διάταξις λήψεως ἀκτινογραφημάτων *Debye-Scherrer*.

Αὕτη ἐγένετο διὰ διατάξεως περιλαμβανούσης τὰ ἑξῆς :

α) *Λυχνίαν ἀκτίνων Röntgen*. Αἱ πρῶται δοκιμαίαι ἐγένοντο μὲ λυχνίαν *Coolidge* λυομένην, εἰδικῶς κατασκευασθεῖσαν ἐν τῷ Ἐργαστηρίῳ. Αὕτη ἔφερε νῆμα πυρακτώσεως ἐκ βολφραμίου, τὸ ὑλικὸν τῆς ἀντικαθόδου ἦτο Cu , ἠδύνατο δὲ αὕτη νὰ ἐξάγεται πρὸς καθαρισμόν μετὰ πάροδον ὀρισμένων ὥρῶν λειτουργίας. Κατὰ τὰ λοιπὰ ἡ λυχνία αὕτη ὁμοίαιζε πρὸς ἑτέραν ἤδη περιγραφεῖσαν²⁴.

Ἐργότερον κατέστη δυνατὴ ἡ προμήθεια λυχνίας συντετηγμένης (οἴκου *Machlett U.S.A.* τύπου *A-2*) τῆς ὁποίας ἡ λειτουργία ἦτο πολὺ εὐχερεστέρα. Τὸ νῆμα θερμάνσεως ἦτο ἐκ βολφραμίου, ἡ δὲ ἀντικαθόδος ἐκ σιδήρου. Ἡ γωνία κλίσεως ἀντικαθόδου ἦτο 6° . Ἡ ἔστιά ἐπὶ τῆς ἀντικαθόδου εἶχε ἐμβαδὸν 1 mm^2 . Τὸ περίβλημα τῆς λυχνίας εἰς τὴν περιοχὴν τῆς ἀντικαθόδου ἀπετελεῖτο ἐκ Cu πάχους κατ' ἐλάχιστον $9,5 \text{ mm}$ φέρον διὰ τὴν ἔξοδον τῆς ἀκτινοβολίας δύο παράθυρα κλειόμενα μὲ φίλτρα ἐκ βηρυλλίου πάχους $0,5 \text{ mm}$. Τὸ βηρύλλιον ἀπερρόφα κατὰ τὸ αὐτὸ ποσοστὸν περίπου τὰς δύο κυρίας ἀκτινοβολίας τοῦ Fe (ἦτοι 25% διὰ τὴν ἀκτινοβολίαν K_α τοῦ Fe καὶ 20%



Σχ. 7. Θάλαμος *Debye-Scherrer*.

διὰ τὴν K_β). Μετὰ τοῦ χαλκίνου περιβλήματος τῆς ἀντικαθόδου ἦτο συντετηγμένος κατὰ τὸ ἓν ἄκρον σωλὴν ἐξ ὑάλου *Pyrex* φέρον κατὰ τὸ ἕτερον ἄκρον αὐτοῦ συντετηγμένους τοὺς ἀκροδέκτας τοὺς καταλήγοντας εἰς τὸ νῆμα θερμάνσεως καὶ χρησιμεύων ἅμα διὰ τὴν μόνωσίν της.

β) *Θάλαμος λήψεως ακτινογραφημάτων Debye-Scherrer*. Ούτος κατεσκευάσθη ἐξ ὀρειγάλκου καὶ ἀπετελεῖτο κυρίως ἀπὸ κατακόρυφον παχύτοιχον σωλήνα ἐξωτερικῆς διαμέτρου 48 mm καὶ ἐσωτερικῆς διαμέτρου 24 mm (σχ. 7).



Σχ. 8. Φωτογραφία τῆς πειραματικῆς διατάξεως. Ἀριστερὰ διακρίνεται εἰς ὀριζοντίαν θέσιν ἡ λυχνία ἀκτίνων Röntgen καὶ ὁ θάλαμος μετὰ τῆς τροχαλίας συνδεδεμένης πρὸς τὸ σύστημα ὑποβιβάσεως στροφῆς. Ἡ ὕψηλὴ τάσις ἔρχεται ἀπὸ τὸ ἄκρον τοῦ μονωτήρος ἐκ πορσελάνης. Διακρίνεται ἐπίσης τὸ σύστημα σωληνώσεων διὰ τὴν ψύξιν τοῦ θαλάμου.

ἔπετυγάνετο διὰ μικροῦ βάρους στερεωμένον κατὰ τὸ κατώτατον ἄκρον αὐτοῦ. Πρὸς ἀποκατάστασιν ἠλεκτρικῆς ἐπαφῆς ἡ σιδηρᾶ αἰχμὴ (α) (σχ. 7) τοῦ βαριδίου ἐβυθίζετο εἰς λεκάνην ὕδραργύρου (λ). Διὰ τόν, κατὰ τὸ δυνατόν, περιορισμόν τῶν δονήσεων τοῦ σύρματος κατὰ τὴν περιστροφὴν, διήρχετο τοῦτο διὰ τῆς βάσεως τοῦ θαλάμου μέσῳ ὀπῆς διαμέτρου 0,5 mm.

Τὸ κεντρικὸν μέρος τοῦ σύρματος προσεβάλλετο ὑπὸ δέσμης ἀκτίνων *Röntgen* εἰσερχομένης διὰ καταλλήλου συστήματος σχισμῶν (σωλὴν σσ', σχ. 7). Διὰ τὴν ρύθμισιν τῆς διευθύνσεως τῆς δέσμης παρηκολοθεῖτο τὸ ἴχνος τῆς ἐπὶ φθορίζοντος διαφράγματος τοποθετουμένου εἰς τὴν ἔξοδόν της, μέσῳ ὀπῆς (ο) ἐκ διαμέτρου ἀντιθέτου πρὸς τὸν σωλήνα σσ'. Ἡ σκεδαζομένη ἐπὶ τοῦ σύρματος ἀκτινοβολία προσέπιπτε ἐπὶ δύο φωτογραφικῶν ταινιῶν τοπο-

Κατὰ μῆκος τοῦ ἄξονος τούτου ἐποπθετεῖτο τὸ σύρμα ἐκ λευκοχρύσου. Τὸ σύρμα τοῦτο, ὡς ἀνεφέρθη ἤδη, ἀπετέλει τὸ ἐν τῶν ὕλικῶν τοῦ βαθμολογηθέντος θερμοστοιχείου. Ἦδη εἶχεν ἀποκοπῆ τὸ ἄχρηστον πλέον σύρμα ἐκ Constantan ὥστε ἐπὶ τοῦ λευκοχρύσου ν' ἀπομένῃ μόνον ἡ μικρὰ σφαῖρα ἐξ ἀργύρου. Ἐπειδὴ ὁμως ἀπρητεῖτο τὸ μὲν περιστροφῆ* τοῦ σύρματος περὶ τὸν ἄξονά του, τὸ δὲ θέρμανσις τοῦ σύρματος διὰ τῆς διόδου ἠλεκτρικοῦ ρεύματος, ἡ στήριξις αὐτοῦ ἐγένετο κατὰ τὸν ἀκόλουθον τρόπον :

Κατὰ τὸ ἀνώτατον ἄκρον προσεδέθη τὸ σύρμα εἰς τὸ κάτω ἄκρον ὁμοαξονικῆς ράβδου P δυναμένης νὰ περιστρέφεται εὐχερῶς ἐντὸς ἀκλονήτου σωλήνος στηριζομένου εἰς τὴν ὀροφὴν τοῦ θαλάμου. Κατὰ τὸ ἄνω ἄκρον τῆς ράβδου ἐστερεοῦτο τροχαλία ξυλίνη, ἡ ὁποία διὰ καταλλήλου συνδέσεως πρὸς ἠλεκτρικὸν κινητήρα μετέδιδε τὴν περιστροφὴν. Ἡ διάταξις τοῦ σύρματος

* Ἡ περιστροφὴ τοῦ σύρματος ἐκρίθη ἀπαραίτητος, καθ' ὅσον τοῦτο θερμομάνθην μέχρι 700°C εἶχεν ὑποστῆ ἀνακρυστάλλωσιν καὶ αἱ γραμμαὶ Debye-Scherrer ἐπὶ τῆς φωτογραφικῆς ταινίας ἐνεφανίζοντο κοκκώδεις.

θετημένων ἐπὶ τῆς παραπλεύρου ἐπιφανείας τοῦ θαλάμου. Διὰ τὴν διέλευσιν τῶν σκεδαζομένων ἀκτίνων ἀπεκόπη σημαντικὸν τμήμα τῆς παραπλεύρου ἐπιφανείας του. Αἱ δύο φωτογραφικαὶ ταινίαι, μία ἀνὰ ἐκάστην πλευράν, ἐστερεοῦντο πιεζόμεναι ἐπὶ τῆς ἐξωτερικῆς ἐπιφανείας τοῦ θαλάμου διὰ λωρίδος ἀπὸ λεπτὸν φύλλον ὀρειχάλκου, φέροντος ἐπένδυσιν ἀπὸ μέλαν βελούδινον ὕφασμα διὰ τὴν καλὴν φωτοστέγειαν. Ἡ λωρίς ἔφερε ὀπὴν δι' ἧς διήρχετο ὁ σωλὴν σσ' τῶν σχισμῶν, ὡς καὶ ἑτέρας δύο μικρὰς τοιαύτας δι' ὧν διήρχοντο τὰ στηρίγματα τῆς ββ' προσηρμοσμένα ἐπὶ τοῦ κυλίνδρου κατὰ μίαν γενέτειραν αὐτοῦ, ἡ δὲ τελεία ἐπάφῃ αὐτῆς πρὸς τὴν φωτογραφικὴν ταινίαν ἐπραγματοποιεῖτο μὲ δύο μικρὰς λωρίδας ἐλαστικοῦ φερούσας κατὰ τὰ ἄκρα των ὅπας διὰ τὴν στήριξιν των εἰς τὰ ββ'.

Ἡ καθ' ὕψος ρύθμισις τοῦ θαλάμου ἐπραγματοποιεῖτο διὰ τριῶν κοχλιῶν, τοποθετημένων παρὰ τὴν βάσιν.

γ) *Δήψις ἀκτινογραφημάτων.* Ἡ λυχνία ἐλειτούργει μὲ ἀνοδικὴν τάσιν ἐναλλασσομένην (τάσιν καθόδου—γῆς) 40 kV καὶ ἔντασιν ἀνοδικοῦ ρεύματος 5 mA. Ἀρχικῶς ἐλήφθη δοκιμαστικὴ ἔκθεσις πρὸς ἀναγνώρισιν τῶν γραμμῶν Pt τῶν παραγομένων ἀπὸ τὰς ἀκτινοβολίας K_{α} καὶ K_{β} τοῦ Fe.

Ἡ ἀναγνώρισις ἐγένετο δι' ἐφαρμογῆς τῆς ἐξίσωσως :

$$\eta\mu^2 \frac{\theta}{2} = \frac{\lambda^2}{4d^2}$$

προκυπτούσης ἀπὸ τὴν ἐξίσωσιν τοῦ Bragg $2d\eta\mu \frac{\theta}{2} = \lambda$ ἂν ἀντικαταστήσωμεν τὴν ἀπόστασιν τῶν δικτυωτῶν ἐπιπέδων d διὰ τῆς σχέσεως $d = a / \sqrt{2h^2}$ ἔνθα a σταθερὰ πλέγματος. Ἡ τελευταία αὕτη ἰσχύει διὰ τὸ κυβικὸν σύστημα εἰς τὸ ὁποῖον κρυσταλλοῦται ὁ ὑπὸ ἐξέταξιν λευκόχρυσος.

Ὁ κατάλληλος χρόνος τῆς ἐκθέσεως προέκυψεν ἐκ φωτομετρήσεων δοκιμαστικῶν φωτογραφικῶν ταινιῶν ληφθεισῶν εἰς χρόνους διαδοχικῶς 0,5—1—1,5—2 ὥρων. Ἡ ἐκ τῶν δοκιμαστικῶν φωτομετρήσεων προκύψασα καμπύλη ἀμαυρώσεως ἔδωκε ὡς καταλληλότερον χρόνον τὴν 1 ὥραν. Ἐν συνεχείᾳ τῆς προκαταρκτικῆς αὐτῆς ἐργασίας ἐλήφθησαν ἐκθέσεις ἀνὰ 50°C ἀπὸ θερμοκρασίας ἐργαστηρίου μέχρι θερμοκρασίας 600°C. Δι' ἐκάστην θερμοκρασίαν ἐγένοντο 4 ἐκθέσεις ὁπότε αἱ πρὸς ἐπεξεργασίαν φωτογραφικαὶ ταινίαι ἀνῆρχοντο εἰς 16, δεδομένου, ὅτι πρὸ ἐκάστης ἐκθέσεως, ἐτοποθετοῦντο ἐπὶ τῆς περιφερείας τοῦ θαλάμου δύο φωτογραφικαὶ ταινίαι, ἡ μία ἐπὶ τῆς ἄλλης.

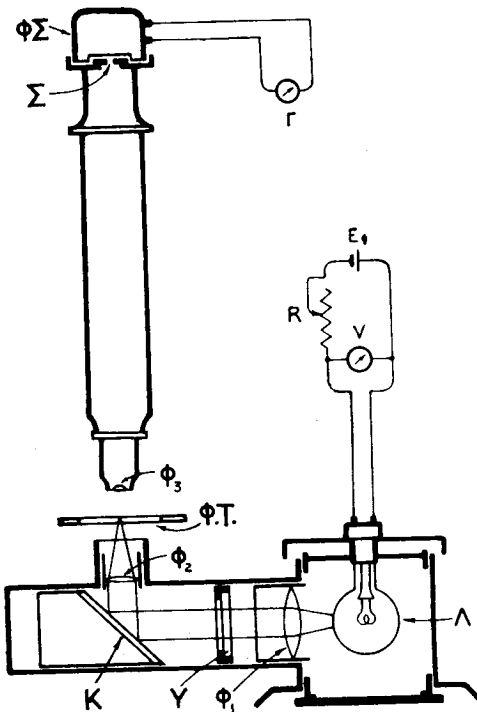


Σχ. 9. Ἀκτινογράφημα Debye-Scherrer.

§ 15.— *Μικροφωτομέτρησις φωτογραφικῶν ταινιῶν.* Ἡ καταμέτρησις τῆς ἰσχύος τῆς σκεδαζομένης καθ' ὄρισμένης διευθύνσεως ἀκτινοβο-

λίας εύρεθη ἐκ τῆς ἀμυρώσεως τῶν γραμμῶν *Debye-Scherrer* τῶν φωτογραφικῶν ταινιῶν. Ὁ βαθμὸς ἀμυρώσεως κατεμετρήθη ἀντικειμενικῶς διὰ φωτομετρικῆς διατάξεως προσηρμοσμένης ἐφ' ἑνὸς παραβολέως τύπου *R. Fuess*. Αὕτη ἀποτελεῖται κατ' ἀρχὴν ἀπὸ λαμπτήρα καὶ σύστημα φακῶν καὶ κατόπτρων, διὰ τῶν ὁποίων ἐφωτίζεται μικρὰ περιοχὴ τοῦ φιλμ πολὺ ἐντατικῶς. Ἡ περιοχὴ αὕτη ἀπεικονίζεται κατόπιν ἐπὶ σχισμῶν τοποθετημένων πρὸ ἑνὸς φωτοστοιχείου. Ὁ λαμπτήρ Λ (12V, 30W) τροφοδοτεῖται μέσῳ ρυθμιστικῆς ἀντιστάσεως R δι' ἐπαρκῶς σταθερᾶς τάσεως λαμβανομένης ἀπὸ συσσωρευτὴν μεγάλης χωρητικότητος. Διὰ καταλλήλου φακοῦ Φ_1 δλισθαίνοντος συγκεντροῦται ἡ δέσμη ἐπὶ τοῦ κατόπτρου K (τιθεμένου ὑπὸ γωνίαν 45°). Ἡ ἀνακλωμένη δέσμη φωτίζει τῆ βοηθεῖα τοῦ φακοῦ Φ_2 τὴν φωτογραφικὴν ταινίαν ($\Phi.T.$), τὸ εἶδωλον τῆς ὁποίας σχηματίζει ὁ φακὸς Φ_3 εἰς τὴν σχισμὴν Σ ὑπεράνω τῆς ὁποίας εὐρίσκεται φωτοστοιχεῖον ($\Phi\Sigma$) σεληνίου τύπου *Weston* συνδεδεμένον μὲ κατοπτρικὸν γαλβανόμετρον εὐαισθησίας $1,7 \cdot 10^{-8}$ A/ὑπόδ.

Ὁ φακὸς Φ_3 καὶ ἡ σχισμὴ μετὰ τοῦ φωτοστοιχείου εὐρίσκονται εἰς τὰ



Σχ. 10. Διάταξις μικροφωτομετρήσεως.

φωτεινῆς δέσμης οἰονδήποτε μέρος τῆς φωτογραφικῆς ταινίας. Πρὸς ἀπο-

κατ' ὕψος καὶ στερεωμένον ἀκλονήτως μετὰ τοῦ ὑπολοίπου συστήματος φωτισμοῦ. Τὸ ὅλον σύστημα δύναται νὰ μετακινήται, τὴ βοηθεῖα ἀτέρμονος κοχλίου κατὰ διεύθυνσιν κάθετον πρὸς τὸν ὀπτικὸν ἄξονα τῶν φακῶν Φ_2 καὶ Φ_3 , οὕτως ὥστε ἡ φωτεινὴ δέσμη νὰ διατρέχη ἐγκαρσίως ἐκάστην γραμμὴν τῆς ἀκλονήτου φωτογραφικῆς ταινίας. Ὁ κοχλίας μὲ βῆμα 1mm καταλήγει εἰς τύμπανον φέρον ὑποδιαίρέσεις εἰς 1/100mm. Ἡ φωτογραφικὴ ταινία τίθεται ἐπὶ τραπέζης δυναμένης νὰ μετακινήθῃ κατὰ διεύθυνσιν κάθετον πρὸς ἐκείνην, κατ' ἣν μετακινεῖται τὸ ὅλον σύστημα. Οὕτω διὰ συνδυασμοῦ τῶν δύο μετακινήσεων ἐπετυγχάνεται ν' ἀχθῇ εἰς τὴν πορείαν τῆς

φυγήν καταστροφῆς τῆς φωτογραφικῆς ταινίας λόγω θερμάνσεως, παρεντίθεται ἡθμὸς ἐξ εἰδικῆς ὑάλου (Y) πάχους 6mm κατάλληλος διὰ τὴν ἀπορρόφησην τῶν θερμαντικῶν ἀκτίνων. Δεδομένου ὅτι ἡ μεγέθυνσις τοῦ φακοῦ Φ_3 εἶναι ἴση πρὸς 11 καὶ τὸ πλάτος τῆς σχισμῆς Σ 1,1mm ἢ ἐκ' αὐτῆς ἀπεικονιζομένη περιοχὴ τῆς φωτογραφικῆς ταινίας εἶναι 1/10mm. Ἐπειδὴ δὲ τὸ πλάτος ἐκάστης γραμμῆς *Debye-Scherrer* εἶναι περίπου 0,5-0,6mm δύναται νὰ ληφθοῦν ἐπ' αὐτῆς 5-6 μετρήσεις δι' ἐγκαρσίας μικρομετρικῆς μετακινήσεως τῆς φωτεινῆς δέσμης κατὰ 0,1mm.

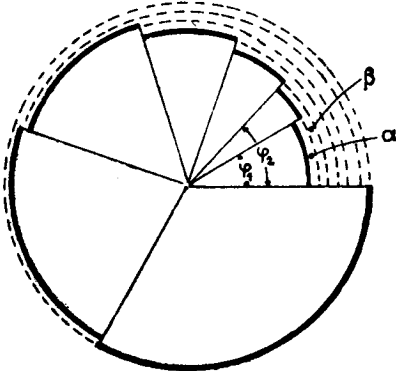
Ἐκ τῶν γραμμῶν *Debye-Scherrer*, αἱ ὁποῖαι ἀνεγνωρίσθησαν ἐπὶ τῶν φωτογραφικῶν ταινιῶν, ἐκρίθησαν κατάλληλοι πρὸς φωτομέτρησιν αἱ προκύπτουσαι ἐξ «ἀνακλάσεως» ἀφ' ἑνὸς μὲν τῆς ἀκτινοβολίας K_α τοῦ Fe ἐπὶ τῶν δικτυωτῶν ἐπιπέδων (111), (200), (220), (311), ἀφ' ἑτέρου δὲ τῆς ἀκτινοβολίας K_β ἐπὶ τῆς ἔδρας (331) (σχ. 9). Ὡς καταλληλοτέρα τιμὴ τάσεως λειτουργίας τοῦ λαμπτήρος τῆς συσκευῆς φωτομετρήσεως ἐκρίθη ἡ τῶν 13V μὲν διὰ τὴν μέτρησιν ἀμαυρώσεως τῶν γραμμῶν *Debye-Scherrer* καὶ τοῦ συνεχοῦς ὑποστρώματος καὶ ἡ τιμὴ τῶν 10V διὰ τὴν μέτρησιν τοῦ πέπλου, ἦτοι τοῦ τμήματος τῆς φωτογραφικῆς ταινίας τοῦ μὴ προσβληθέντος ὑπὸ τῆς ἀκτινοβολίας· διότι διὰ μὲν τὴν πρώτην μέτρησιν εἰς χαμηλοτέρας τάσεις, αἱ ἐνδείξεις τοῦ μικροαμπερομέτρου ἦσαν πολὺ μικραὶ καὶ ὄχι τόσον ἀκριβεῖς, ὥς ἀνευρισκόμεναι εἰς τὸ καμπύλον τμήμα τῆς καμπύλης ἀμαυρώσεως (πρὸβλ. κατωτέρω), διὰ δὲ τὴν δευτέραν μέτρησιν εἰς τιμὴν τάσεως μεγαλύτεραν ὁ δείκτης ἐξήρχετο τοῦ ἄκρου τῆς κλίμακος. Ἐκ τῶν τεσσάρων ταινιῶν ἐκάστης ἐκθέσεως ἐφωτομετρήθησαν μόνον αἱ ἐξωτερικαὶ φωτογραφικαὶ ταινίαι, ὥς ἀσθενέστερον ἀμαυρωθεῖσαι, καθ' ὅσον αἱ ἐνδείξεις τοῦ μικροαμπερομέτρου διὰ τὰς ἐσωτερικὰς ἦσαν πολὺ μικραὶ καὶ κατ' ἀκολουθίαν βεβαρυνόμεναι διὰ μεγάλου σφάλματος.

Χάραξις καμπύλης κλιμακωτῆς ἀμαυρώσεως. Ἐπειδὴ ἦτο ἀπαράιτητος ἡ εὐρεσις τῆς σχέσεως μεταξὺ ἐντάσεως τῆς ἀκτινοβολίας καὶ τῆς ἐνδείξεως τοῦ μικροφωτομέτρου, ἡμαυρώθησαν εἰδικαὶ φωτογραφικαὶ ταινίαι, αἱ ὁποῖαι κατόπιν ἐχρησιμοποιήθησαν ἵνα βαθμολογηθῇ τὸ μικροφωτόμετρον. Ἐκάστη τοιαύτη ταινία ἡμαυρώθη κατὰ πεδία ἐκτεθέντα μὲ διαφόρους ποσότητας ἀκτινοβολίας κλιμακωτῶς αὐξανόμενας.

Ἡ κλιμακωτὴ ἀμαύρωσις ἐπὶ φωτογραφικῆς ταινίας ἐπιτυγχάνεται τῇ βοηθειᾷ καταλλήλου δίσκου ἐξ ὀρειχάλκου εἰκονιζομένου εἰς τὸ σχῆμα 11.

Ἀπὸ τὸν ἀρχικὸν πλήρη δίσκον ἀφηρέθησαν τμήματα δακτυλίων (α, β, γ, δ . . .) τοιαῦτα ὅστε αἱ ἐπίκεντροι γωνίαι ($\varphi_1, \varphi_2, \varphi_3 . . .$) εἰς τὰς ὁποίας ἀντιστοιχοῦν, νὰ ἔχουν σχέσιν μεταξύ των ὡς $\varphi_2=1,5\varphi_1, \varphi_3=1,5\varphi_2$ κ.ο.κ. Ἐὰν ὀπισθεν τοιοῦτου δίσκου «φωτιζομένου» δι' ἀκτίνων *Röntgen* καὶ περιστρεφομένου ταχέως, περὶ τὸ κέντρον του, τοποθετηθῇ φωτογραφικὴ ταινία, θὰ ληφθοῦν ἐπ' αὐτῆς πεδία (7 τὸν ἀριθμὸν) διαφόρου ἀμαυρώσεως (κλιμακωτὴ ἀμαύρωσις) διότι ἕκαστον τούτων (ἐκ τῶν ἔσω πρὸς τὰ ἔξω)

«εφωτίσθη» ἐπὶ χρονικὸν διάστημα 1,5 φορές μικρότερον τοῦ ἀμέσως προηγούμενου. Ἄν ὡς μέτρον τῆς ἀμαυρώσεως ληφθῆ ἡ ποσότης ἀκτινοβολίας ($J_x \cdot t$) καθοριζομένη ὡς γινόμενον τῆς ἐντάσεως ἀκτινοβολίας $R\ddot{o}ntgen J_x$ ἐπὶ τὸν χρόνον ἐκθέσεως t δύναται νὰ χαραχθῆ ἡ καμπύλη $S=f(J_x \cdot t)$ ἔνθα S αἱ ἐνδείξεις τῶν φωτομετρήσεων διὰ τὰς ἀντιστοιχοῦς ταινίας ἀμαυρώσεως.



Σχ. 11. Περιστεροφόμενος τομεὺς διὰ τὴν κλιμακωτὴν ἀμαύρωσιν.

Ἡ καμπύλη αὕτη θὰ διέρχεται δι' 8 σημείων, ἐξ ὧν τὸ ἐν θ' ἀντιστοιχῆ εἰς $(J_x \cdot t) = 0$ (ἐνδείξεις πέπλου, ἤτοι μὴ προσβληθέντος τμήματος φωτογραφικῆς ταινίας ὑπὸ ἀκτίνων $R\ddot{o}ntgen$) καὶ τὰ ὑπόλοιπα εἰς τιμὰς τοῦ $(J_x \cdot t)$ κατὰ σειρὰν $a, 1,5a, 1,5^2a \dots$ ἔνθα a ποσότης ἀκτινοβολίας προκαλέσασα τὴν ἀσθενεστέρην ἀμαύρωσιν.

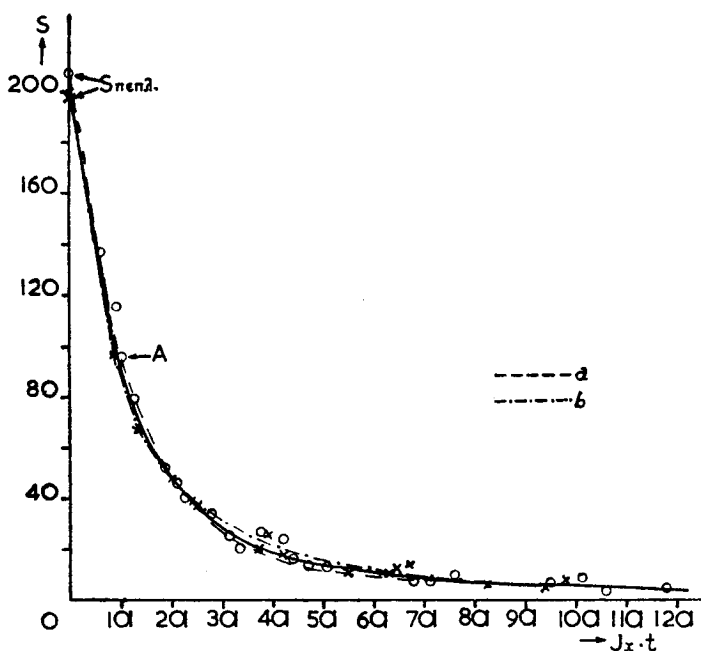
Ἡ ἐξεύρεσις τῶν σημείων αὐτῶν, ἀπήτησε τὴν πραγματοποίησιν 4 ἐκθέσεων, ἐξ ὧν αἱ 2 ἦσαν διαρκείας 2 min καὶ αἱ ἕτεραι 4min. Εἰς ἐκάστην

τῶν ἐκθέσεων ἐλήφθησαν δύο φωτογραφικαὶ ταινίαι τοποθετηθεῖσαι ἢ μία ὀπισθεν τῆς ἄλλης. Ἡ καταμέτρησις τῆς ἀμαυρώσεως ἐγένετο διὰ φωτομετρήσεως ἀφ' ἑνὸς μὲν τῶν ταινιῶν κλιμακωτῆς ἀμαυρώσεως, ἀφ' ἑτέρου δὲ τοῦ πέπλου ἐκατέρωθεν αὐτῶν. Ἡ φωτομέτρησις ἐγένετο μὲ τιμὴν τάσεως λαμπτήρος τῆς συσκευῆς φωτομετρήσεως, ἴσην πρὸς 13V διότι, διὰ μικροτέραν τιμὴν, αἱ ἀποκλίσεις τοῦ γαλβανομέτρου διὰ τὰ ἰσχυρῶς ἀμαυρωθέντα τμήματα ἦσαν πολὺ μικραῖ. Δεδομένου ὅμως, ὅτι πολλάκις δι' ἀσθενῶς ἀμαυρωθέντα τμήματα (καὶ δὴ εἰς τὴν μέτρησιν τοῦ πέπλου) ὁ δείκτης τοῦ ὄργανου ἐξήρχετο τοῦ μεγίστου ὄριου τῆς κλίμακος, ἐκρίθη ἀναγκαῖον, ὅπως εὔρεθῆ ἡ σχέση μεταξὺ τῶν φωτομετρικῶν ἐνδείξεων ληφθειῶν μὲ τιμὰς τάσεως 10V καὶ 13V. Ἐγένετο, διὰ τοῦτο, φωτομετρήσεις τῶν ταινιῶν κλιμακωτῆς ἀμαυρώσεως μὲ τὰς ὡς ἄνω τιμὰς τάσεως καὶ ὑπελογίσθησαν οἱ λόγοι s_{13}/s_{10} ἔνθα s_{13} ἡ ἐνδείξις τοῦ ὄργανου διὰ τιμὴν τάσεως 13V καὶ s_{10} ἡ ἐνδείξις διὰ τὴν αὐτὴν περιοχὴν κλιμακωτῆς ἀμαυρώσεως μὲ τιμὴν τάσεως 10V. Οἱ λόγοι οὗτοι εὔρεθθησαν τῆς αὐτῆς περιπτου τιμῆς ἴσης πρὸς 2,8 δι' ὅλας τὰς ἀμαυρωθείσας θέσεις. Ἡ μεγαλυτέρα διαφορὰ παρατηρήθη εἰς τὸ ἐντονότερον ἀμαυρωθὲν πεδίον καὶ δὲν ὑπερβαίνει τὸ 10%. Βάσει τῆς τιμῆς 2,8 ἦτο δυνατὴ ἡ ἀναγωγὴ τῶν ληφθειῶν μετρήσεων μὲ τιμὴν τάσεως 10V εἰς αὐτὰς μὲ τιμὴν τάσεως 13V.

Ἄνὰ 4 ἐκ τῶν 8 φωτογραφικῶν ταινιῶν κλιμακωτῆς ἀμαυρώσεως εἶχον ληφθῆ ὑπὸ τὰς αὐτὰς συνθήκας (ἐμφανίσεως, θέσεως ὡς πρὸς τὴν δέσμη ἀκτίνων $R\ddot{o}ntgen$ κλπ.). Ἐκ τῶν φωτομετρικῶν δεδομένων τῆς μιᾶς τῶν 4 ἐχαράχθη μία καμπύλη κλιμακωτῆς ἀμαυρώσεως καὶ ἀνηγέ-

χθησαν δι' αὐτῆς τὰ δεδομένα τῶν ὑπολειπομένων τριῶν εἰς ἐκεῖνα τῆς πρώτης, βάσει τῶν «σημείων ἀναγωγῆς» αὐτῶν. Εὐρέθη οὕτω, ὅτι ὅλα τὰ σημεία ἔκειντο ἐπὶ τῆς αὐτῆς καμπύλης (a) (σχ. 12). Τὰ αὐτὰ ἐγένοντο καὶ διὰ τὰς ἑτέρας τέσσαρας φωτογραφικὰς ταινίας, αἵτινες ἔδωσαν τὴν καμπύλην (b) (σχ. 12).

Ὡς καταλληλότερον «σημεῖον ἀναγωγῆς» Α κρίνεται ἐπὶ τῆς καμπύλης κλιμακωτῆς ἀμαυρώσεως, τὸ κείμενον εἰς τὴν κατωτέραν περιοχὴν τοῦ εὐθυγράμμου τμήματος τῆς καμπύλης, διότι, διὰ μὲν τὰ σημεία, τὰ κείμενα ἐπὶ τοῦ καμπύλου τμήματος, δὲν ὑφίσταται ἀναλογία μεταξὺ ἰσχύος ἀκτινοβολίας *Röntgen* καὶ ρεύματος φωτοστοιχείου, λόγῳ τοῦ μεγάλου βαθμοῦ ἀμαυρώσεως, διὰ δὲ τὰ κείμενα ὑψηλότερον ἐπὶ τοῦ εὐθυγράμμου τμήματος, λόγῳ



Σχ. 12. Καμπύλη σχέσεως ἀποκλίσεως γαλβανομέτρου S καὶ ποσότητος ἀκτινοβολίας $J_x \cdot t$.

τοῦ μικροῦ βαθμοῦ ἀμαυρώσεως αὐτῶν, τὰ σφάλματα ἐκ τῆς μετρήσεως τοῦ πέπλου διαγράφονται ἐντονώτερον εἰς τὰς τιμὰς των. Ἐμπειρικῶς ἔχει εὐρεθῆ, ὅτι τὸ καταλληλότερον «σημεῖον ἀναγωγῆς» δίδεται παρὰ τῆς σχέσεως :

$$a = \log \frac{S_0}{S} \approx 0,5$$

(ἐνθα S_0 = ἔνδειξις πέπλου καὶ S = ἔνδειξις πεδίου κλιμακωτῆς ἀμαυρώσεως, ἀντιστοιχοῦσα εἰς τὸ σημεῖον ἀναγωγῆς), ἥτις μετασχηματίζεται εἰς $a = \frac{S_0}{S} \approx 3,16$.

Ἐπιστοποιήθη ἐπίσης, ὅτι αἱ ἐνδείξεις τοῦ φωτομέτρου διὰ τὰς γραμμὰς *Debye-Scherrer* τῶν ἐξωτερικῶν φωτογραφικῶν ταινιῶν καὶ διὰ τιμὴν τάσεως λαμπτήρος 13V περιλαμβάνοντο ἐπὶ τοῦ εὐθυγράμμου τμήματος τῆς καμπύλης κλιμακωτῆς ἀμαυρώσεως.

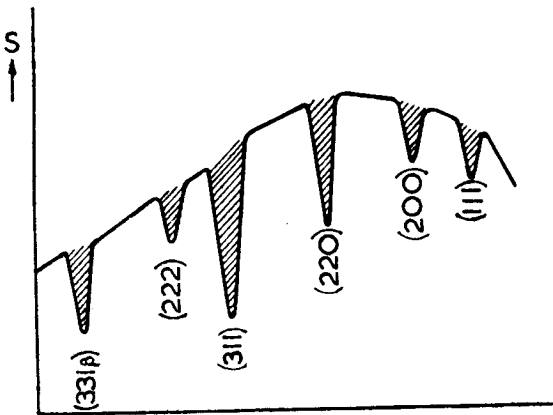
Ἐκ τῶν καμπυλῶν (a), (b), αἷτινες διέφερον μόνον εἰς τὸ καμπῦλον τμήμα αὐτῶν καὶ οὐδέποτε πλέον τοῦ 10%, ἐχαράχθη ἡ τελικὴ μέση καμπύλη ἀμαυρώσεως, ἡ ὁποία καὶ ἀποδίδεται εἰς τὸ σχῆμα 12 διὰ πλήρους γραμμῆς.

ΚΕΦΑΛΑΙΟΝ Δ'

ΑΠΟΤΕΛΕΣΜΑΤΑ

§ 16.—Ἵπολογισμοὶ καὶ σφάλματα. Τὰ ἀποτελέσματα τῶν φωτομετρήσεων τῶν ἐκθέσεων *Debye-Scherrer* ἀπεδόθησαν εἰς καμπύλας, μία τῶν ὁποίων εἰκονίζεται εἰς τὸ σχῆμα 13.

Αὗται ἐμφανίζουν αἰχμὰς ἀμαυρώσεως κάτωθεν τοῦ συνεχοῦς ὑποστρώματος (γραμμοσκιασμένα μέρη) εἰς τὰς θέσεις ἀκριβῶς τῶν γραμμῶν *Debye-Scherrer*. Τὸ ἐμβαδὸν ἐκάστης αἰχμῆς διηρέθη εἰς πλείονα τοῦ ἐνὸς τμήματα, ἐκάστου τῶν ὁποίων, ἡ τιμὴ ἐπολλαπλασιάσθη ἐπὶ τὴν τιμὴν ($J_x \cdot t$), τὴν ἀντιστοιχοῦσαν (ἐπὶ τῆς καμπύλης κλιμακωτῆς ἀμαυρώσεως) εἰς τὴν φωτομετρικὴν ἔνδειξιν S τοῦ κέντρου βάρους αὐτοῦ. Τὸ ἄθροισμα τῶν γινομένων δι' ὅλα τὰ τμήματα μιᾶς αἰχμῆς παρείχε εἰς σχετικὰς μονάδας τὴν ἰσχὺν J τῆς σκεδαζομένης ἀκτινοβολίας, ἣτις προεκάλει τὴν ἀντίστοι-



Σχ. 13. Ἵπόδειγμα φωτομετρικῆς καμπύλης.

χον ἀμαύρωσιν. Ἐξ αὐτῶν ὑπελογίσθη δι' ἐκάστην φωτογραφικὴν ταινίαν τὸ πηλίκον τῆς ἐντάσεως ἐκάστης γραμμῆς, ὡς πρὸς τὴν ἐντασιν τῆς γραμμῆς με δεύκτας (311) π.χ. διὰ τὴν γραμμὴν (111), τὸ πηλίκον J_{111}/J_{311} . Ἡ τελευταία ἐξελέγη ὡς γραμμὴ ἀναγωγῆς, διότι ἡ παραβολὴ τῶν ἀποτελεσμάτων τῶν φωτομετρήσεων τῶν ὀκτῶ φωτο-

γραφικῶν ταινιῶν ἐδείκνυε, ὅτι δι' αὐτὴν ἢ διακύμανσις ἦτο μικροτέρα ἢ διὰ τὰς ἄλλας γραμμὰς καὶ τοῦτο δι' οἰανδήποτε ὀκτάδα ταινιῶν ἀνεξαρκῆτως τῆς

θερμοκρασίας. Τ' αποτελέσματα τῶν ὑπολογισμῶν ἀναγράφονται εἰς τὸν κατωτέρω πίνακα I.

Π Ι Ν Α Κ Ε Ι

Θερμοκρασία T °K	$\frac{J_{111}}{J_{311}}$	$\delta \frac{J_{111}}{J_{311}}$ ±	$\frac{J_{200}}{J_{311}}$	$\delta \frac{J_{200}}{J_{311}}$ ±	$\frac{J_{220}}{J_{331}}$	$\delta \frac{J_{220}}{J_{311}}$ ±	$\frac{J_{331\beta}}{J_{311}}$	$\delta \frac{J_{331\beta}}{J_{311}}$ ±
298	0,264	0,027	0,240	0,033	0,660	0,025	0,646	0,050
323	0,231	0,015	0,156	0,028	0,625	0,050	0,798	0,046
373	0,205	0,024	0,171	0,045	0,524	0,046	0,825	0,010
423	0,249	0,025	0,222	0,010	0,449	0,034	0,646	0,038
473	0,253	0,009	0,248	0,022	0,470	0,021	0,565	0,021
523	0,299	0,016	0,248	0,040	0,524	0,024	0,500	0,030
573	0,352	0,023	0,284	0,040	0,556	0,036	0,444	0,049
623	0,342	0,019	0,247	0,021	0,530	0,016	0,470	0,031
673	0,410	0,039	0,339	0,056	0,634	0,029	0,418	0,032
723	0,356	0,026	0,272	0,021	0,678	0,078	0,456	0,037
773	0,376	0,024	0,336	0,039	0,693	0,077	0,480	0,029
823	0,445	0,022	0,360	0,020	0,810	0,030	0,423	0,032
873	0,430	0,037	0,351	0,032	0,930	0,032	0,474	0,036

Παραπλεύρως ἐκάστης τιμῆς δίδεται τὸ ἐκ τῆς διακυμάνσεως τῶν ὀκτὼ ἐκάστοτε τιμῶν ἔναντι τοῦ μέσου ὄρου προκύπτων μέσον σφάλμα.

Εἰς τὸ σχῆμα 14 ἀπεδόθησαν διὰ σημείων αἱ αὐταί τιμαὶ εἰς ἡμιλογαριθμικὴν κλίμακα, συναρτήσῃ τῆς θερμοκρασίας T διὰ τὰς γραμμὰς (111) καὶ (311). Ἡ διὰ τῶν σημείων αὐτῶν διερχομένη εὐθεῖα ἀποδίδει τὴν συνάρτησιν

$\ln \frac{J_{T, \vartheta_1, K\beta}}{J_{T, \vartheta_2, K\alpha}} = f(T)$. Ἡ πιθανωτέρα τιμὴ τῆς κλίσεως αὐτῆς τῆς εὐθείας εὐρίσκεται διὰ τῆς μεθόδου τῶν ἐλαχίστων τετραγώνων^{25, 26}.

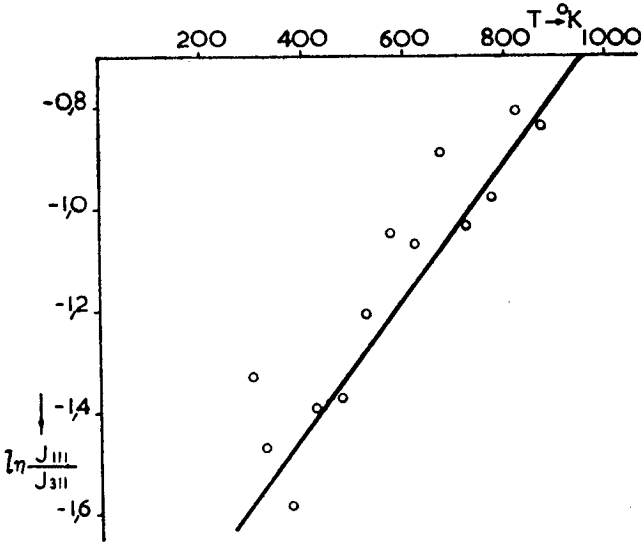
Ἐὰν παραστήσωμεν διὰ W καὶ U ἀντιστοίχως τὰ T καὶ $\ln \frac{J_{T, \vartheta_1, K\beta}}{J_{T, \vartheta_2, K\alpha}}$ διὰ X τὴν κλίσιν τῆς ἀνωτέρω εὐθείας καὶ διὰ Y τὴν τεταγμένην ἐπὶ τὴν ἀρχὴν αὐτῆς, ἡ ἀνωτέρω ἐξίσωσις γράφεται :

$$U = XW + Y$$

Δεδομένου ὅμως, ὅτι τὰ ληφθέντα σημεία δὲν κείνται ἐπακριβῶς ἐπὶ μιᾶς εὐθείας καθορίζομεν διὰ τῆς μεθόδου τῶν ἐλαχίστων τετραγώνων τὴν εὐθεῖαν, διὰ τὴν ὁποῖαν τὸ ἄθροισμα τῶν τετραγώνων τῶν σφαλμάτων καθίσταται ἐλάχιστον. Ἐὰν καλέσωμεν δὲ τὸ σφάλμα τοῦ n παρατηρηθέντος σημείου διὰ V_n ἔχομεν :

$$XW_n + Y - U_n = V_n$$

Ο αριθμός τῶν τοιούτων ἐξισώσεων, καλουμένων ἐξισώσεων σφάλματος εἶναι ἴσος πρὸς τὸν ἀριθμὸν τῶν ζευγῶν τιμῶν $\ln \frac{J_{T, \theta_i, K\beta}}{J_{T, \theta_i, K\alpha}}$ καὶ T . Εἰς τὴν ἐξίσωσιν σφάλματος προσδιοριστέα μεγέθη εἶναι τὰ X καὶ Y . Ὄθεν, ἀναζη-



Σχ. 14. Πειραματικά ἀποτελέσματα ἀπὸ τὴν σύγκρισιν τῶν γραμμῶν (111) καὶ (311).

τοῦμεν τὰς τιμὰς τῶν X καὶ Y διὰ τὰς ὁποίας ἡ παράστασις $[VV]^*$ ἀντιστοίχως καθίσταται ἐλαχίστη.

Ἴνα συμβαίῃ τοῦτο πρέπει :

$$\frac{d[V^2]}{dX} = 2[WW]X + 2[W]Y - 2[WU] = 0$$

$$\text{καὶ} \quad \frac{d[V^2]}{dY} = 2[Y] + 2[W]X - 2[U] = 0$$

Δι' ἐπιλύσεως τοῦ συστήματος τῶν ἀνωτέρω δύο ἐξισώσεων προσδιορίζομεν τοὺς ἀγνώστους X καὶ Y .

$$X = \frac{[W][-U] + [WU]n}{n[WW] - [W][W]}$$

$$Y = \frac{[WW][-U] - [W][-WU]}{n[WW] - [W][W]}$$

Ἐὰν ὅμως ληφθῇ ὑπ' ὄψιν, ὅτι πολλάκις αἱ συνθῆκαι, ὑπὸ τὰς ὁποίας ἐκτελοῦνται αἱ μετρήσεις εἶναι διάφοροι ἐκάστοτε, ὠρισμένοι ἐξ αὐτῶν προ-

* Αἱ ἀγκύλαι δηλοῦσιν ἀθροίσματα.

κύπτουν περισσότερον ἢ ὀλιγώτερον ἀκριβεῖς τῶν ἄλλων. Τοῦτο καθίσταται ἔμφανές ἐκ τῶν ποικιλλουσῶν τιμῶν τῶν σφαλμάτων σ . Εἰς τὴν περίπτωσιν ταύτην ὑποχρεούμεθα νὰ δώσωμεν μεγαλυτέραν σημασίαν (βάρος p) εἰς ἐκείνας τῶν τιμῶν, αἵτινες ἔχουν μικρότερον σφᾶλμα. Πρὸς τοῦτο ἐκλέγομεν βάρος :

$$p = \frac{1}{\sigma^2} \text{ ἔνθα } \sigma = d \ln \frac{J_{T, \vartheta_1, K\alpha}}{J_{T, \vartheta_2, K\beta}} = \frac{1}{J_{T, \vartheta_1, K\beta}} \cdot \delta \frac{J_{T, \vartheta_1, K\beta}}{J_{T, \vartheta_1, K\alpha}}$$

Αἱ τιμαὶ τῶν X καὶ Y παρέχονται τότε ἀπὸ τὰς ἑξισώσεις :

$$X = \frac{[pW][-pU] + [pWU][p]}{[p][pWW] - [pW][pW]}$$

$$Y = \frac{[pW][-pUW] - [pWW][-pU]}{[p][pWW] - [pW][pW]}$$

Τὸ μέσον σφᾶλμα ἐκάστου παρατηρηθέντος σημείου εὐρίσκεται ἐκ τῆς σχέσεως $\sigma = \pm \sqrt{\frac{[pVV]}{n-u}}$, ἔνθα n ὁ ἀριθμὸς μετρήσεων καὶ $u = 2$ ὁ ἀριθμὸς ἀγνώστων, καὶ τὸ μέσον σφᾶλμα τῆς κλίσεως X :

$$\sigma_x = \pm \sigma \sqrt{\frac{[p]}{[pWW] - [pW]^2}}$$

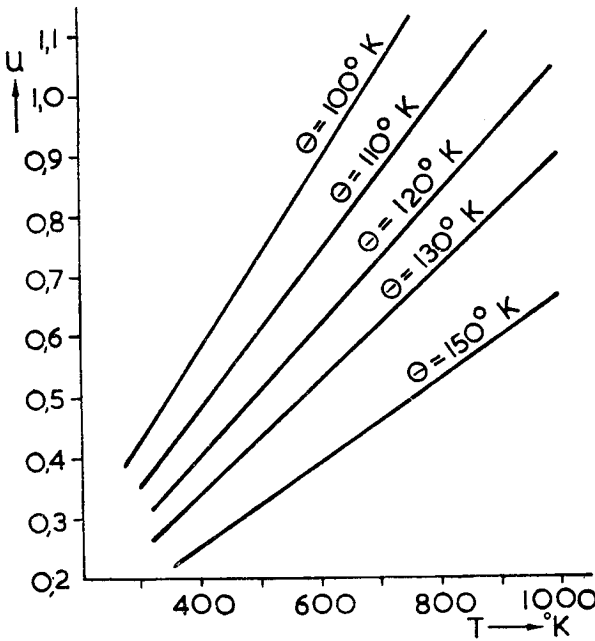
Διὰ τῆς μεθόδου ταύτης ὑπελογίσθησαν αἱ τιμαὶ τῶν X , ἦτοι τῶν κλίσεων τῶν εὐθειῶν τοῦ σχήματος 14 καὶ ἀναγράφονται εἰς τὸν πίνακα II.

Π Ι Ν Α Κ Σ Ι Ι

Γραμμαὶ	Κλίσις T^{-1}	Σφᾶλμα Κλίσεως \pm	Θ_D °K	σ_{Θ_D} °K \pm
111—311	$1,390 \cdot 10^{-3}$	$0,139 \cdot 10^{-3}$	105	6
200—311	$1,032 \cdot 10^{-3}$	$0,162 \cdot 10^{-3}$	114,5	10
220—311	$1,335 \cdot 10^{-3}$	$0,320 \cdot 10^{-3}$	65,8	7,6
331—311	$-0,940 \cdot 10^{-3}$	$0,199 \cdot 10^{-3}$	129	19,7

Ἦδη πρέπει ἐκ τῶν κλίσεων νὰ προσδιορισθοῦν αἱ εἰς αὐτὰς ἀντιστοιχοῦσαι τιμαὶ τῆς Θ . Ἐπειδὴ ὁμως τοῦτο δὲν εἶναι δυνατόν λόγῳ τῆς πολυπλό-

κου μορφής της εξίσωσης (41) καταφεύγουμε εις γραφικήν μέθοδον. Πρὸς τοῦτο ὑπελογίσθησαν δι' ἑκάστην τῶν γραμμῶν αἱ συναρτήσεις $U = f(T)$ (ἔξ. 42) διὰ διαφόρους τιμὰς τῆς χαρακτηριστικῆς θερμοκρασίας Θ καὶ ἀπεδόθησαν γραφικῶς. Ἐκ τῆς γραφικῆς αὐτῆς παραστάσεως διαπιστοῦται ὅτι διὰ τὴν περιοχὴν θερμοκρασιῶν τοῦ πειράματος ἡ ἐξίσωσις 42 ἀποδίδεται δι' εὐθείας. Παράδειγμα μιᾶς τοιαύτης σειρᾶς εὐθειῶν, συγκεκριμμένως διὰ τὰς γραμμὰς (111), (311) ἀποδίδεται εἰς τὸ σχῆμα 15. Δι' ἑκάστην ἐκλεγομένην τιμὴν τῆς χαρακτηριστικῆς θερμοκρασίας Θ προκύπτει εὐθεῖα μετὰ διάφορον κλίσιν. Αἱ γραφικῶς εὐρισκόμεναι τιμαὶ τῶν κλίσεων ἀποδίδονται εἰς καμπύλην συναρτήσεως τῶν ἐκλεγείσων τιμῶν τῆς χαρακτηριστικῆς θερμοκρασίας Θ (σχ. 16).



Σχ. 15. Θεωρητικαὶ καμπύλαι διὰ τὴν σύγκρισιν τῶν γραμμῶν (111) καὶ (311).

κλίσεως X τοῦ πίνακος II καὶ ἀναγράφεται εἰς τὴν 4ην στήλην αὐτοῦ. Διὰ τῆς ἰδίας μεθόδου εὐρίσκεται καὶ τὸ σφάλμα σ_{Θ_D} ἐκ τῆς τιμῆς τοῦ σφάλματος σ_x τῆς κλίσεως.

Εἰδικῶς διὰ τὰς γραμμὰς (331), (311) τὸ σφάλμα σ_x λαμβάνεται μεγαλύτερον τοῦ ἔξ ὑπολογισμοῦ εὐρισκομένου, διὰ λόγους οἵτινες καθίστανται προφανεῖς περαιτέρω.

Ἐκ τῶν τεσσάρων τιμῶν τῆς Θ_D καὶ ὑπὸ τὴν προϋπόθεσιν, ὅτι ἡ χαρακτηριστικὴ θερμοκρασία τοῦ λευκοχρῦσου εἶναι ἡ αὐτὴ δι' ὅλας τὰς γραμμὰς *Debye-Scherrer*—ὅπερ πιθανώτατα ἰσχύει διότι ὁ λευκοχρυσὸς κρυσταλλοῦται εἰς τὸ κυβικὸν σύστημα—ὑπολογίζομεν τὴν μέσην τιμὴν τῆς Θ_D ὡς καὶ τὸ μέσον σφάλμα αὐτῆς βάσει τῶν σχέσεων $\bar{\Theta} = \frac{[p\Theta]}{[p]}$ καὶ $\Delta\Theta = \sqrt{\frac{[p\Delta\Theta^2]}{[p][n-1]}}$

Διὰ τῆς μεθόδου ταύτης προέκυψεν ὡς τελικὸν ἀποτέλεσμα :

Τῇ βοήθειᾳ τοιούτων καμπυλῶν προσδιορίζεται ἡ τιμὴ τῆς χαρακτηριστικῆς θερμοκρασίας δι' ἑκάστην τιμὴν τῆς

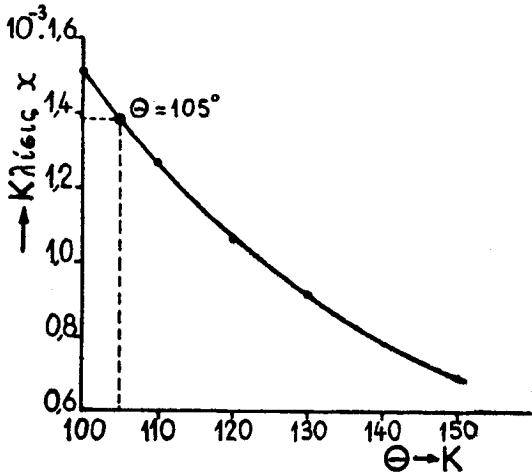
Τῇ βοήθειᾳ τοιούτων καμπυλῶν προσδιορίζεται ἡ τιμὴ τῆς χαρακτηριστικῆς θερμοκρασίας δι' ἑκάστην τιμὴν τῆς

$$\bar{\Theta}_D = 96^\circ \pm 12^\circ \text{K}$$

Τὸ ἀνωτέρω ὑπολογισθέν σφάλμα $\Delta\Theta_D$ δὲν ὀφείλεται ἀποκλειστικῶς καὶ μόνον εἰς τυχαῖα σφάλματα μετρήσεως ἀλλὰ καὶ εἰς δύο ἄλλας αἰτίαις.

1) Εἰς τὴν παρουσιαζομένην διαφορὰν κατὰ τὸ καμπύλον τμήμα μετὰ τῆς καμπύλης βαθμολογίας τῶν φωτογραφικῶν ταινιῶν κλιμακωτῆς ἀμαυρώσεως καὶ τῆς καμπύλης τῆς ἰσχυοῦσης διὰ τὰς ἐκάστοτε χρησιμοποιηθείσας εἰς τὰς ἐκθέσεις φωτογραφικῆς ταινίας.

2) Εἰς τὴν μεταβολὴν τῆς τιμῆς πέπλου διὰ τὰς διαφόρους φωτογραφικῆς ταινίας.



Ἡ πρώτη αἰτία εὐρέθη ὅτι ἐπηρεάζει τὴν ἰσχύον μόνον τῆς γραμμῆς (331) (ὡς ἀμαυρωτέρας), τὴν ὁποῖαν δυνατὸν νὰ μεταβάλῃ τὸ μέγιστον κατὰ 6%. Ἡ μεταβολὴ αὕτη δύναται νὰ προκαλέσῃ σφάλμα εἰς τὴν τιμὴν τῆς χαρακτηριστικῆς θερμοκρασίας, τὴν προκύπτουσαν ἐκ τῆς συγκρίσεως τῶν εὐθειῶν τῶν χαρασομένων διὰ τὰς γραμμὰς (331) καὶ (311), $\sigma_{\Theta_D} = \pm 10^\circ \text{K}$.

Τὰ σφάλματα, τὰ ὁποῖα ἠδύνατο νὰ προκαλέσῃ ἡ δευτέρα αἰτία εἰς τὴν ἰσχύον τῶν γραμμῶν, προήρχοντο ἐκ τοῦ ἀποτελέσματος, τὸ ὁποῖον θὰ ἐπέφερε μία ἐκ ταύτης προκαλουμένη παράλληλος μετατόπισις τῆς καμπύλης κλιμακωτῆς ἀμαυρώσεως. Οὕτω μεταβολὴ τῆς ἐνδείξεως τοῦ πέπλου κατὰ 36%, ἐπιφέρει μεταβολὴν μικροτέραν τῶν 8% εἰς τὸ πηλίκον τῶν ἐντάσεων. Τὸ μέγιστον τοῦτο σφάλμα τῶν 8% παρουσιάζετο μόνον εἰς τὴν γραμμὴν (331), ἥτις λόγῳ τῆς μεγάλης τῆς ἐντάσεως εὐρίσκετο ἐπὶ τοῦ καμπύλου τμήματος τῆς καμπύλης βαθμολογίας.

Ἐὰν ὑπολογισθῇ ἡ διαφορὰ αὕτη εἰς τὸν καθορισμὸν τῆς χαρακτηριστικῆς θερμοκρασίας Θ διὰ τὰς γραμμὰς (331), (311) προκύπτει σφάλμα $\sigma_{\Theta_D} = \pm 12^\circ \text{K}$.

Τὸ ὅλικόν σφάλμα, ἐπομένως, τὸ σημειούμενον διὰ σ_{Θ_D} διὰ τὰς ἐν λόγω γραμμὰς εὐρίσκεται διὰ τῆς μεθόδου τοῦ *Gauss* :

$$\sigma_{\Theta_D} = \sqrt{11,8^2 + 12^2 + 10^2} = \pm 19,7^\circ \text{K}$$

ἔνθα $\sigma_{\Theta_D} = \pm 11,8^\circ \text{K}$ εἶναι τὸ σφάλμα τὸ ὀφειλόμενον εἰς τυχαῖα σφάλματα.

§ 17. Συμπεράσματα επί τῶν ἀποτελεσμάτων. α) Τιμαὶ τῆς Θ_D εὐρεθεῖσαι δι' ἄλλων μεθόδων. Εἶναι ἐνδιαφέρουσα ἡ σύγκρισις τῆς τιμῆς τῆς Θ_D , τῆς ἐκ τῶν ἀκτινογραφημάτων *Debye-Scherrer* εὐρισκομένης, μὲ τιμὰς τῆς Θ_D εὐρισκομένας δι' ἄλλων πειραματικῶν μεθόδων. Κατωτέρω δίδομεν ἐν συντομίᾳ τὰς διὰ τῶν μεθόδων αὐτῶν εὐρισκομένας τιμὰς Θ_D . Ἡ χαρακτηριστικὴ θερμοκρασία *Debye* Θ_D δύναται νὰ προσδιορισθῇ:

1) Ἀπὸ τὴν *σχέσιν Debye* ἰσχύουσαν διὰ χαμηλὰς θερμοκρασίας (ἔξ. 18):

$$C_v = \frac{12}{15} \pi^4 R \left(\frac{T}{\Theta_D} \right)^3 + 0,001607T$$

ἔνθα ὁ δεύτερος προσθετός ἀναφέρεται εἰς τὴν ἠλεκτρονικὴν θερμότητα.

Δι' ἐξισώσεως τῆς παρατηρηθείσης ἀτομικῆς θερμότητος πρὸς τὴν ἀνωτέρω σχέσιν, προσδιορίζεται ἡ τιμὴ τῆς Θ_D .

Εὐρέθη ²⁷ οὕτω διὰ τὸν λευκόχρυσον:

$$\Theta_D = 233^\circ \text{K}$$

2) Εἰς τὴν *περιοχὴν* $T \ll \Theta_D$ ὁ προσδιορισμὸς τῆς Θ_D εἶναι κατὰ τι δυσχερέστερος, καθ' ὅσον ἡ ἄμεσος μέτρησις παρέχει ἀντὶ τῆς C_v τὴν C_p . Ἐξ αὐτῆς βεβαίως θὰ ἦτο δυνατὴ ἡ εὐρέσις τῆς C_v βάσει τῆς θερμοδυναμικῆς σχέσεως:

$$C_p - C_v = \frac{(\beta a)^2 V}{\kappa} \cdot T$$

ἔνθα a = γραμμικὸς συντελεστὴς διαστολῆς V = ἀτομικὸς ὄγκος, κ = συντελεστὴς συμπίεστότητος καὶ T = ἀπόλυτος θερμοκρασία.

Δυστυχῶς αἱ τιμαὶ τῶν μεγεθῶν a καὶ κ δὲν εἶναι γνωσταὶ εἰς διαφόρους θερμοκρασίας καὶ συνεπῶς καταφεύγομεν εἰς τὴν πειραματικῶς εὐρεθεῖσαν σχέσιν *Grüneisen* καθ' ἣν τὸ μονώνυμον $(\beta a)^2 V / \kappa C_p^2$ εἶναι ἀνεξάρτητον τῆς θερμοκρασίας. Καλοῦντες τὴν τιμὴν τοῦ μονωνύμου τούτου A λαμβάνομεν $C_p - C_v = AC_p^2 \cdot T$.

Τὴν τιμὴν τοῦ A , ἥτις, ὡς ἐλέχθη, εἶναι ἀνεξάρτητος τῆς θερμοκρασίας, εὐρίσκομεν ἐκ τῶν τιμῶν τοῦ κ καὶ a εἰς συνήθεις θερμοκρασίας. Οἱ *Simon* καὶ *Zeidler*¹⁶ ἐχάραξαν τὴν καμπύλην $C_p = f(T)$ χρησιμοποιοῦντες ἰδίας μετρήσεις εἰς τὴν περιοχὴν $16^\circ - 208^\circ \text{K}$ ὡς καὶ μετρήσεις ἄλλων μέχρι 1300°K .

Βάσει τῆς σχέσεως $C_p - C_v = AC_p^2 T$ μετατρέπουν τὴν καμπύλην εἰς $C_v = f(T)$. Ἡ καμπύλη αὕτη δίδει μὲ ἀρκετὴν ἀκρίβειαν:

$$\Theta_D = 225^\circ \text{K}$$

3) Ἀπὸ τὰς *ελαστικὰς σταθερὰς* τοῦ κρυστάλλου, συμφώνως πρὸς τὴν

$$\text{σχέσιν } \Theta_D = \frac{3,6 \cdot 10^{-3}}{A^{1/3} \cdot \rho^{1/6} \cdot x^{1/2} [f(\sigma)]^{1/3}}$$

$$\text{ἔνθα} \quad f(\sigma) = 2 \left\{ \frac{2(1+\sigma)^{3/2}}{3(1-2\sigma)} \right\}^{3/2} + \left\{ \frac{1+\sigma}{3(1-\sigma)} \right\}^{3/2}$$

όπου $A =$ άτομικόν βάρος μετάλλου, $\rho =$ πυκνότης, $x =$ συμπίεστότης και $\sigma =$ λόγος *Poisson*.

Εἶναι ἐπόμενον ὁμως νά μὴ ὑπάρχη συμφωνία μεταξύ τῶν τιμῶν τῆς Θ_D ληφθεισῶν εἰς διαφορετικὰς περιοχὰς θερμοκρασίας καὶ συνεπῶς δὲν κρίνομεν τὴν μέθοδον ταύτην ὡς ὑποσχομένην νά δώσῃ ἀκριβὲς ἀποτελέσμα.

4) Κατὰ *Lindemann*⁸ ὑπάρχει σχέσις μεταξύ τῆς θερμοκρασίας τῆς ξέως T_r (εἰς ἀπολύτους βαθμοὺς) καὶ τῆς χαρακτηριστικῆς θερμοκρασίας :

$$\Theta_D = C \sqrt{\frac{T_r}{AV^{2/3}}}$$

ἔνθα $V =$ ὁ ἀτομικὸς ὄγκος, $A =$ ἀτομικόν βάρος καὶ $C =$ σταθερὰ κατὰ προσέγγισιν ἢ αὐτὴ δι' ὅλα τὰ μέταλλα. Ἡ σχέσις *Lindemann* δὲν ἔχει μέχρι τοῦδε θεωρητικὴν ἐρμηνείαν.

Ἴνα ἐφαρμόσωμεν τὴν σχέσιν ταύτην διὰ τὸν προσδιορισμὸν τῆς Θ_D ἑνὸς μετάλλου, θὰ προσδιορίσωμεν τὴν C ἀπὸ στοιχεῖον τοῦ περιοδικοῦ συστήματος χημικῶς συγγενὲς πρὸς τὸ πρῶτον καὶ τοῦ ὁποίου ἢ Θ_D εἶναι γνωστὴ ἀπὸ θερμοκὰ δεδομένα.

Οὕτω διὰ τὸν προσδιορισμὸν τῆς Θ_D τοῦ λευκόχρυσου, ὑπολογίζομεν τὴν τιμὴν τῆς $C = 137$ ἐκ τῶν δεδομένων τοῦ συγγενοῦς πρὸς αὐτὸ στοιχείου Pd (ἢ τιμὴ τῆς Θ_D τοῦ Pd λαμβάνεται ἐκ τῶν καμπυλῶν εἰδικῆς θερμότητος) καὶ ἀντικαθιστῶντες ταύτην εἰς τὴν σχέσιν *Lindemann* εὐρίσκομεν διὰ τὸν λευκόχρυσον :

$$\Theta_D = 212^\circ \text{K}$$

5) Ἀπὸ *μετρήσεις*¹⁷ τῆς ἠλεκτρικῆς ἀντιστάσεως r . Κατὰ *Grüneisen* ὑπάρχει ἀναλογία μεταξύ τοῦ λόγου τῆς ἠλεκτρικῆς ἀντιστάσεως αὐτοῦ r πρὸς τὴν θερμοκρασίαν T καὶ τῆς εἰδικῆς θερμότητος C_v ἐκφραζομένης ὑπὸ τῆς σχέσεως :

$$\frac{r}{T} \propto 9R \left(\frac{T}{\Theta_D} \right)^3 \int_0^{\frac{\Theta_D}{T}} \frac{e^x x^4 dx}{(e^x - 1)^2}$$

Ἡ ἀναλογία αὕτη δὲν ὑφίσταται εἰς πολὺ χαμηλὰς θερμοκρασίας.

Διὰ μετρήσεως συνεπῶς τῆς ἀντιστάσεως r ἑνὸς μετάλλου εἰς τὴν περιοχὴν θερμοκρασίας $T \propto \Theta_D$ δύναται νά ὑπολογισθῇ ἡ χαρακτηριστικὴ θερμοκρασία Θ_r αὐτοῦ. Οὕτω διὰ τὸν λευκόχρυσον εὐρέθη :

$$\Theta_r = 240^\circ \text{K}$$

6) Δι' *οπτικῆς μεθόδου* (*Madelung*, 1910). Αὕτη ἰσχύει δι' ἰοντικοὺς κρυστάλλους καὶ συνεπῶς δὲν εἶναι ἐφαρμόσιμος εἰς μέταλλον ὡς ὁ λευκόχρυσος.

B') *Διερεύνησις τῶν τιμῶν τῆς Θ_D .* Τ' ἀνωτέρω εὐρεθέντα ἀποτελέσματα συνοψίζομεν εἰς τὸν πίνακα III.

Π Ι Ν Α Ξ Ι Ι Ι

Ἀπὸ εἰδικὰς θερμοτήτας χαμηλῶν θερμοκρασιῶν	$\Theta_D = 233^\circ\text{K}$
» » » ὑψηλῶν »	$\Theta_D = 225^\circ$
» σχέσιν <i>Lindemann</i>	$\Theta_D = 212^\circ$
» ἀγωγιμότητα	$\Theta_r = 240^\circ$
» ἀνωτέρω μέτρησιν	$\Theta_D = 96^\circ$

Ἡ σύγκρισις τῶν ἀποτελεσμάτων τῆς παρούσης ἐργασίας $\Theta = 96^\circ\text{K}$ μεθ' ὄλων τῶν προηγουμένων τιμῶν $\Theta_D = 225^\circ \div 240^\circ\text{K}$ δεικνύει διαφορὰν μὴ ἀναμενομένην. Ἐνῶ ὁ χαρακτηρισμὸς τοῦ λευκοχρύσου, ὡς **μεταβατικὸς** στοιχείου καὶ συνεπῶς ἡ ὑπαρξίς μιᾶς σημαντικῆς ἠλεκτρονικῆς θερμοτήτος θὰ καθίστα πιθανὴν τὴν εὐρεσιν διὰ τῆς ἐν προκειμένῳ χρησιμοποιηθείσης μεθόδου μιᾶς χαρακτηριστικῆς θερμοκρασίας μεγαλύτερας τῶν τιμῶν $225^\circ \div 240^\circ\text{K}$, ἡ δι' ἀκτίνων *Röntgen* ἔρευνα παρέχει μίαν τιμὴν ἀσυγκρίτως μικροτέραν.

Ἡ διερεύνησις τῶν σφαλμάτων παρέχει διὰ τὸ μέσον σφάλμα $\Delta\Theta_D$ τῆς προσδιορισθείσης χαρακτηριστικῆς θερμοκρασίας τὴν τιμὴν $\pm 12^\circ\text{K}$, οὕτως ὥστε ἡ μεγάλη διαφορὰ πρὸς τὰ ἀποτελέσματα τῶν θερμοκῶν μεθόδων νὰ ἀποκλείεται νὰ δύναται ν' ἀποδοθῆ εἰς τυχαῖα ἢ καὶ συστηματικὰ σφάλματα μετρήσεως.

Ἡ διαφορὰ τῶν τιμῶν μας θὰ ἠδύνατο ν' ἀποδοθῆ πιθανὸν εἰς ἀνεπάρκειαν τοῦ τύπου *Debye-Waller*. Ὁ τύπος οὗτος ὑπελογίσθη δι' ἰσότροπα στερεὰ τοῦ κυβικοῦ συστήματος, ἔχει δὲ ἐπαληθευθῆ διὰ πλεῖστα ὄσα στοιχεῖα καὶ ἐνώσεις αὐτῶν. Πιθανὸν ὅμως εἰς τὴν εἰδικὴν περίπτωσιν τοῦ λευκοχρύσου διὰ τινα, ἄγνωστον μέχρι στιγμῆς λόγον, ὁ τύπος οὗτος νὰ μὴ ἰσχύη.

Παρατηρητέον, ὅτι, ἐὰν ἀντὶ τοῦ τύπου *Debye-Waller* $F_T = F_H \cdot e^{-M}$ χρησιμοποιηθῆ ὁ ἀρχικὸς ὑπὸ *Debye* προταθεὶς $F_T = F_H e^{-\frac{M}{2}}$, προκύπτει ἔτι μικροτέρα τιμὴ τῆς Θ_D .

Τὸ ἀπρόοπτον τοῦτο ἀποτέλεσμα, πιθανὸν νὰ θέτῃ ἐν ἀμφιβόλῳ, τὴν ὄλην εἰκόνα τοῦ φάσματος τῶν θερμοκῶν κυμάτων τῶν *Debye, Born, Karman, Brackman* κλπ., καθ' ὅσον, ἐὰν ἴσχυεν αὕτη, ἐνῶ ταυτοχρόνως ἡ χαρακτηριστικὴ θερμοκρασία εἶχε τὴν μικρὰν τιμὴν τῶν 96°K , θὰ ἔπρεπε αἱ εἰς μέσας καὶ χαμηλὰς θερμοκρασίας μετρούμεναι τιμαὶ τῆς ἀτομικῆς θερμοτήτος νὰ εἶναι πάντοτε μεγαλύτεραι τῶν πραγματικῶς εὐρισκομένων. Ἡ ἀσυμφωνία θὰ ἠδξάνετο ἔτι περισσότερον, ἐὰν εἰς τὰς μεγάλας ταύτας ὑπολογιζόμενας τιμὰς τῆς C_v προσετίθεντο καὶ ἄλλοι προσθετέοι, ὡς π.χ. ἡ ἠλεκτρονικὴ θερμοτήτης.

Δὲν εἴμεθα εἰς θέσιν νὰ κρίνωμεν, ἐὰν διὰ καταλλήλου ἐκλογῆς φάσματος συχνοτήτων θὰ ἦτο δυνατόν κατὰ τινα τρόπον νὰ ἐπέλθῃ συμβιβασμὸς μεταξὺ τῶν μικρῶν τιμῶν τῆς Θ ἐκ πειραμάτων σκεδάσεως ἀκτίνων *Röntgen* καὶ τῶν μεγάλων τιμῶν Θ ἐκ μετρήσεων εἰδικῆς θερμοτήτος καὶ ἀντιστάσεως.

ΠΕΡΙΛΗΨΙΣ

Ἡ χαρακτηριστικὴ θερμοκρασία τῶν στερεῶν, ἀποτελοῦσα μέτρον τοῦ πλάτους τῶν ταλαντώσεων τῶν ἀτόμων εἰς δεδομένην θερμοκρασίαν, προσδιορίζεται συνήθως ἐκ μετρήσεων τῆς εἰδικῆς θερμότητος.

Ἡ μέθοδος αὕτη εὐσταθεῖ, ἐφ' ὅσον ἡ εἰδικὴ θερμότης δὲν παρουσιάζεται ἠϋξημένη, ὡς ἐκ τῆς ὑπάρξεως καὶ ἄλλων βαθμῶν ἐλευθερίας. Ἡ περίπτωση αὕτη ἐμφανίζεται εἰς τὰ μέταλλα διὰ τὰ ὁποῖα, ὡς γνωστόν, παρουσιάζεται προσθετός τῆς εἰδικῆς θερμότητος ὀφειλόμενος εἰς τὴν θερμοκίνησιν τῶν ἐλευθέρων τῶν ἠλεκτρονίων. Ὁ προσθετός οὗτος ὑπολογισθεὶς θεωρητικῶς ἐπεβεβαιώθη καὶ πειραματικῶς ὅτι εἶναι ἀμελητέος διὰ τὰ περισσότερα μέταλλα. Συνέπεια τούτου εἶναι, ὅτι δὲν ἐπηρεάζεται ἡ ἀκρίβεια τοῦ προσδιορισμοῦ τῆς χαρακτηριστικῆς θερμοκρασίας ἐκ τῆς ὡς ἄνω ἀκολουθητέας μεθόδου μετρήσεως. Εἰδικῶς ὅμως διὰ τὴν κατηγορίαν τῶν μεταβατικῶν μετάλλων παρατηρήθησαν μεγάλαι σχετικῶς τιμαὶ τοῦ προαναφερθέντος προσθετέου.

Ἐπιβάλλεται ὅθεν ὁ προσδιορισμὸς τῆς χαρακτηριστικῆς θερμοκρασίας Θ δι' ἄλλης μεθόδου μὴ στηριζομένης ἐπὶ θερμοκινῶν μετρήσεων. Μία τοιαύτη μέθοδος εἶναι ἡ παρακολούθησις τῆς ἐξασθενήσεως τῶν γραμμῶν τῶν ἀκτινογραφημάτων *Debye-Scherrer* αὐξανομένης τῆς θερμοκρασίας.

Ἐν τῷ κεφαλαίῳ Α' ὑπολογίζεται ἡ σχέση μεταξύ τῆς ἐντάσεως μιᾶς γραμμῆς καὶ τῆς θερμοκρασίας, ὡς προκύπτει δὲ ἐκ τῶν ὑπολογισμῶν τούτων, ὑπάρχει δυνατότης νὰ προσδιορίσωμεν τὴν χαρακτηριστικὴν θερμοκρασίαν ἐκ τῆς συγκρίσεως τῶν ἐντάσεων δύο γραμμῶν. Εἰς τὴν ἀνὰ χεῖρας ἐργασίαν ἐφαρμόζεται ἡ μέθοδος αὕτη εἰς τὸν λευκόχρυσον.

Ἐν τῷ κεφαλαίῳ Β' περιγράφεται εἰδικῶς ὁ θάλαμος *Debye-Scherrer* δι' οὗ ἐπιτυγχάνεται ἡ λήψις ἀκτινογραφημάτων διὰ διαφόρους θερμοκρασίας τοῦ λευκοχρύσου μέχρι 600° C. Ἡ ἔντασις τῶν γραμμῶν *Debye-Scherrer* εὐρίσκειται ἐκ τῆς ἀμαυρώσεως φωτογραφικῶν ταινιῶν, προσδιοριζομένης ποσοτικῶς διὰ μικροφωτομέτρον.

Ὁ λευκόχρυσος, ὑπὸ μορφὴν σύρματος, ἐθερμαίνεται ἠλεκτρικῶς, ἡ δὲ θερμοκρασία του ἐμετρεῖτο ἐμμέσως ἐκ θερμοηλεκτρικῆς τάσεως καταλλήλως παραγομένης. Ἐκ τῶν καταλληλοτέρων γραμμῶν *Debye-Scherrer* ἀνὰ δύο λαμβανομένων εὐρέθησαν τέσσαρες διάφοροι τιμαὶ τῆς χαρακτηριστικῆς θερμοκρασίας Θ_D, ὁ μέσος ὄρος τῶν ὁποίων παρέχει τὸ ἀποτέλεσμα Θ_D = 96° K. Τὸ μέσον σφάλμα προσδιορίσθη στατιστικῶς εἰς ΔΘ_D = ± 12° K. Ἡ τιμὴ αὕτη διαφέρει σημαντικῶς τῆς τιμῆς Θ_D = 225° K ἣτις προκύπτει ἀπὸ θερμο-

κάς μετρήσεις. Ἡ διαφορὰ αὕτη δὲν εἶναι δυνατὸν νὰ ἐρμηνευθῆ βάσει οὐδεμιᾶς τῶν ἰσχυουσῶν θεωριῶν.

Ἄξιοσημείωτον εἶναι, ὅτι ἡ ὑπαρξίς σημαντικῆς εἰδικῆς θερμοτήτος ὀφειλομένης εἰς ἐλεύθερα ἠλεκτρόνια θὰ ἔδει νὰ παρουσιάζῃ τὴν δι' ἀκτίνων *Röntgen* εὐρισκομένην τιμὴν τῆς χαρακτηριστικῆς θερμοκρασίας Θ μεγαλύτεραν τῆς θερμοκῶς προσδιοριζομένης τιμῆς τῶν 225° K καὶ οὐχὶ μικρότεραν ὡς διὰ τῆς ἀκολουθητέας μεθόδου εὐρέθη.

*Ἡ ἀνωτέρω ἐργασία ἐγένετο ἐν τῷ Ἐργαστηρίῳ Φυσικῆς τοῦ Πανεπιστημίου Ἀθηνῶν. Πρὸς τὸν σεβαστὸν μου Καθηγητὴν καὶ Διευθυντὴν τοῦ Ἐργαστηρίου Φυσικῆς κ. **Καισ. Ἀλεξόπουλον** ἐκφράζω τὰς θερμοτάτας εὐχαριστίας μου διὰ τὴν ὑπόδειξιν τοῦ θέματος τῆς παρούσης ἐργασίας καὶ τὴν συνεχῆ βοήθειαν τὴν ὁποίαν μοῦ παρεῖχε κατὰ τὴν διεξαγωγὴν ταύτης.*

ΒΙΒΛΙΟΓΡΑΦΙΑ

1. **A. Einstein**, Ann. d. Physik 22/1907/180, 34/1911/170.
2. **Nernst-Lindemann**, Preuss. Akad. Wiss. Berlin, Sitz. Ber. 22/1911/494.
3. **P. Debye**, Ann. d. Physik, 39/1912/789.
4. **M. Born - Th. von Karmann**, Phys. Zeits. 13/1912/297, 14/1913/15, Zeits. f. Phys. 26/1924/250.
5. **M. Blackman**, Proc. Roy. Soc. A 148/1935/384, 159/1937/416, Proc. Cambridge Phil. Soc. 33/1937/94.
6. **A. P. Bhatia**, Pr. Phil. Soc. A 65/188/52.
7. **M. Born - E. Brody**, Zeits. f. Phys. 6/1921/132, Hand, d. Phys. 24,2/1933/676.
8. **N. F. Mott-H. Jones**, The theory of the properties of Metals and alloys, Oxford 1936.
9. **F. Seitz**, The modern theory of solids, London 1940.
10. **Edmond Brun**, Les chaleurs spécifiques, Paris 1949.
11. **W. Hume - Rothery**, Atomic theory, London 1947.
12. **N. F. Mott-H. Jones**, The theory of the properties of Metals and alloys, σ.193.
13. **K. Alexopoulos**, Bestimmung der Charakteristischen Temperatur des Lithiums, Juni 1932.
14. **E. A. Owen - R. N. Williams**, Proc. Roy. Soc. 188/1947/509.
15. **A. Compton - S. Allison**, —X—Reys in theory and experiment, London 1936.
16. **F. Simon - Zeidler**, Zeits. f. Phys. Chem. 123/1926/333.
17. **Meissner**, Handb. d. Exp. Physik 11,2/1935/50.
18. **E. P. Wolfahrt**, Proc. Roy, Soc. 195/1949/434.
19. **E. P. Wolfahrt**, Proc. Leeds Phil. Soc. 5/1949/89.
20. **P. Debye**, Ann. d. Phys. 43/1914/49.
21. **I. Waller**, Zeits. f. Phys. 17/1923/398.
22. **Landolt - Boernstein**. Tabellen.
23. **Rusterholtz**, Zeits. f. Phys. 63/1930/1.
24. **Σ. Περιστεράκη**, Διδακτορική Διατριβή, 1939.
25. **Ν. Πιερρακέα**, Μέθοδος Ἐλαχίστων Τετραγώνων.
26. **Ι. Ν. Ξανθάκη**, Μαθήματα Λογισμού πιθανοτήτων και Θεωρίας σφαλμάτων, Θεσσαλονίκη 1948.
27. **J. A. Kok - W. H. Keesom**, Physica 3/1936/1035.

ΠΕΡΙΕΧΟΜΕΝΑ

Σελ.
3

1. Είσαγωγή

ΘΕΩΡΗΤΙΚΟΝ ΜΕΡΟΣ

ΚΕΦΑΛΑΙΟΝ Α΄.—ΕΙΔΙΚΗ ΘΕΡΜΟΤΗΣ

2. Γενικά 6
3. Θεωρία Debye 8
4. Θεωρία Born - Karmann 11
5. Έργασια Blackman 12
6. Έπίδρασις τῆς ἀναρμονικότητος τῶν δονήσεων 14
7. Εἰδικὴ θερμότης τῶν ἐλευθέρων ἠλεκτρονίων 14
8. Ἡλεκτρονικὴ θερμότης μεταβατικῶν μετάλλων 18

ΚΕΦΑΛΑΙΟΝ Β΄.—ΥΠΟΛΟΓΙΣΜΟΣ ΤΗΣ ΧΑΡΑΚΤΗΡΙΣΤΙΚΗΣ ΘΕΡΜΟΚΡΑΣΙΑΣ ΚΡΥΣΤΑΛΛΟΥ ΕΚ ΤΩΝ ΑΚΤΙΝΟΓΡΑΦΗΜΑΤΩΝ DEBYE - SCHERRER.

9. Έντασις γραμμῶν εἰς ἀκτινογραφήματα 19
10. Έπίδρασις θερμικῆς κινήσεως ἐπὶ τῆς ἰσχύος τῆς σκεδαζομένης ἀκτινο-
βολίας 20
11. Έπίδρασις ἀπορροφήσεως 21
12. Καθορισμὸς τῆς χαρακτηριστικῆς θερμοκρασίας ἐκ τῆς ἐπιδράσεως τῆς
θερμικῆς κινήσεως ἐπὶ τῆς ἐντάσεως τῶν γραμμῶν Debye - Scherrer 21

ΠΕΙΡΑΜΑΤΙΚΟΝ ΜΕΡΟΣ

ΚΕΦΑΛΑΙΟΝ Γ΄.—ΠΕΙΡΑΜΑΤΙΚΗ ΔΙΑΤΑΞΙΣ

13. Διάταξις θερμάνσεως τοῦ λευκοχρόσου 23
α) Θέρμανσις σύρματος λευκοχρόσου.
β) Ἀρχικὴ μέθοδος μετρήσεως θερμοκρασίας σύρματος λευκοχρόσου.
γ) Τελικὴ μέθοδος μετρήσεως θερμοκρασίας σύρματος.
14. Διάταξις λήψεως ἀκτινογραφημάτων 27
α) Λυχνία ἀκτίνων Röntgen.
β) Θάλαμος λήψεως ἀκτινογραφημάτων.
γ) Δῆψις ἀκτινογραφημάτων.
15. Μικροφωτομέτρησις φωτογραφικῶν ταινιῶν 29
Χάραξις καμπύλης κλιμακωτῆς ἀμαυρώσεως

ΚΕΦΑΛΑΙΟΝ Δ΄.—ΑΠΟΤΕΛΕΣΜΑΤΑ

16. Ὑπολογισμὸς καὶ σφάλματα 34
17. Συμπεράσματα ἐπὶ τῶν ἀποτελεσμάτων 40
α) Τιμαὶ τῆς Θ εὐρεθεῖσαι δι' ἄλλων μεθόδων.
β) Διερεῦνησις τῶν τιμῶν τῆς Θ .

ΠΕΡΙΛΗΨΙΣ

ΒΙΒΛΙΟΓΡΑΦΙΑ

ΠΕΡΙΕΧΟΜΕΝΑ